

# LE DOPPLER VASCULAIRE

## Bases physiques

## Interprétation des spectres



Dr. Jérôme ROUMY  
GIM – CHU Bretonneau Tours



## Plan

- Rappel physiologique
- Hémodynamique
- Propriétés physiques des vaisseaux
- Ecoulements circulatoires
- Analyse spectrale
- L'effet Doppler
- Différents modes doppler
- Interprétation des signaux doppler
- Pièges et artéfacts en mode Doppler



# Plan

- Rappel physiologique
- Hémodynamique
- Propriétés physiques des vaisseaux
- Ecoulements circulatoires
- Analyse spectrale
- L'effet Doppler
- Différents modes doppler
- Interprétation des signaux doppler
- Pièges et artéfacts en mode Doppler



# Bases Physiques

## ■ Rappels physiologiques

- Besoin des différents organes divers et variable dans le temps
  - Distribution sanguine adaptée et ajustable
  - Niveau de pression élevé avec maintien de la pression tissulaire constante
- Appareil vasculaire : transformation de l'écoulement pulsé à HP généré par l'activité cardiaque en écoulement laminaire à basse pression dans le réseau capillaire



# Bases Physiques

- Rappels physiologiques
  - Ajustement des débits locaux aux besoins
    - En fonction des conditions hémodynamiques générales
    - Différents mécanismes :
      - Physiques
      - Métaboliques
      - Nerveux
      - hormonaux



# Bases Physiques

## ■ Rappels physiologiques

### ■ Contrôle hormonal

#### ■ Hémodynamique générale

#### ■ Régulations locales → vasomotricité

##### ■ Systèmes agonistes/antagonistes

- Général : SRAA, ADH, NAF

- Ajustement local : kinines, PG, EDRF, NO

#### ■ En f<sup>o</sup> des impératifs locaux → besoins

- Digestion, effort physique



# Bases Physiques

## ■ Rappels physiologiques

### ■ Différents types de circulation

- À haute résistance
- À basse résistance ++
- À résistance variable +++
  - système musculaire strié squelettique
  - Système artériel digestif



# Plan

- Rappel physiologique
- **Hémodynamique**
- Propriétés physiques des vaisseaux
- Ecoulements circulatoires
- Analyse spectrale
- L'effet Doppler
- Différents modes doppler
- Interprétation des signaux doppler
- Pièges et artéfacts en mode Doppler



# Bases Physiques

## ■ Rappels hémodynamiques

### ■ Pression

- $P = Q \times R$

### ■ Impédance

- Terme adapté pour un écoulement laminaire pulsé pour les gros vaisseaux

### ■ Résistance

- Répond à la loi de Bernoulli
- Proportionnelle à la viscosité
- Inversement proportionnelle à la puissance 4 du diamètre du vaisseau
- Effet de la vasomotricité

# Loi de Bernoulli-Théorème de Bernoulli

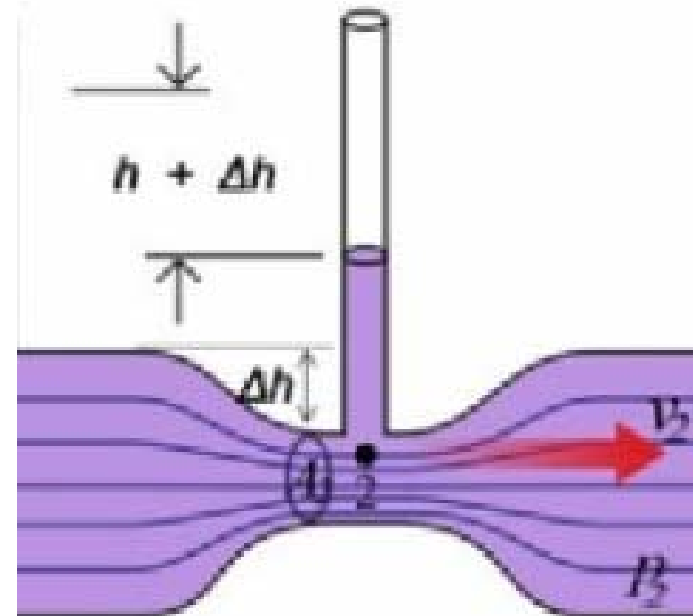
- Conservation de l'énergie

- $\rho g Z$  (énergie pot) +  $p$  (énergie de pression) +  $\frac{1}{2} \rho V^2$  (énergie cinétique) = **cste** Si le débit de fluide est constant et que le diamètre diminue, la vitesse augmente ie l'augmentation d'énergie cinétique se traduit par une diminution d'énergie élastique (dépression)

- $P_1 + \frac{1}{2} \rho V_1^2 = P_2 + \frac{1}{2} \rho V_2^2$

et si  $\rho V_1^2$  est petit, alors

$P_1 - P_2$  est proportionnel à  $V_2^2$





# Bases Physiques

## ■ Rappels hémodynamiques

- Modification vasomotrice locale → affecte le débit sanguin local → résistance locale
- Modification vasomotrice étendue → affecte RPT → modification contre-balancée
  - Ex : effort physique ou digestion
- $\uparrow$  RPT augmente la post-charge  $\rightarrow \downarrow$  DC  $\rightarrow \uparrow$  VTDVD pour maintenir DC
- Si VD brutale : maintient du DC par  $\uparrow$  FC



# Plan

- Rappel physiologique
- Hémodynamique
- Propriétés physiques des vaisseaux
- Ecoulements circulatoires
- Analyse spectrale
- L'effet Doppler
- Différents modes doppler
- Interprétation des signaux doppler
- Pièges et artéfacts en mode Doppler



# Bases Physiques

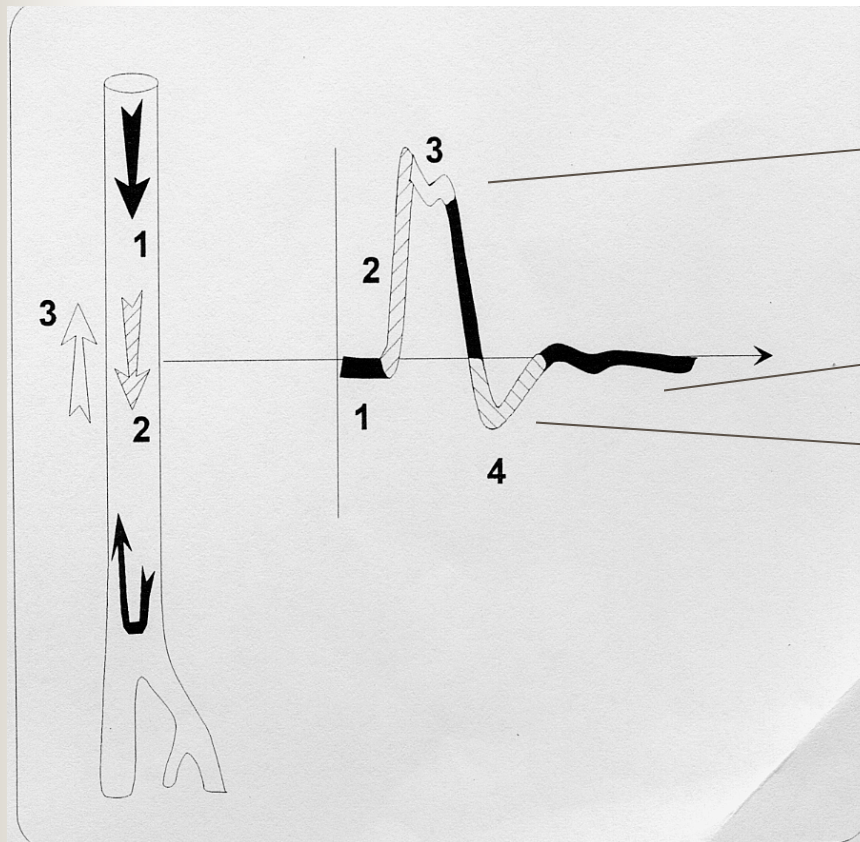
## ■ L'Onde artérielle

- Composante axiale (transmission du DC)
  - centrifuge
- Composante radiale (dilatation du vaisseau)
  - Stockage provisoire d'un volume et d'une énergie restituée en diastole → nouvelle composante axiale
- = onde de pouls transmise de proche en proche avec variation de vitesse sanguine détectée au Doppler
- Dépend des caractéristiques physiques des vaisseaux
  - Composante élastique
  - Tonus vasoconstricteur
  - Intégrité pariétale (intima+++)



# Bases Physiques

- Propagation de l'onde
  - Dépend des caractéristiques physiques du vaisseau (composante élastique)
    - Vitesse de propagation proportionnelle à l'épaisseur de la média
      - Physio :  $V_{max} MI > MS > Ao$
      - Patho :  $V_{max}$  augmente lorsque médiacalcosse
    - Création d'une onde réfléchie sur les embranchements à l'origine de « l'incisure dicrote » du pic systolique



Incisure dicrote

Reflet de l'élasticité

Reflux proto-diastolique

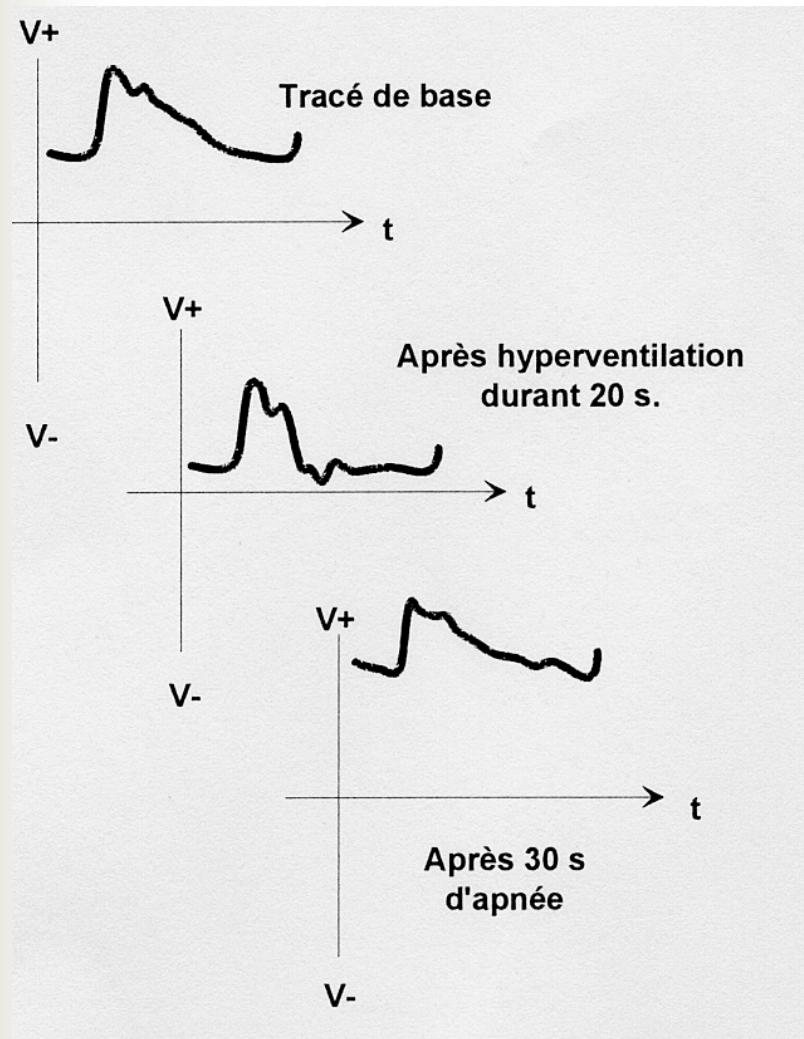
→ temps



## Bases Physiques

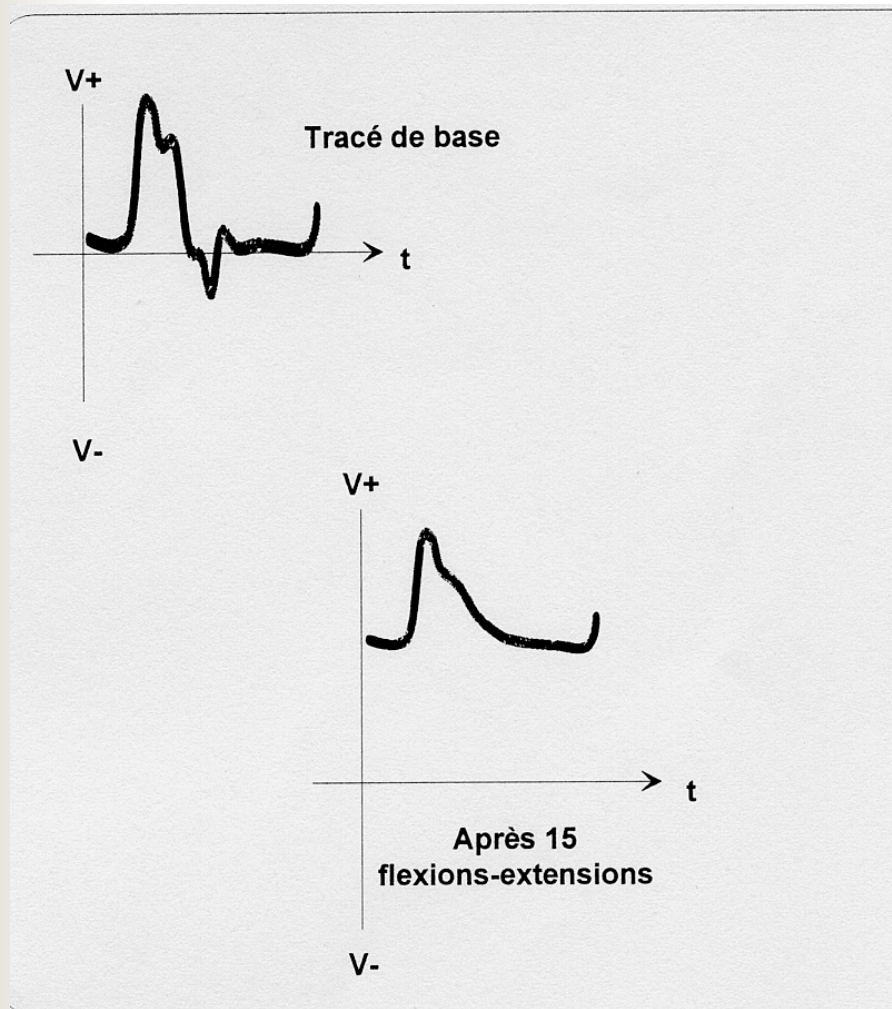
- Effets de la résistance circulatoire
  - Hyperventilation
    - Hypocapnie-alcalose- $V/C^\circ \rightarrow VS \searrow$  et  $VD \searrow \searrow$
  - Apnée
    - Hypercapnie-acidose- $V/D^\circ$
  - Hyperhémie post-ischémique
    - ↗ besoins  $O_2$ -métabolites locaux- $V/D^\circ$   
→ élargissement du pic systolique et abaissement des résistances

## ■ Effet de l'hyperventilation volontaire



Artère carotide interne  
Sujet sain

## ■ Effet de l'hyperémie post-ischémique



Effet de l'exercice musculaire  
Artère fémorale commune  
Sujet sain

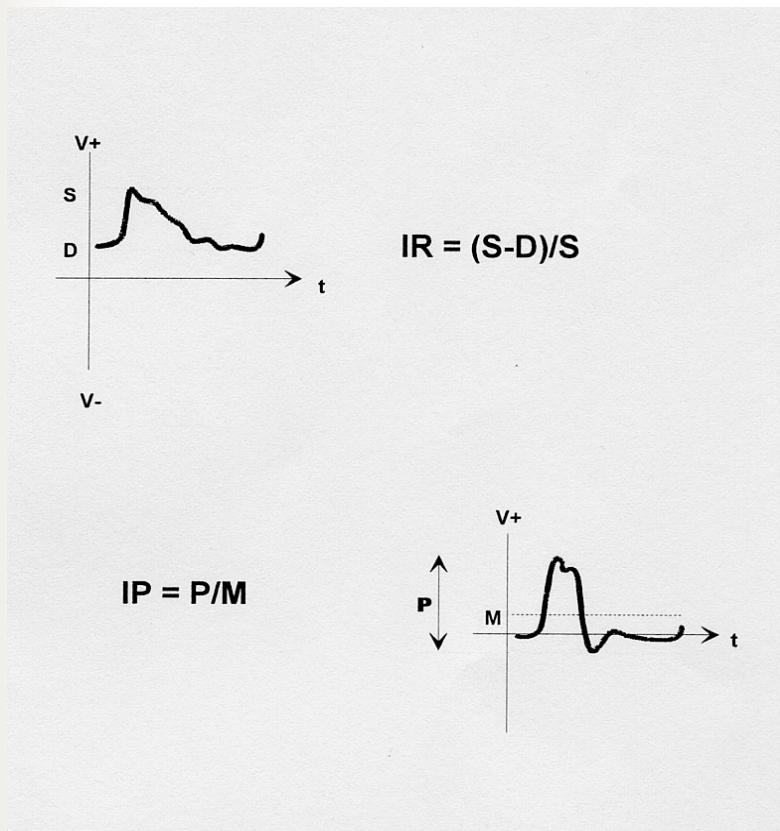


## Bases Physiques

- Évaluation des résistances circulatoires
  - $IR : (S-D)/S$
  - $IP : P/M$
- Modulation du tracé doppler
  - Partie ascendante du pic : accélération circulatoire
  - Partie descendante : décélération

# Bases physiques des tracés Dopplers

## ■ Evaluation des résistances circulatoires



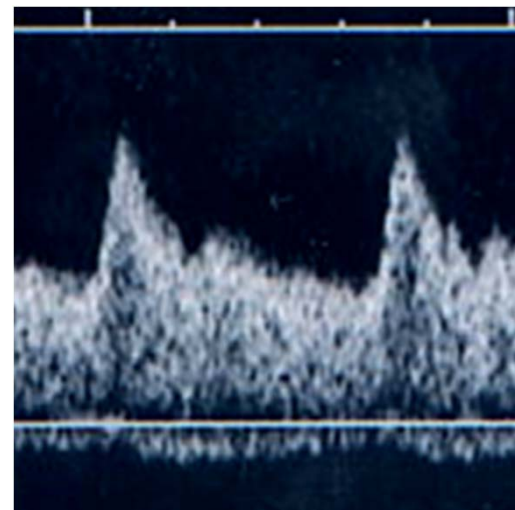
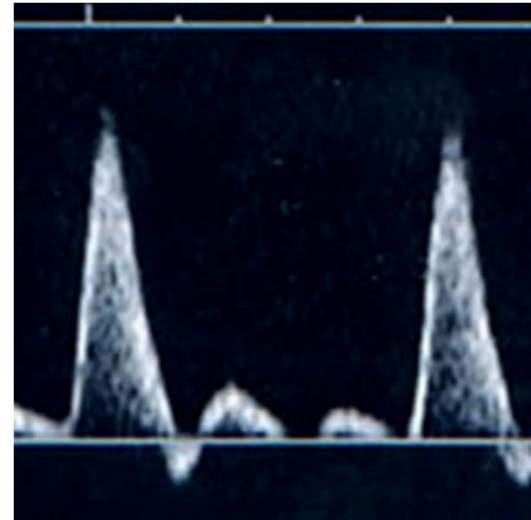
Basse résistance

Haute résistance

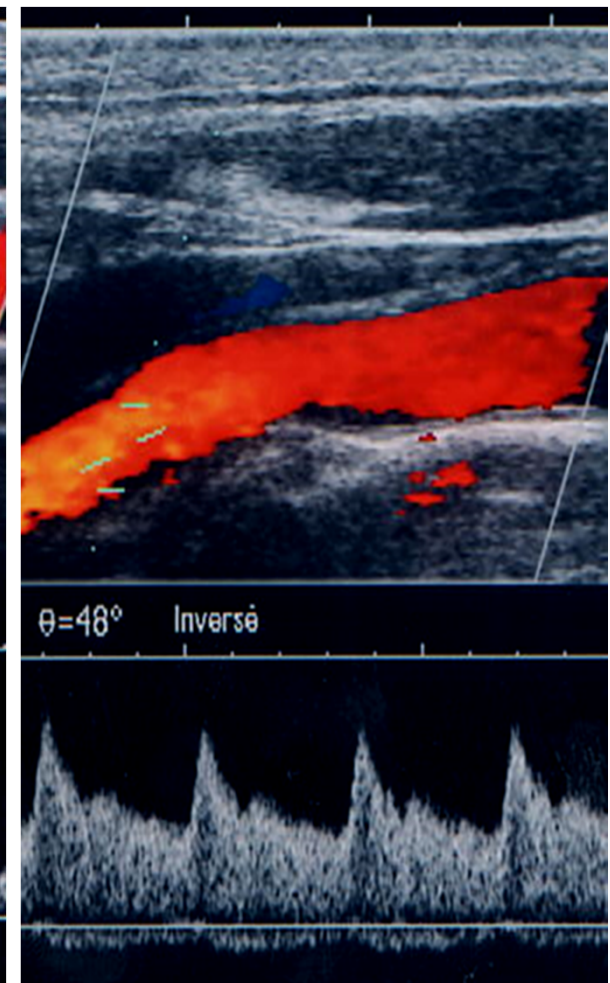
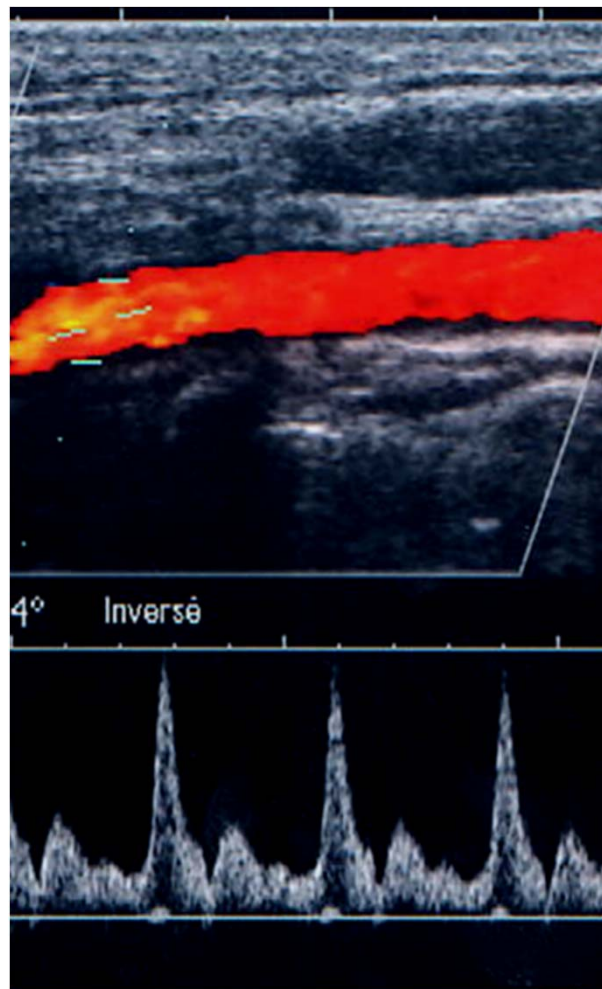
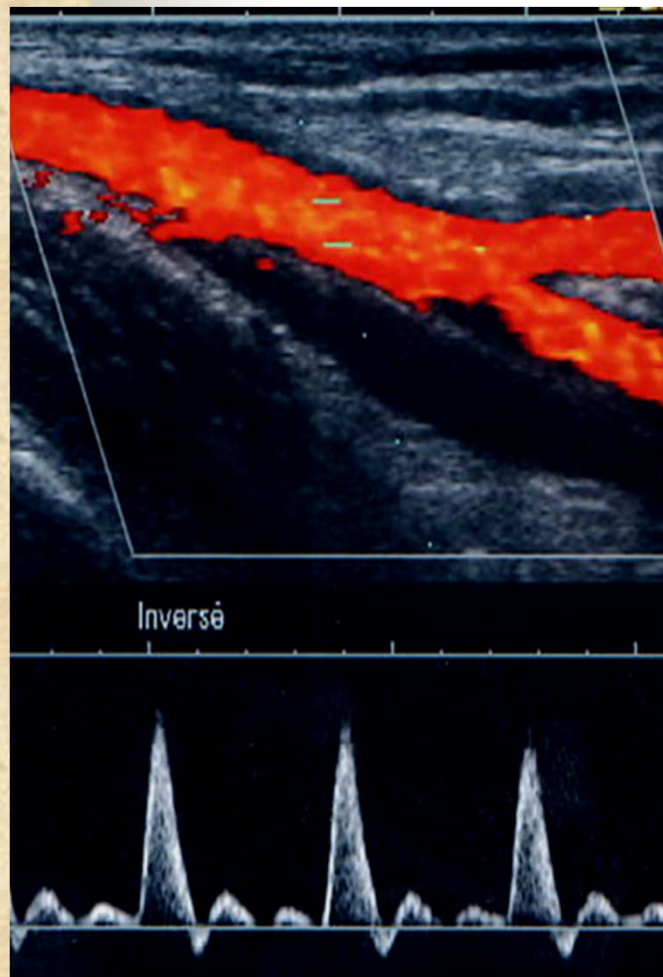
P = amplitude totale pic à pic

M = moyenne temporelle des V

# RESISTANCES VASCULAIRES

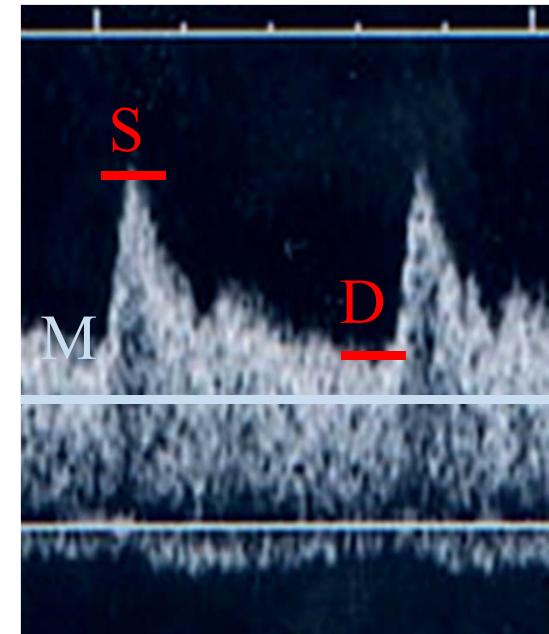
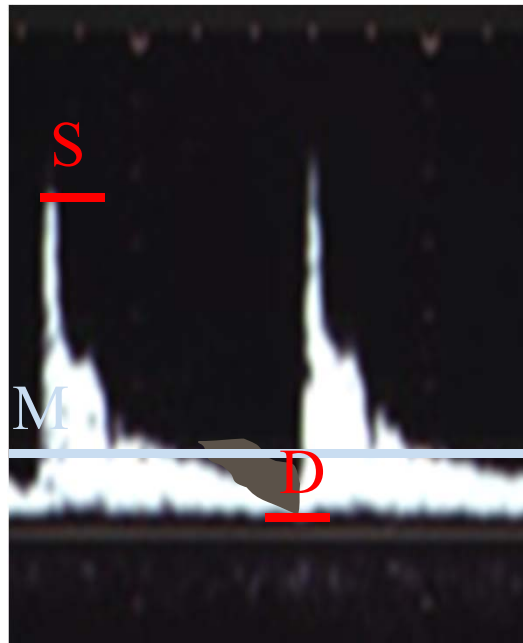
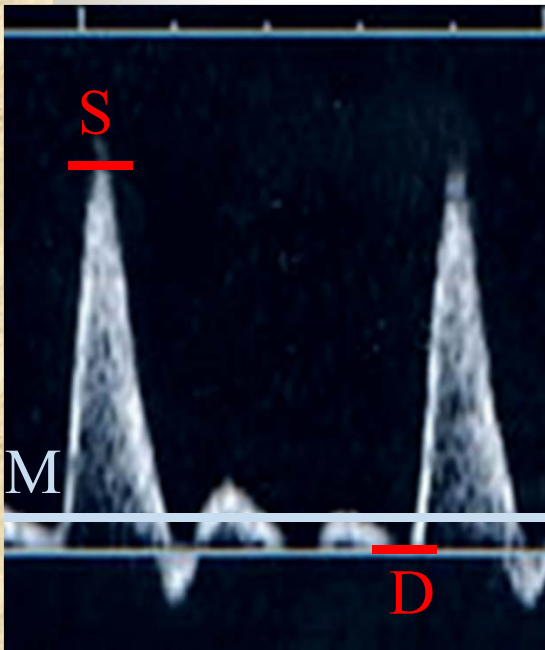


## RESISTANCES VASCULAIRES



## RESISTANCES VASCULAIRES

### ■ Quantification d'index





# Plan

- Rappel physiologique
- Hémodynamique
- Propriétés physiques des vaisseaux
- Ecoulements circulatoires
- Analyse spectrale
- L'effet Doppler
- Différents modes doppler
- Interprétation des signaux doppler
- Pièges et artéfacts en mode Doppler

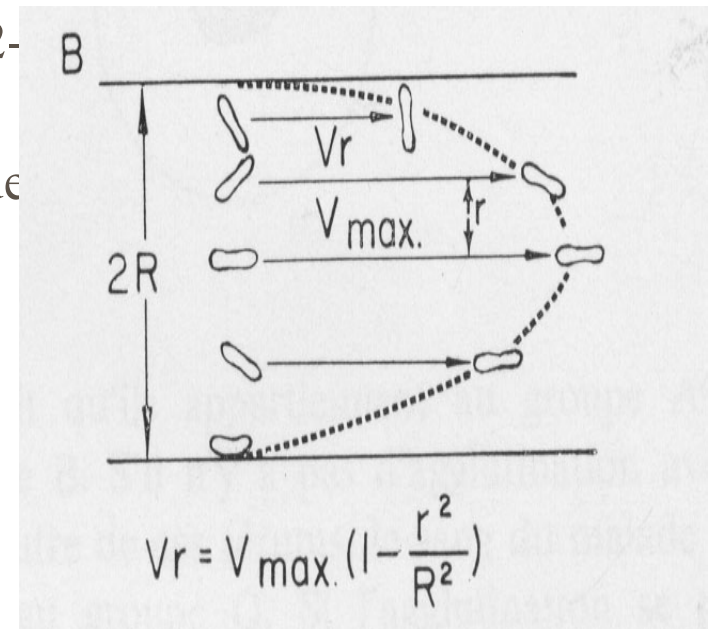
# Les profils d'écoulement

## ■ Ecoulement dans un vaisseau

### ■ écoulement laminaire

- grâce à une différence de Pression ( $P_2 - P_1$ )
- formé de plusieurs couches cylindriques concentriques, minces, parallèles les unes aux autres
- distribution parabolique des vitesses d'écoulement

- $V = V_{\max} (1 - x/r^2)$  ;  $x$  = distance entre 2 lames





# Les profils d'écoulement

## ■ Ecoulement laminaire

- la vitesse décroît quand  $x$  croît
- vitesse ↗ débit de liquide
- vitesse moyenne = vitesse qui, uniforme, déterminerait le débit  $V_{\text{moy}} = 1/2 V_{\text{max}}$
- régime économique et le moins bruyant



# Les profils d'écoulement

## ■ Ecoulement turbulent

- front d'évolution raide et non parabolique
- écoulement bruyant, déperdition d'énergie
- l'apparition de la turbulence dépend de  $V$ 
  - $V$  faible : filet parallèle aux parois
  - quand  $V$  croît : filet sinueux avec tourbillons
- la turbulence est fonction :



# Les profils d'écoulement

- Régime turbulent :
  - selon Reynolds dépend :
    - du diamètre du tuyau  $d$
    - de la viscosité du liquide  $\mu$
    - de la vitesse moyenne  $V_{\text{moy}}$
    - de la densité du liquide  $\rho$
- $R$  faible : régime laminaire
- $R$  élevé : régime turbulent



# Les profils d'écoulement

- R augmente quand :
  - la viscosité  $\mu$  diminue (cf anémie et souffle)
  - la vitesse d'écoulement augmente
  - le débit s'accroît (exercice physique)  $Q = V_{\text{moy}} \cdot S$
  - le diamètre du vaisseau diminue
  
- $R = 4 Q \rho / \pi d \mu$  avec  $S = \pi d^2 / 4$



# Les écoulements dans les vaisseaux

## ■ Loi de POISEUILLE

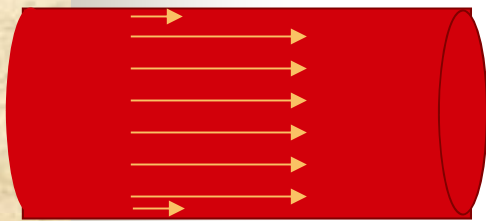
### ■ en écoulement laminaire

- relation DEBIT-PRESSION : si on mesure la pression entre deux points d'une tubulure, le débit de liquide entre ces deux points sera proportionnel à la différence de pression  $P_1 - P_2$ .
- Si différence de pression périodique, on parlera de pression moyenne  $\longrightarrow$  la différence de pression, si elle était constante assurerait le même débit :

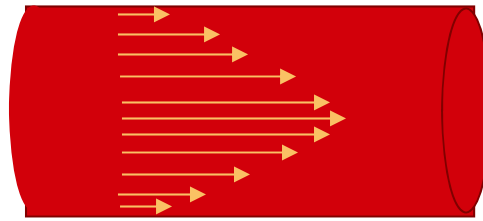
■  $Q = K (P_1 - P_2)$  K conductance =  $1/R$  résistance

■ soit  $P = Q * R$  avec  $R = \frac{8l\mu}{\pi r^4}$   $r$ =rayon tubulure

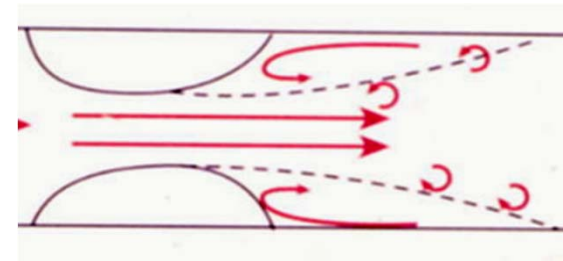
## SPECTRE ET PROFIL DE L'ECOULEMENT 2D



Flux plateau

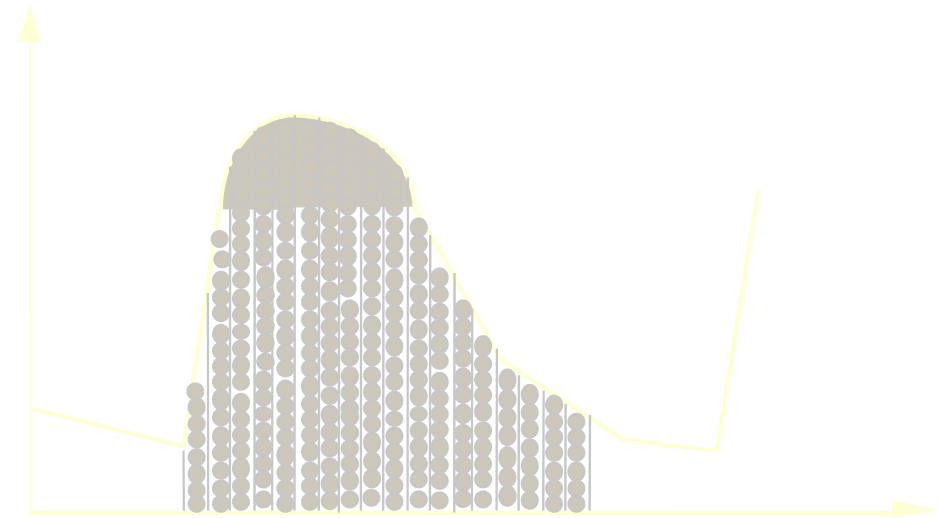
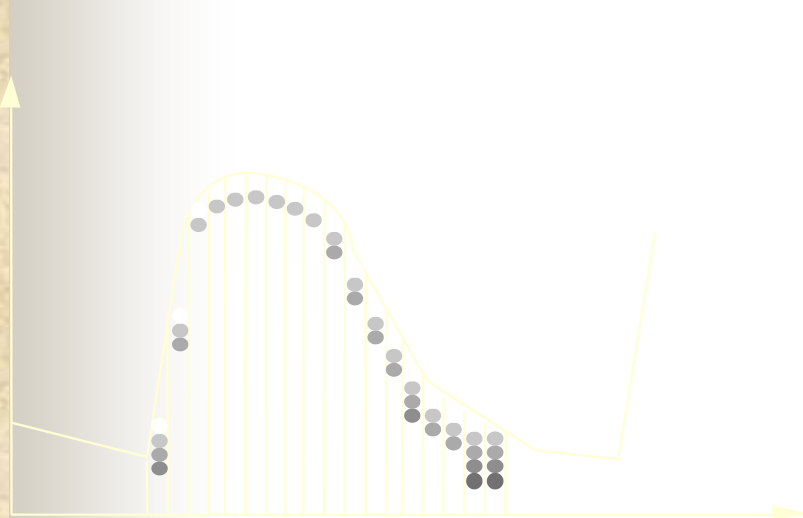
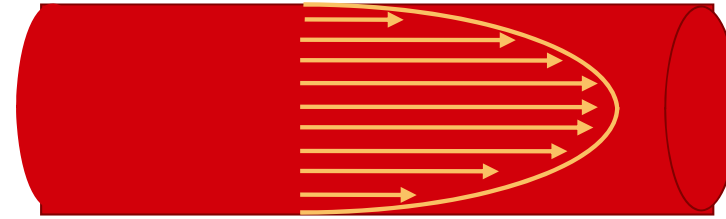
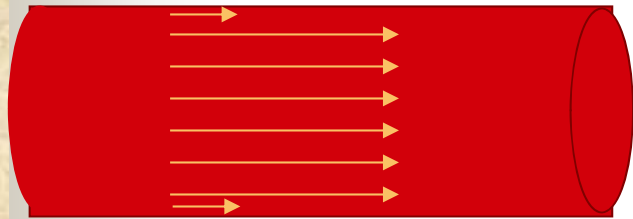


Flux laminaire



Sténose

## SPECTRE ET PROFIL DE L'ÉCOULEMENT 3D

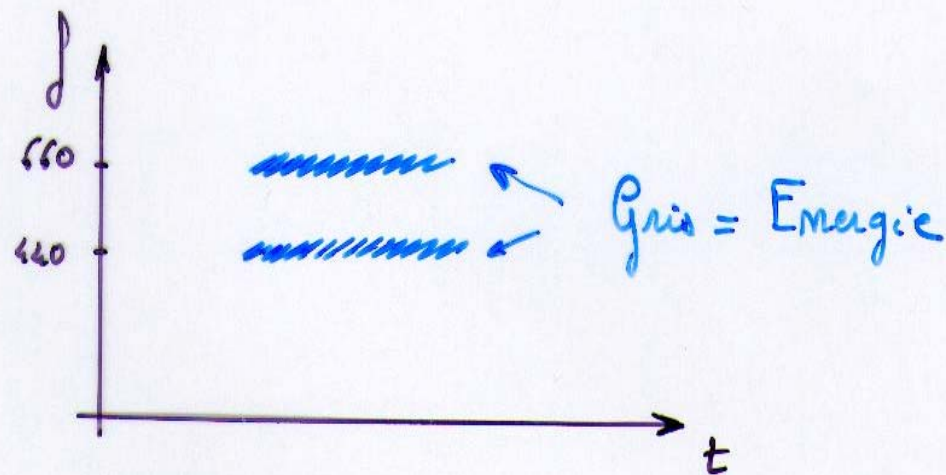
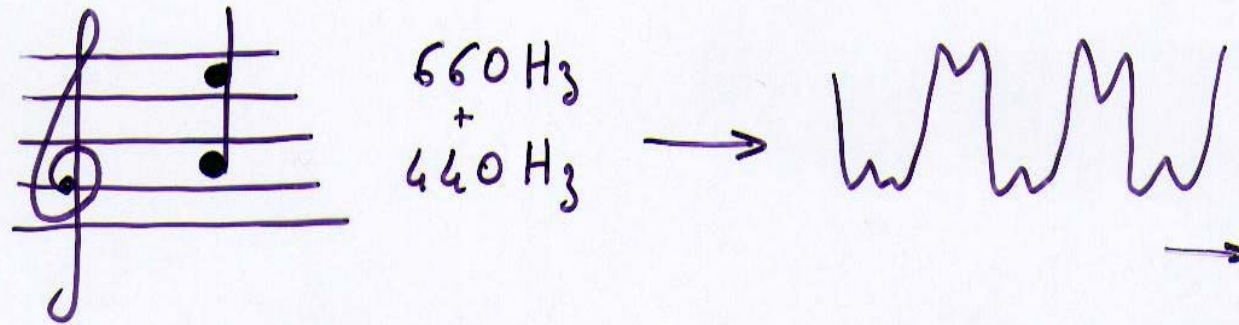




# Plan

- Rappel physiologique
- Hémodynamique
- Propriétés physiques des vaisseaux
- Ecoulements circulatoires
- Analyse spectrale
- L'effet Doppler
- Différents modes doppler
- Interprétation des signaux doppler
- Pièges et artéfacts en mode Doppler

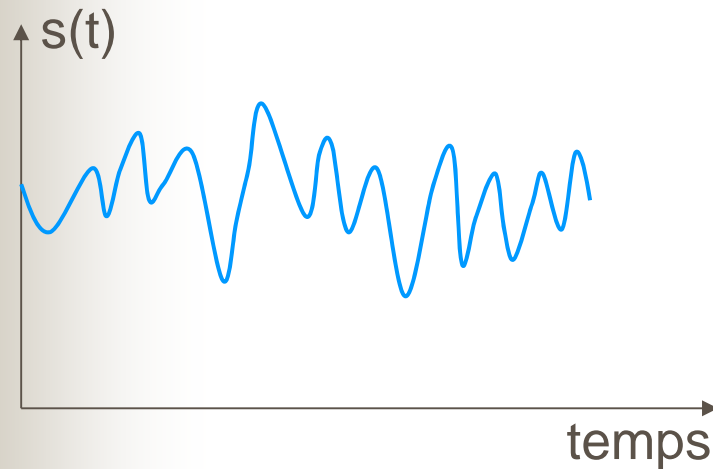
# Analyse de spectre ou de Fourier



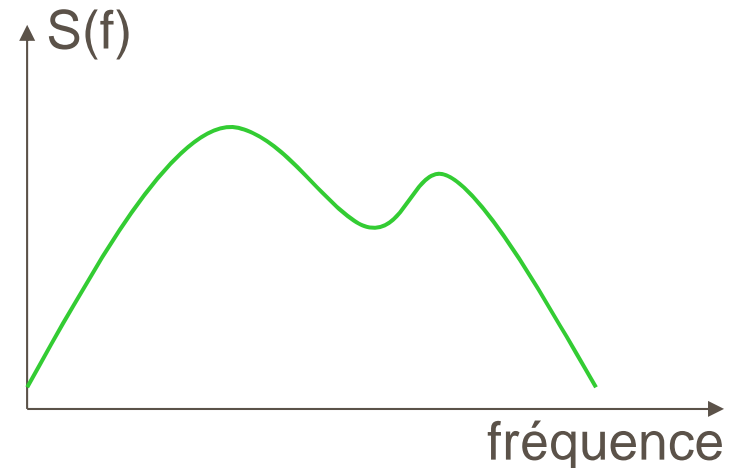
# ANALYSE SPECTRALE (OU EN FRÉQUENCES) DU SIGNAL DOPPLER

Tout signal  $s(t)$  peut être analysé en fréquences à l'aide de la transformée de Fourier (TF), c'est à dire, décomposé en une somme de signaux sinusoïdaux de fréquences différentes, chaque composante fréquentielle ayant un poids différent. On obtient le spectre en fréquences  $S(f)$ .  $TF^{-1}$  est la transformée de Fourier inverse

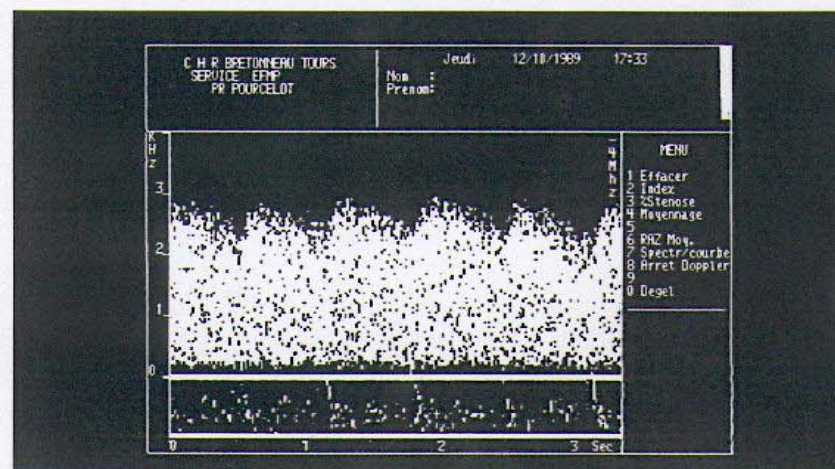
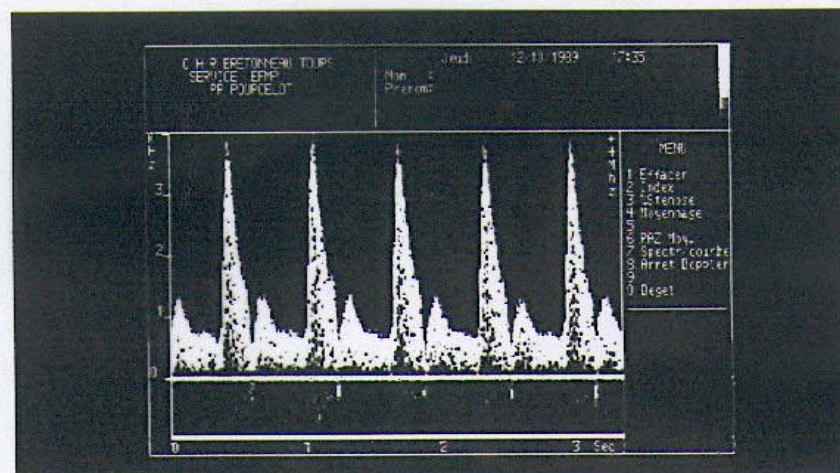
$$s(t) \xrightleftharpoons[TF^{-1}]{TF} S(f)$$



Signal temporel

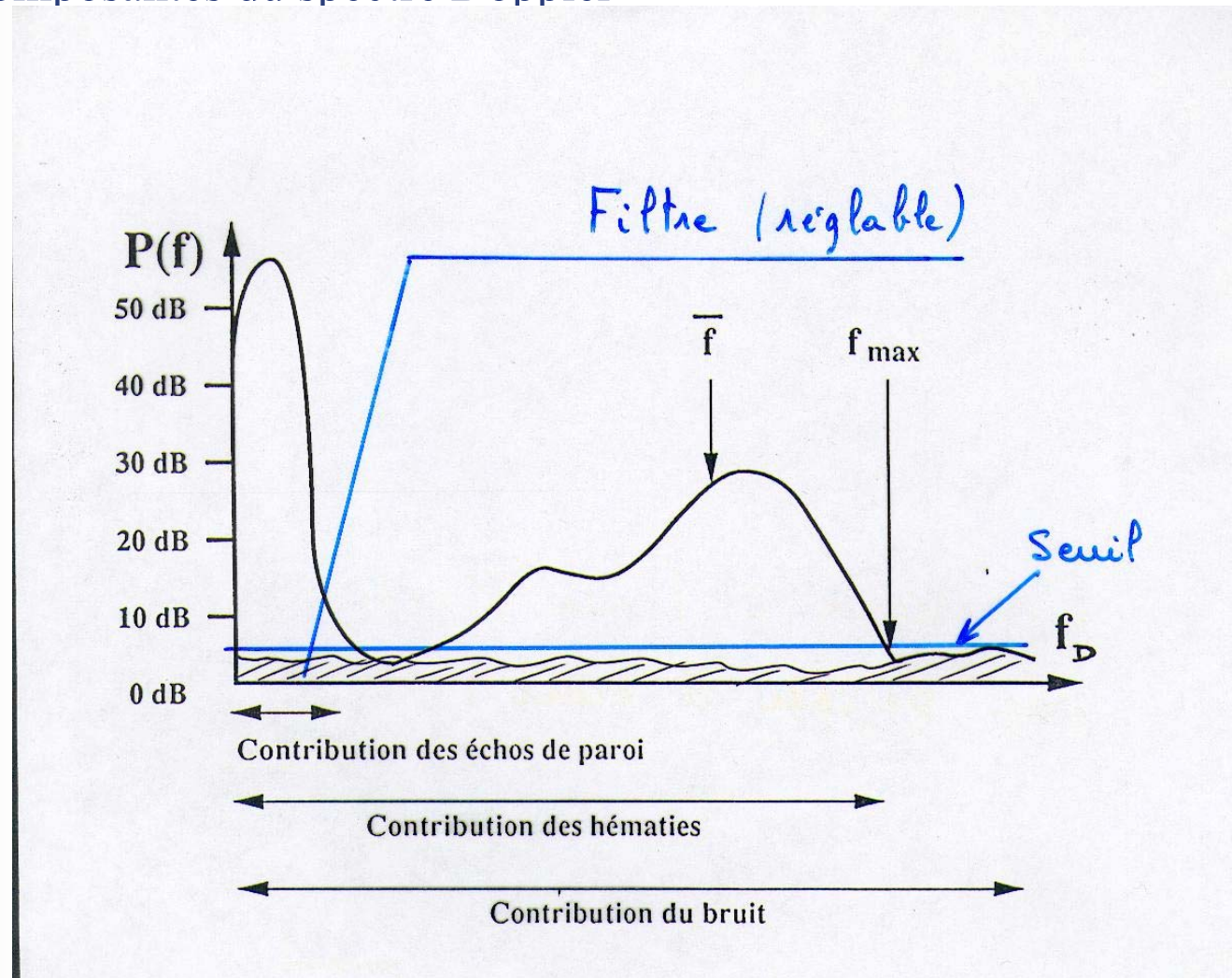


Spectre en fréquences

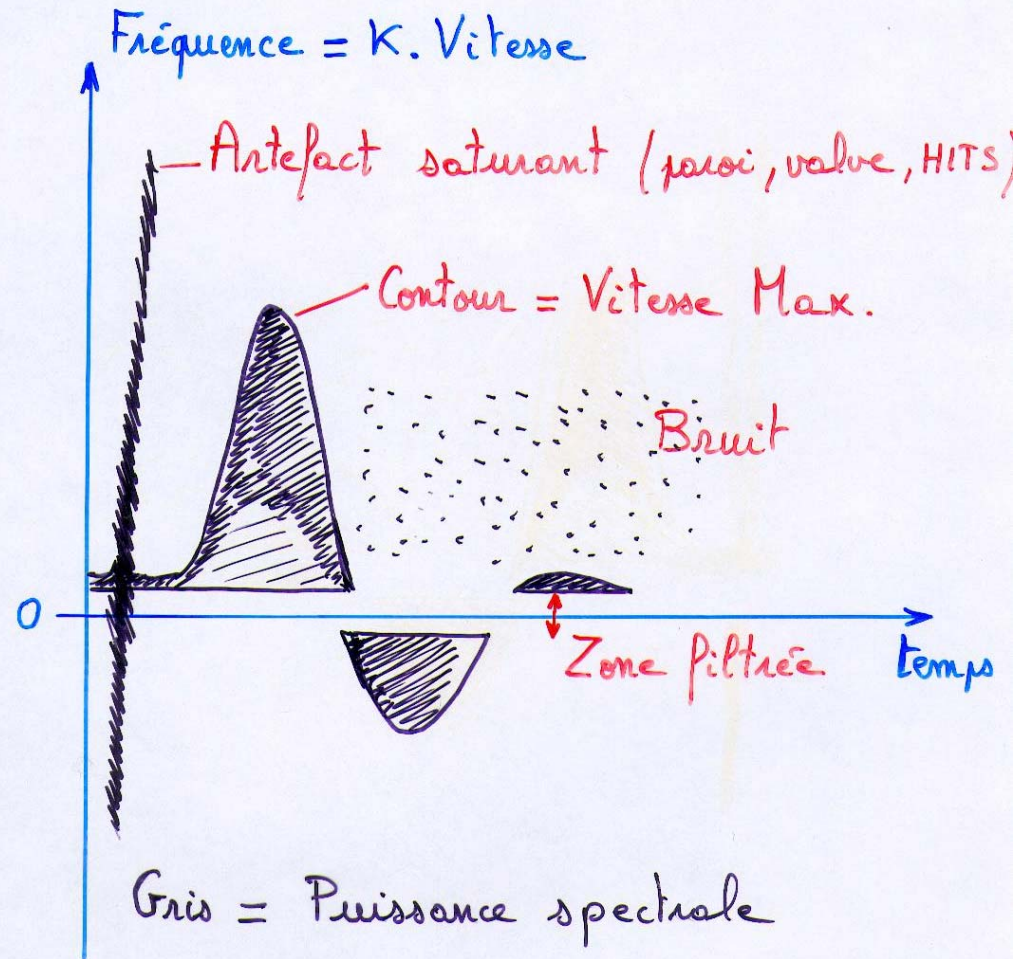


**Ex de spectres : Artériel puis veineux**

## Les composantes du spectre Doppler



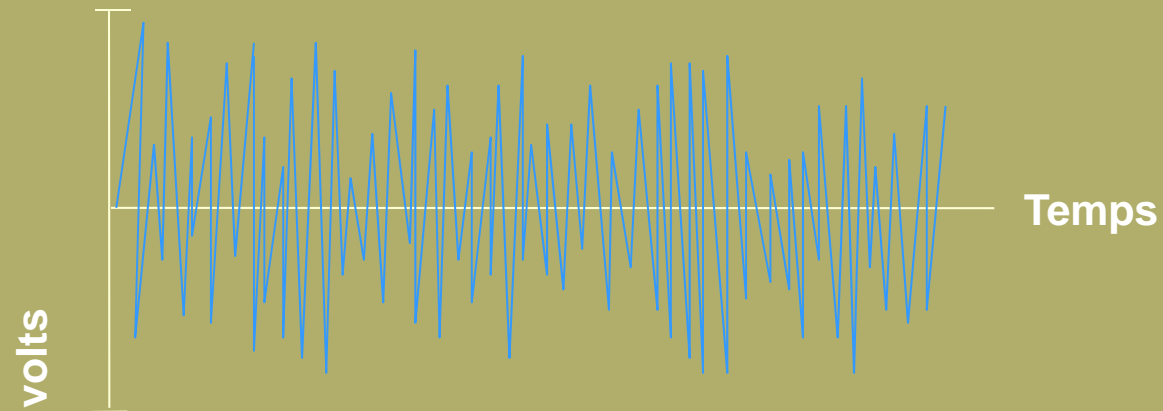
# Représentation en analyse spectrale



$\approx$  Nombre d'hérmétiques à telle vitesse à tel instant.

# LE SPECTRE DE FREQUENCES

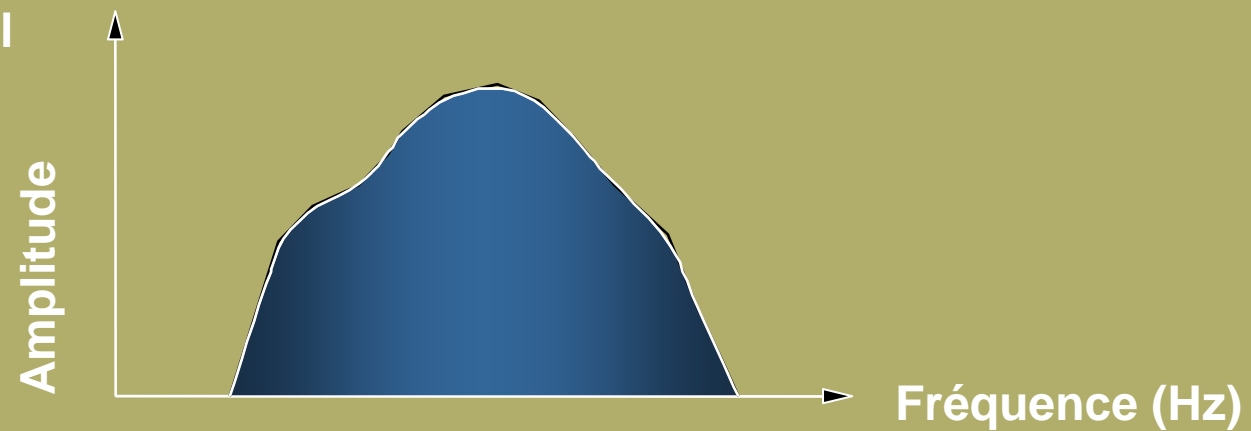
Domaine temporel



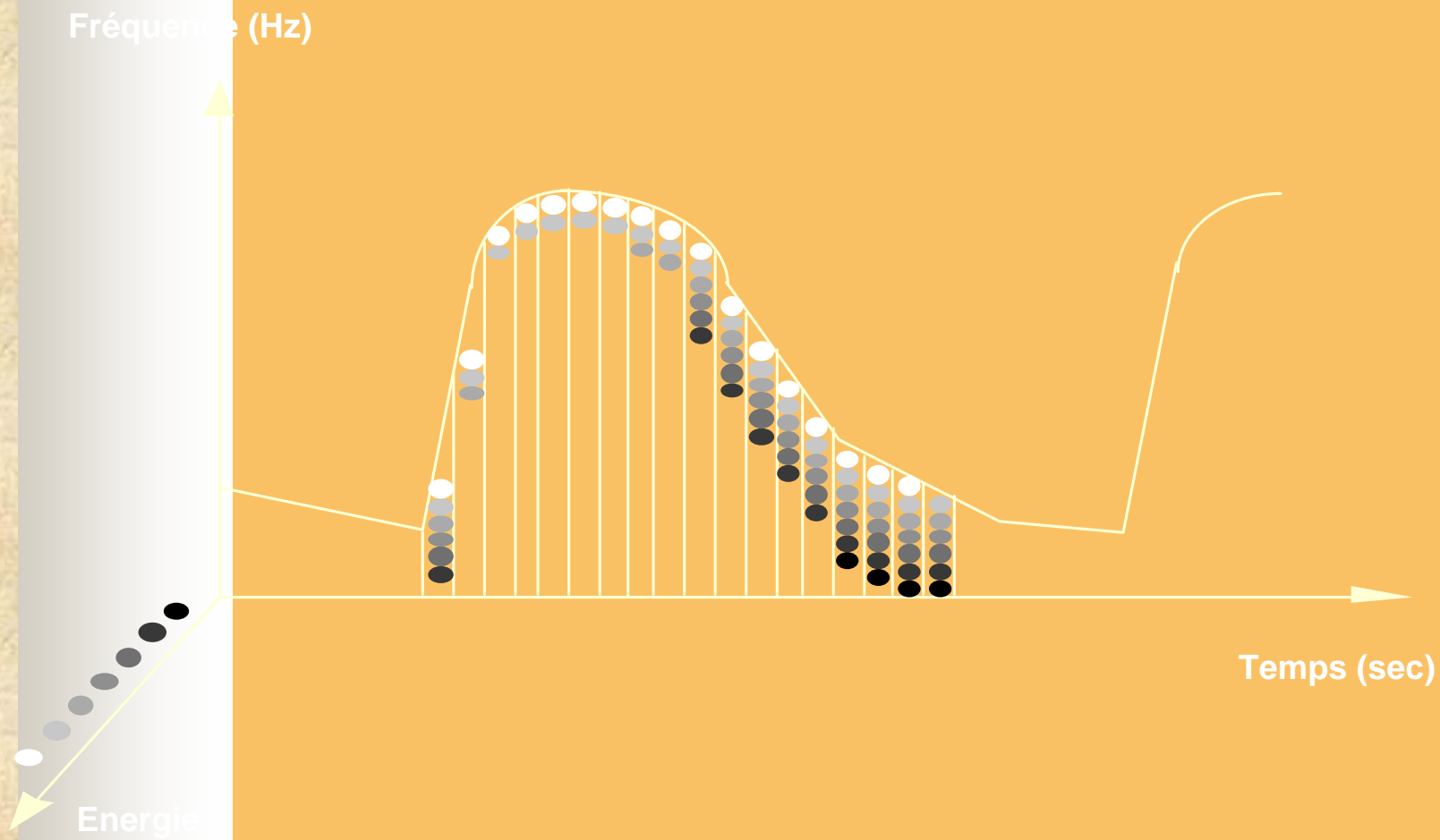
*transformation  
de Fourier*



Domaine fréquentiel



# LE SPECTRE DE FREQUENCES





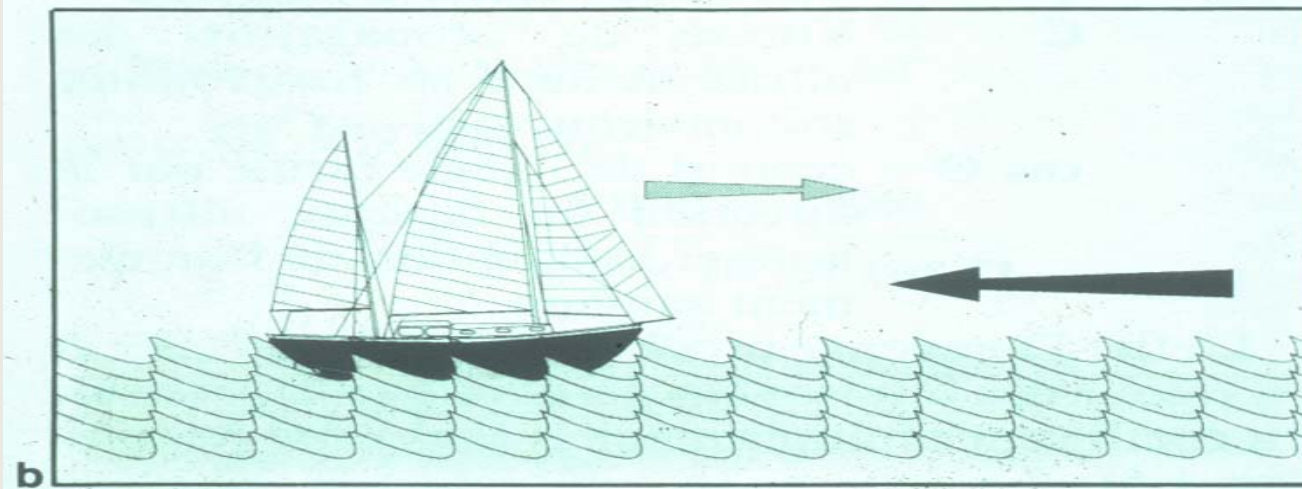
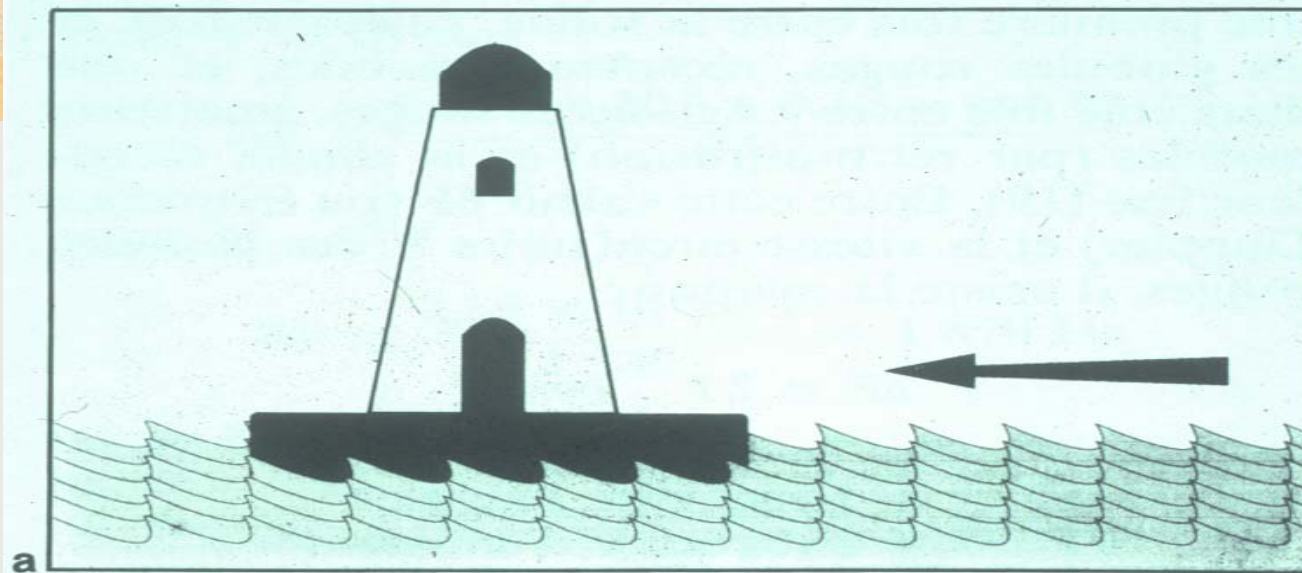
# Plan

- Rappel physiologique
- Hémodynamique
- Propriétés physiques des vaisseaux
- Ecoulements circulatoires
- Analyse spectrale
- L'effet Doppler
- Différents modes doppler
- Interprétation des signaux doppler
- Pièges et artéfacts en mode Doppler



## L'effet Doppler

- Variation apparente de la fréquence d'une onde émise par une source en mouvement par rapport à un observateur
- $F' = f \left\{ \frac{c + V_o \cdot \cos \theta_o}{c - V_s \cdot \cos \theta_s} \right\}$ 
  - Observateur immobile source approchante : son perçu  $f' = f \cdot c / (c - V)$  donc plus aigu que  $f$
  - À son niveau (pas d'effet transversal):  $f' = f$
  - Quand la source s'éloigne :  $f' = f \cdot c / (c + V)$



Pour un observateur fixe (comme le gardien du phare), le phénomène périodique propagé que constituent les vagues présente une fréquence fixe (a).

Pour un observateur mobile (comme le pêcheur sur son bateau), la fréquence des vagues est différente : plus élevée si le bateau va à leur rencontre (b).

# Principe du Doppler

## ■ Détection cible en mvt

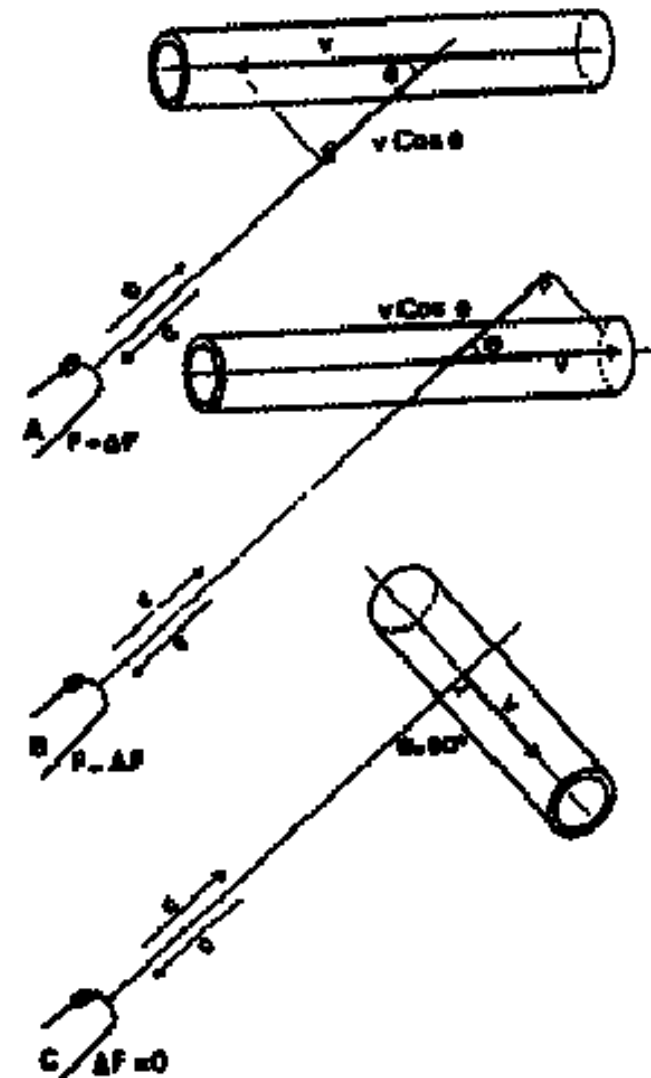
- $\Delta F > 0$  qd cible s'approche
- $\Delta F < 0$  qd cible s'éloigne
- $20 < \Delta F < 50 \text{ KHz}$  = gamme de F audible

## ■ Angle d'insonation

- $0 < \theta < 60^\circ$  car  $\cos \theta$
- Augmentation  $\theta \rightarrow \searrow \Delta F$

## ■ Appareillage

- Restitue le dplcmnt de la cible en terme de décalage de F
- Fournir l'angle au calculateur





# Relation Fréquence - Vitesse

## ■ Remarques

- La variation de fréquence  $\Delta F$  se situe dans la gamme des fréquences audibles
- L'amplitude des échos provenant du sang est 100 à 1000 fois plus faible que ceux provenant des tissus fixes, ce qui nécessitera un filtrage



## Relation Fréquence - Vitesse

- Le tir Doppler est désaxé par rapport au vaisseau exploré :  $\Delta F = 2V/c.Fo.\cos\theta$ 
  - $\Delta F$  : fréquence Doppler mesurée
  - $V$  : vitesse circulatoire
  - $C$  : vitesse de propagation des US dans les tissus (1540 m/s)
  - $Fo$  : fréquence d'émission de la sonde
  - $\theta$  : angle Doppler



# Conversion Fréquence - Vitesse

Angle $\theta$	0°	10°	20°	30°	40°	50°	60°	70°	80°	90°
Cos $\theta$	1	0,98	0,94	0,87	0,77	0,64	0,5	0,34	0,17	0
Erreur relative (%)		4	6,3	11,5	17	22	32	47	100	

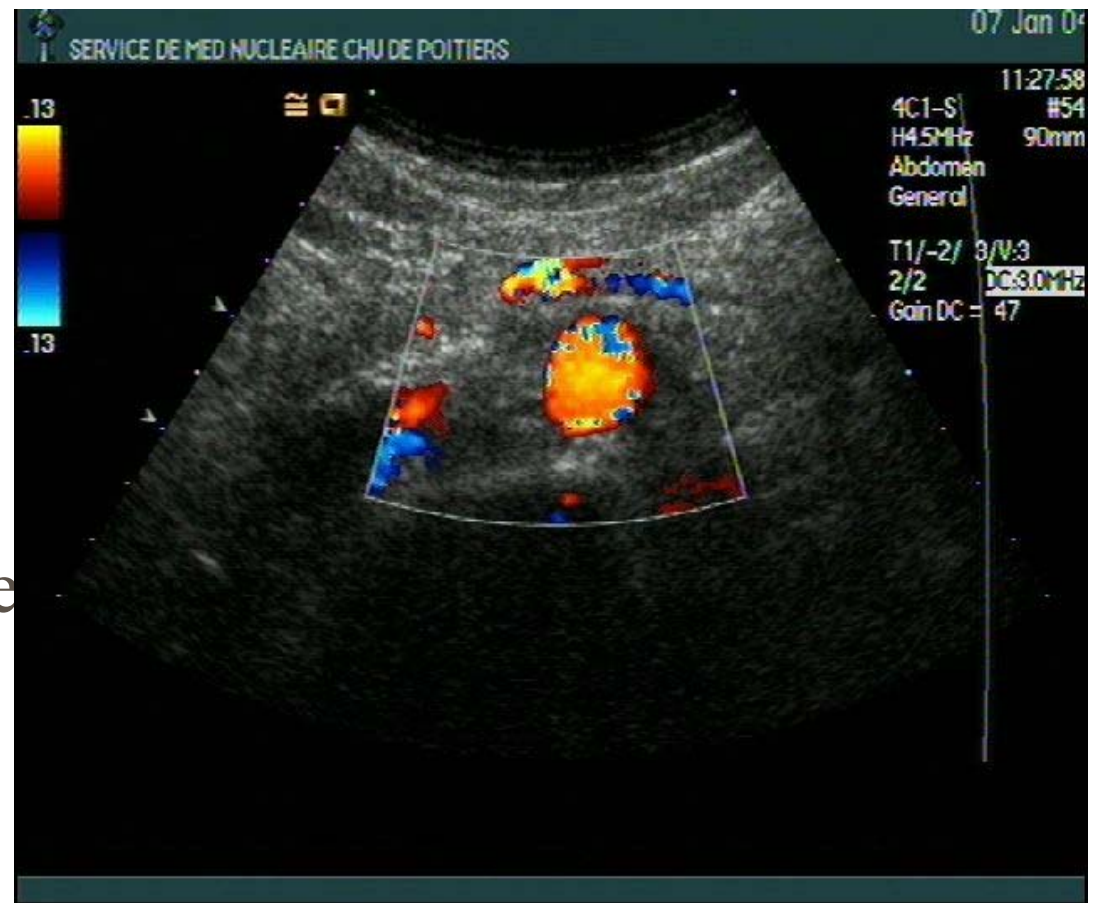


# Plan

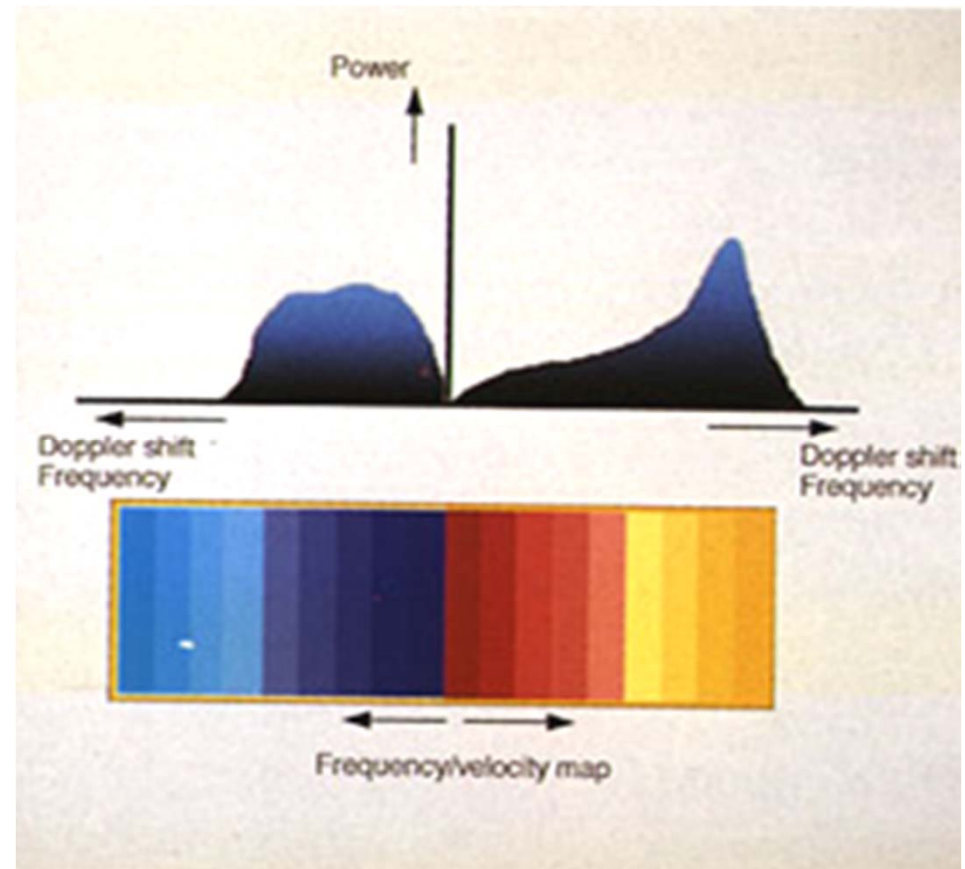
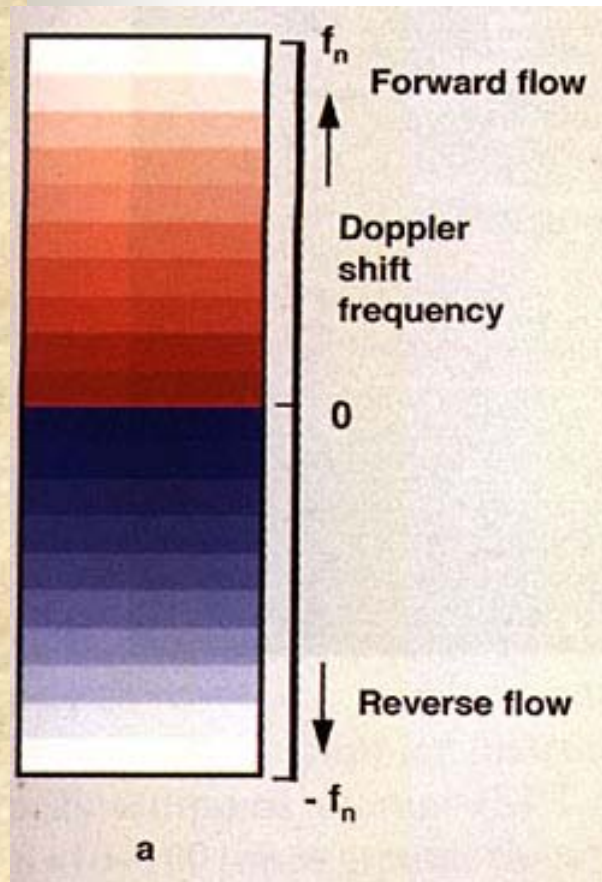
- Rappel physiologique
- Hémodynamique
- Propriétés physiques des vaisseaux
- Ecoulements circulatoires
- Analyse spectrale
- L'effet Doppler
- Différents modes doppler
- Interprétation des signaux doppler
- Pièges et artéfacts en mode Doppler

# LE DOPPLER

- Le Doppler couleur
  - codage selon le sens du flux
  - détection des particules en mouvement
  - intérêt de l'angle d'attaque et de l'échelle des vitesses

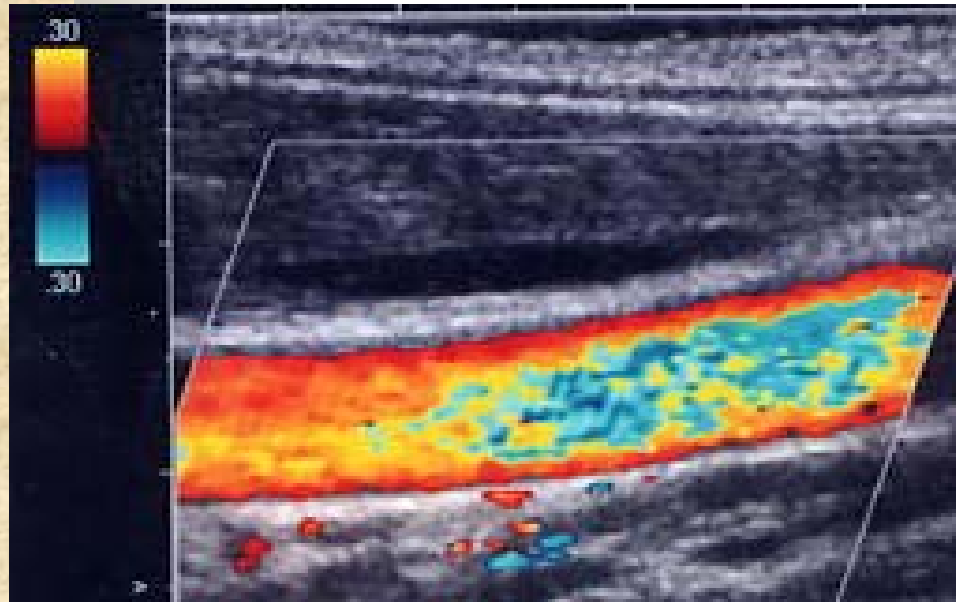


# DOPPLER COULEUR

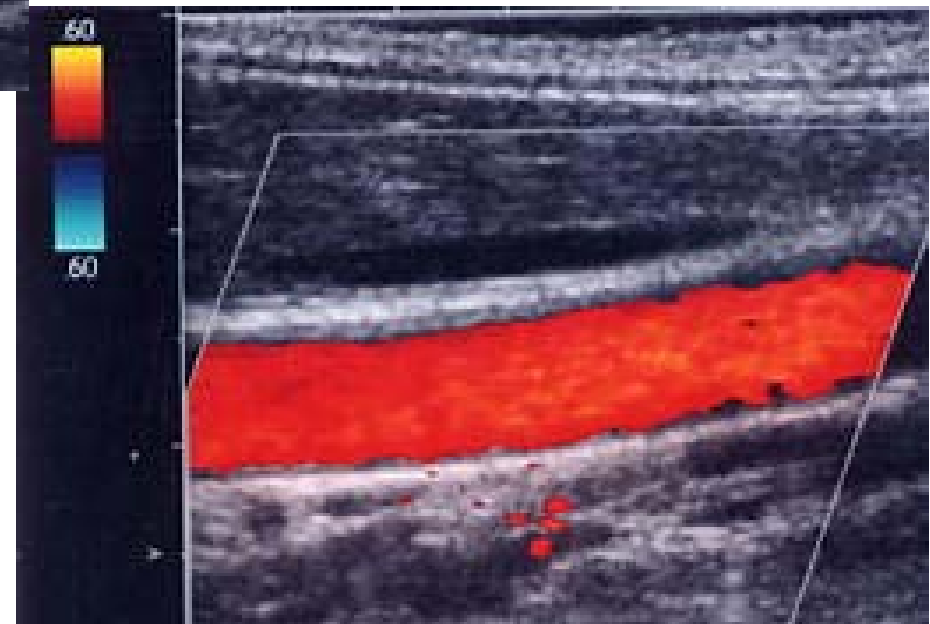


Au sein de ch

# PHENOMENE D'ALIASING



■ Effet de la PRF

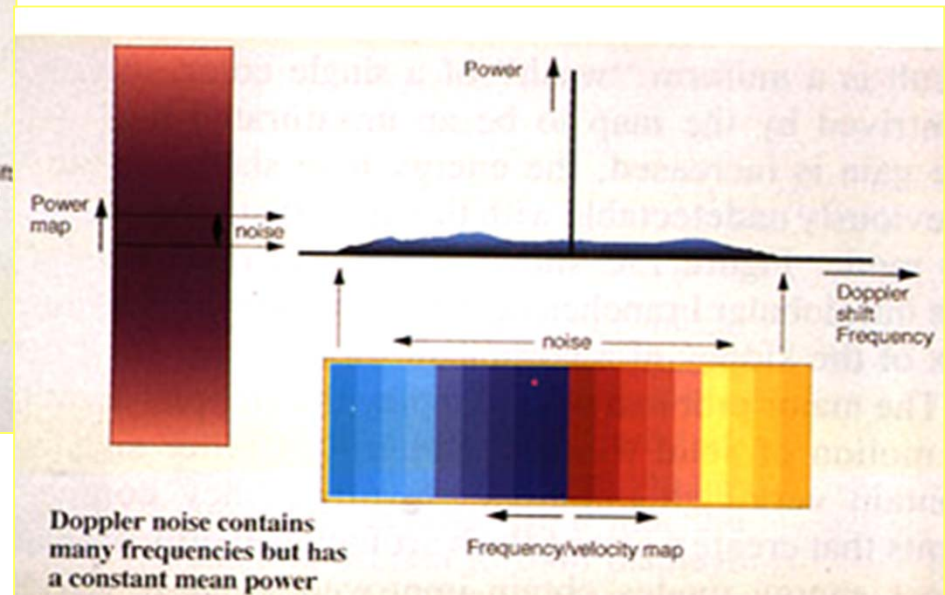
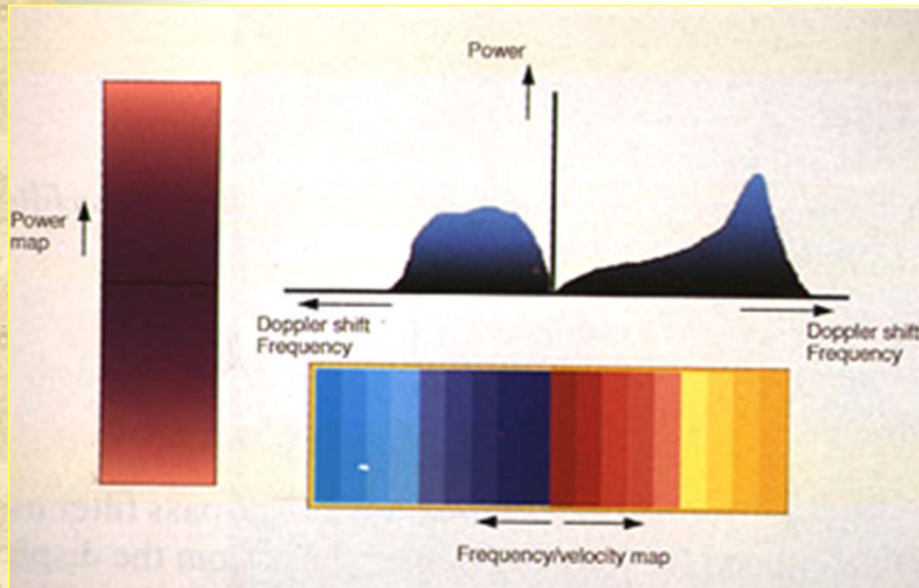




## Mode d'utilisation du Doppler

- Le Doppler Energie ou Puissance
  - Ne prend en compte que l'énergie du signal rétro-diffusé
  - Indépendant de la vitesse de circulation
  - Fortement dépendant du déplacement des milieux

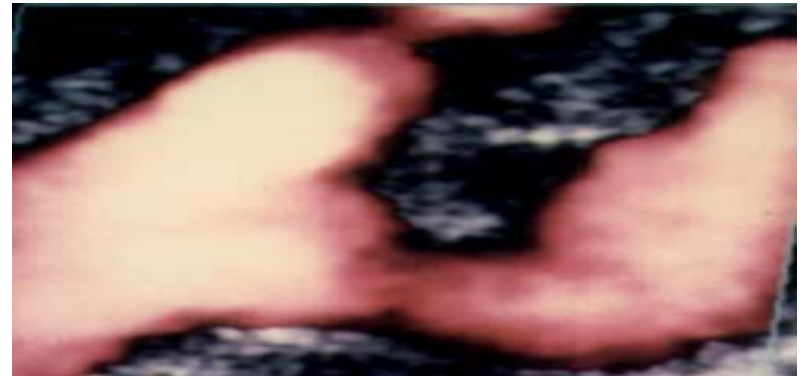
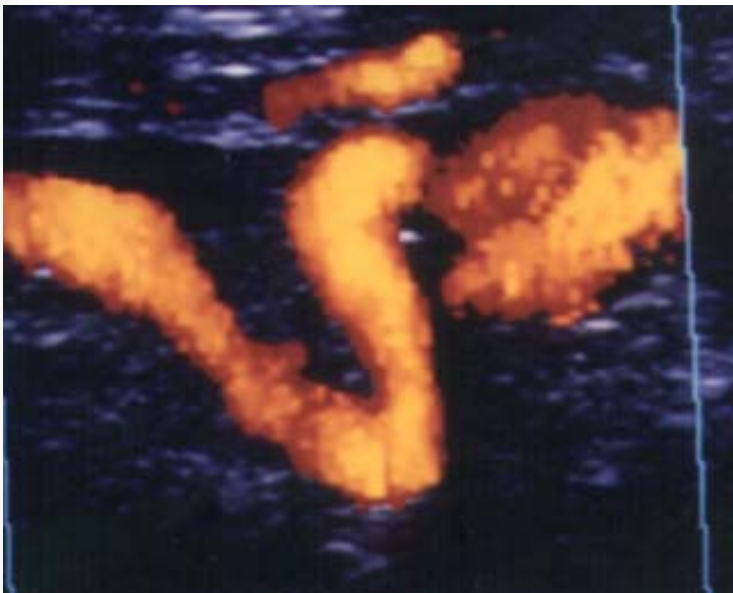
# DOPPLER ENERGIE



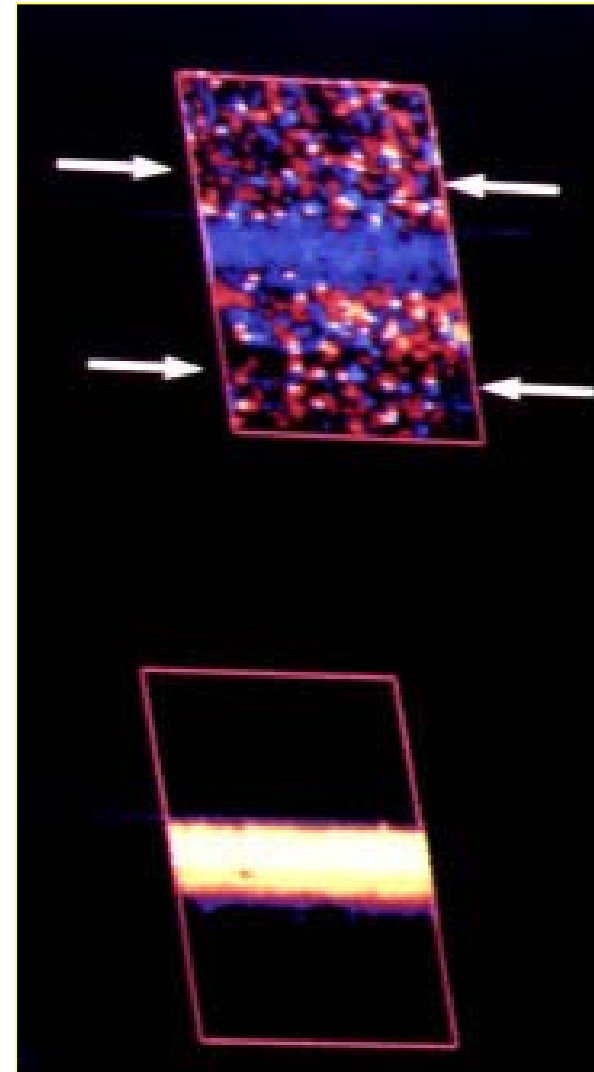
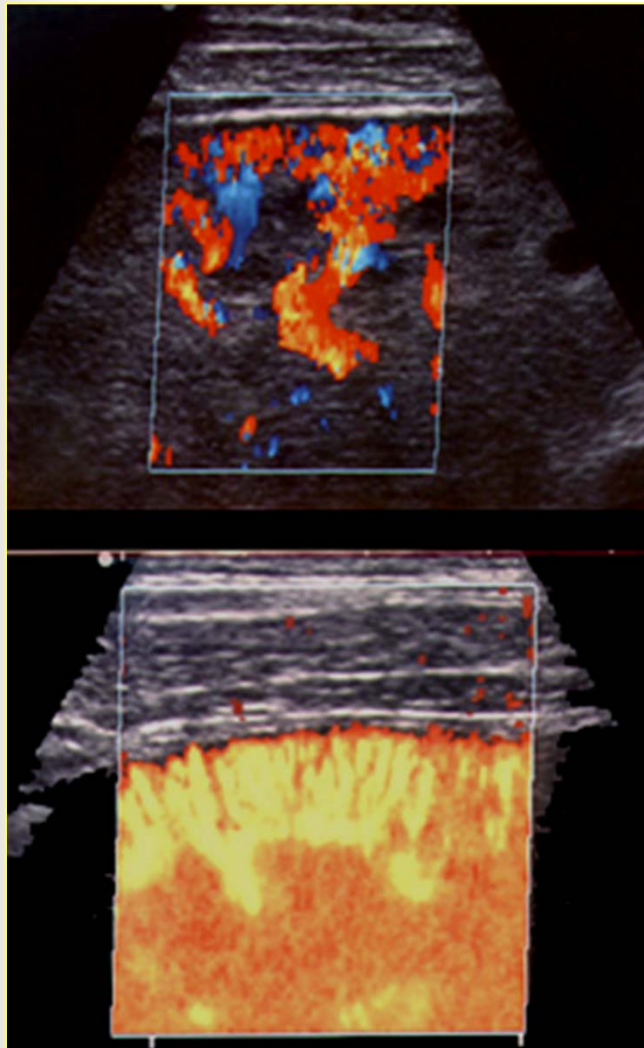
*Taylor, Burns, Wells*

# DOPPLER ENERGIE

- Bonne sensibilité à angle Doppler élevé



# DOPPLER ENERGIE





# DOPPLER ENERGIE

---

## ■ Avantages :

- bon remplissage endo-luminal par le signal
- Insensible à l'angle entre faisceau US et direction de l'écoulement
- meilleure anatomie des petits vaisseaux parenchymateux
- Absence d'aliasing

## ■ Inconvénients :

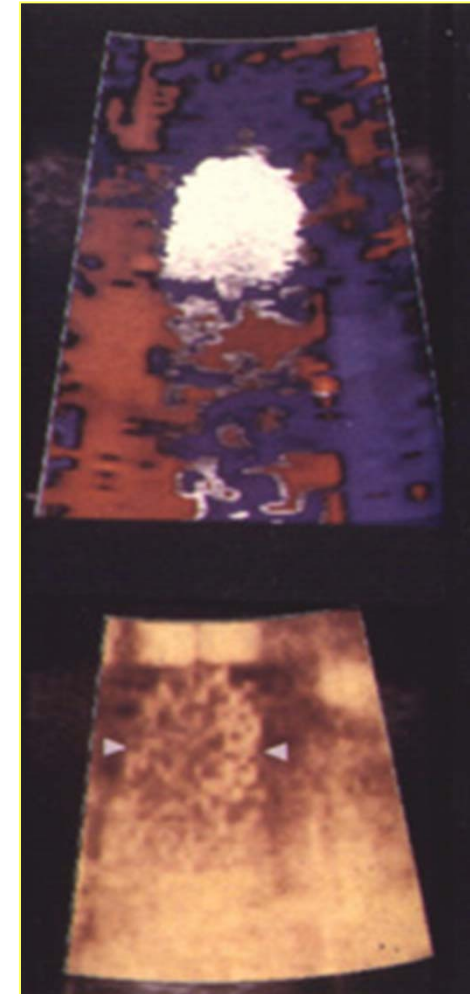
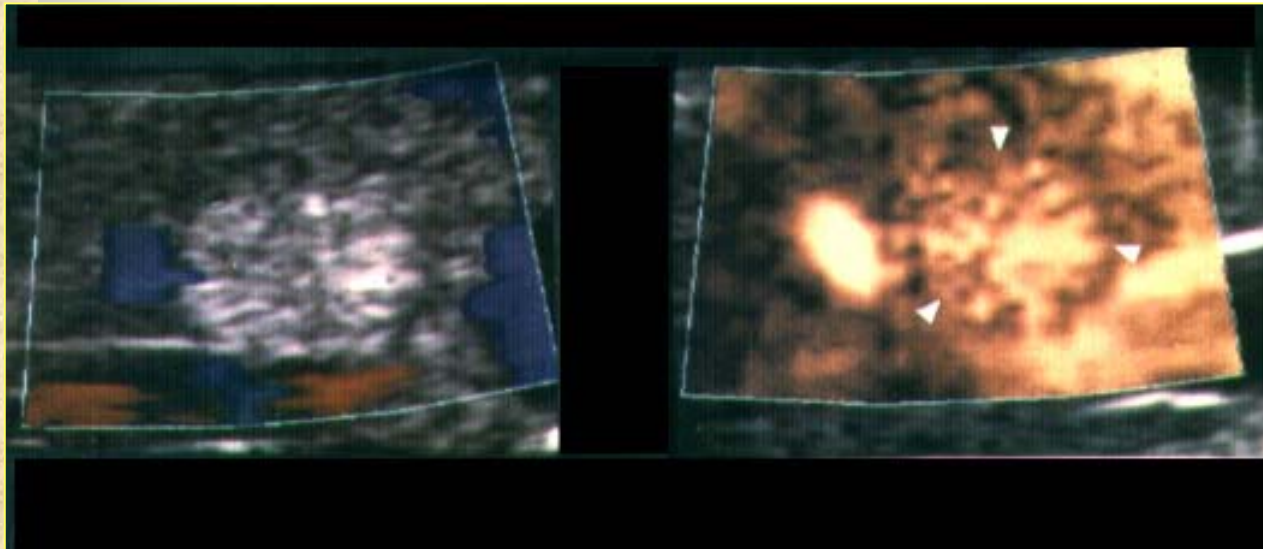
- imagerie morphologique :
  - pas d'information sur le sens d'écoulement
  - pas d'information sur les vitesses
- artefacts :
  - sensible aux artefacts de mouvement (augmentation du bruit)
  - présence d'artefacts sur les structures hyperéchogènes



## Doppler Energie

- Avantages : résolution temporelle et spatiale
- Sur certains équipements : DED
  - Notion de sens de circulation
  - Sensibilité identique au PowerD
  - Meilleure résolution temporelle

# DOPPLER ENERGIE: Artefacts

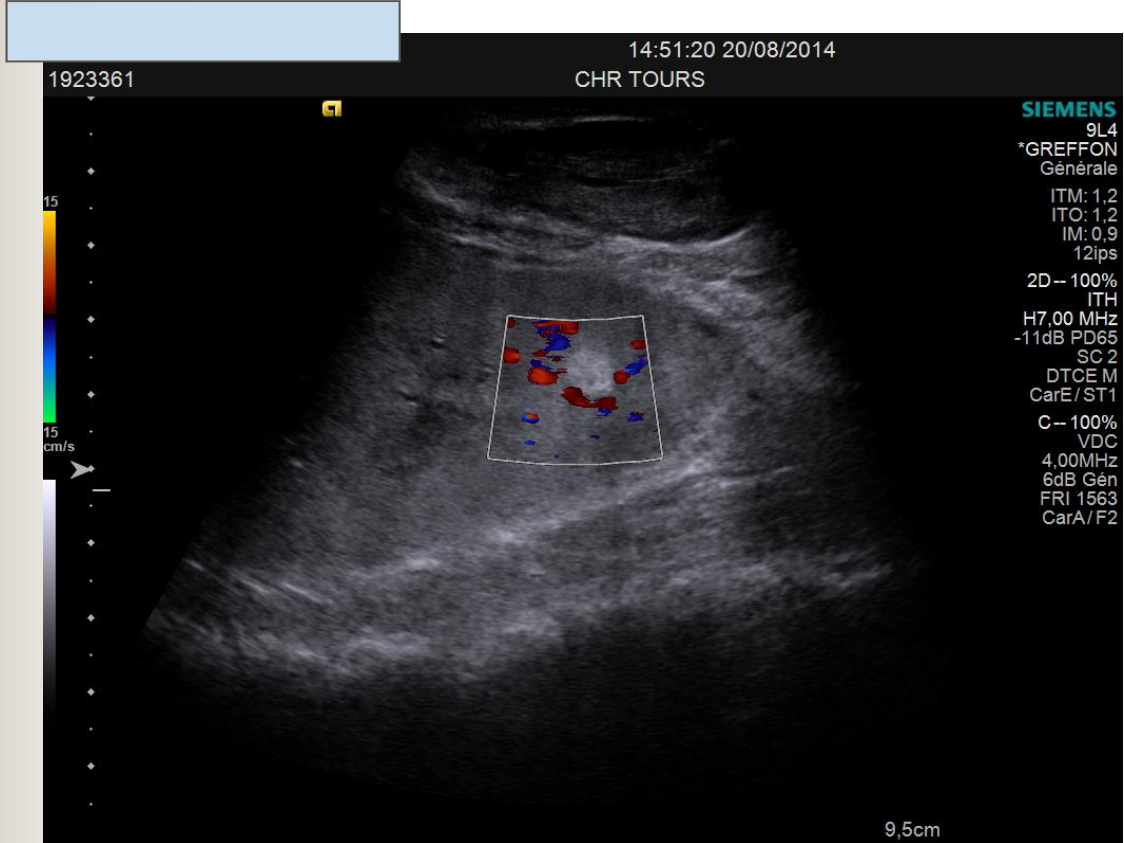


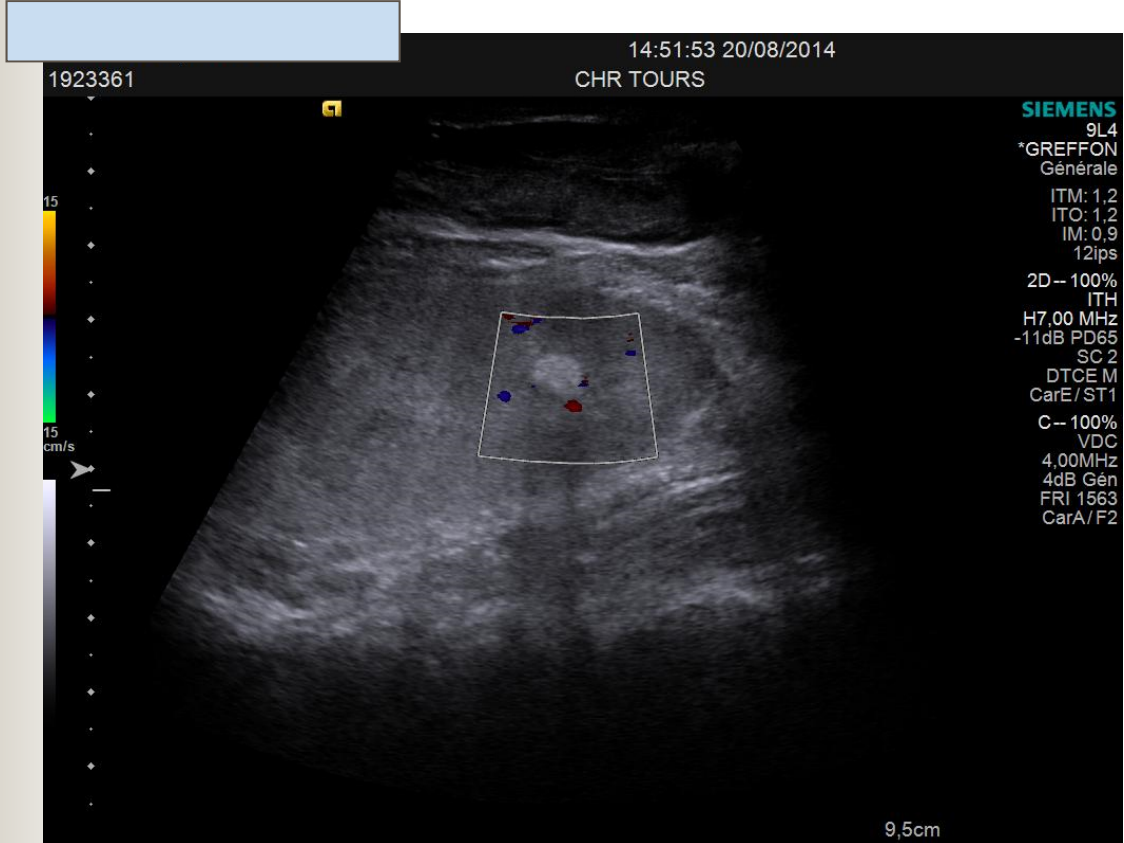
1923361

14:50:41 20/08/2014  
CHR TOURS

**SIEMENS**  
9L4  
\*GREFFON  
Générale  
ITM: 0,6  
ITO: 0,6  
IM: 1,0  
20ips  
2D - 100%  
ITH  
H7,00 MHz  
-11dB PD65  
SC 2  
DTCE M  
CarE/ST1

9,5cm





1923361

14:56:39 20/08/2014

CHR TOURS

SIEMENS

9L4

\*GREFFON  
Générale

ITM: 1,2

ITO: 1,2

IM: 1,1

9lps

2D - 100%

ITH

H7,00 MHz

-3dB PD65

SC 2

DTCE M

CarE/ ST1

C - 100%

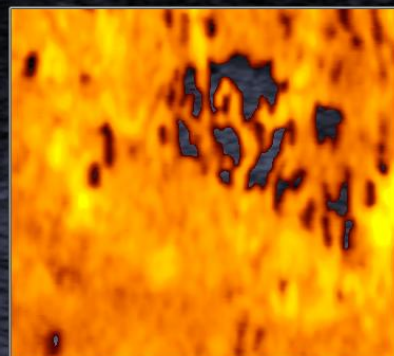
EDC

4,00MHz

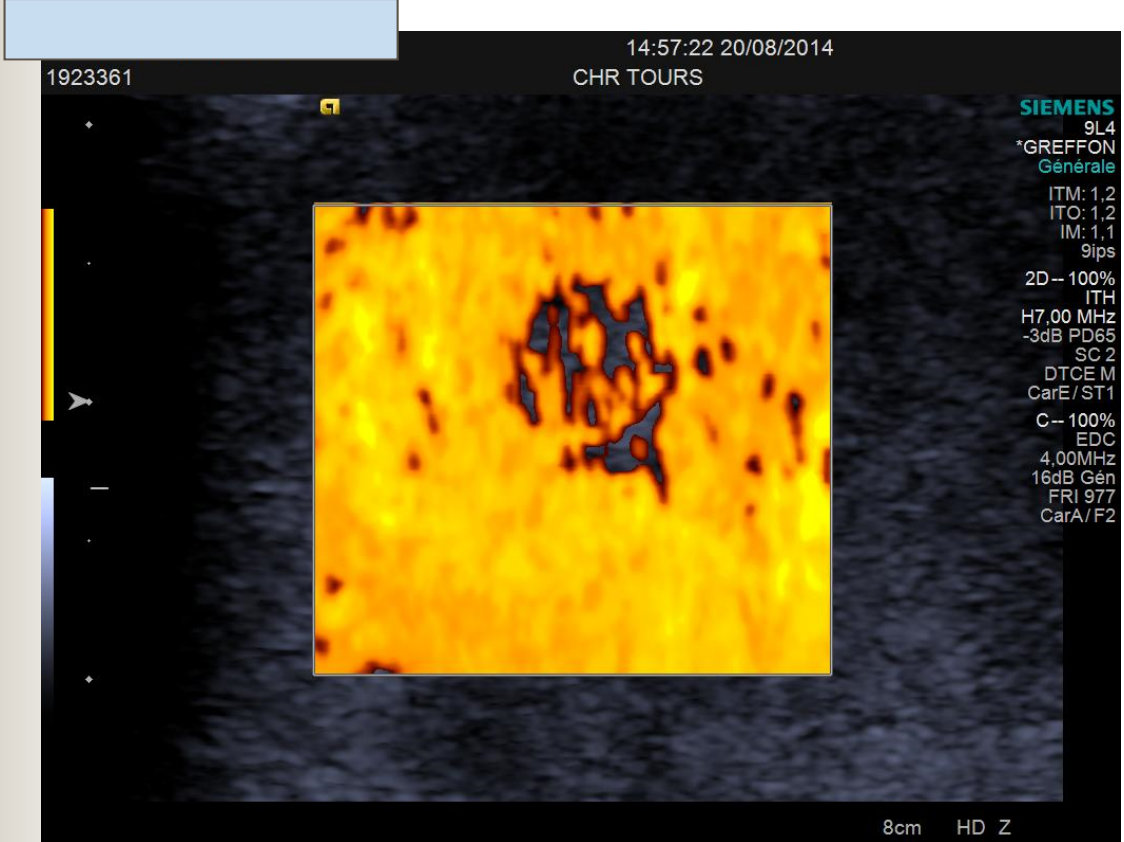
13dB Gén

FRI 977

CarA/ F2

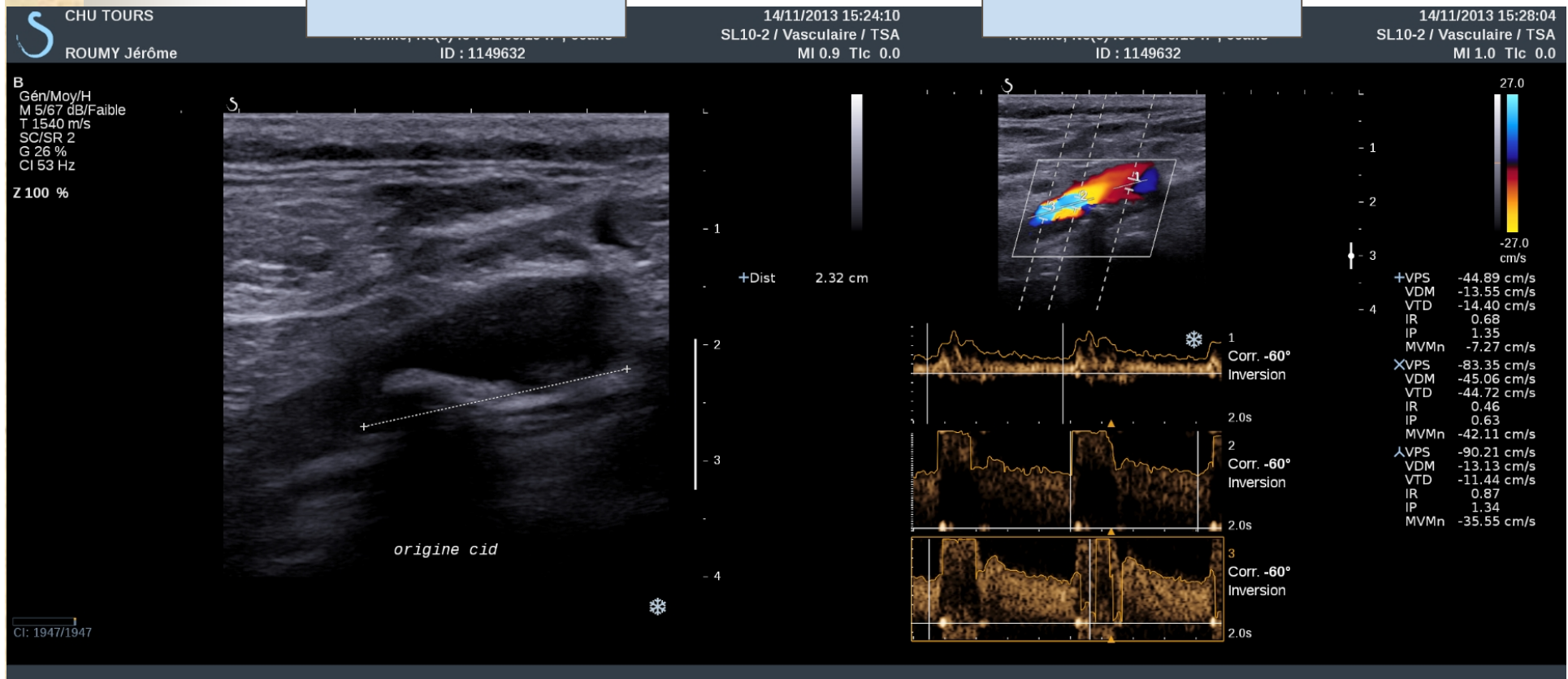


8cm HD Z



# Doppler Ultrafast®

- Disponible sur SSI Aixplorer®
- Permet a posteriori de traiter le signal doppler





# Ambiguïté fréquentielle

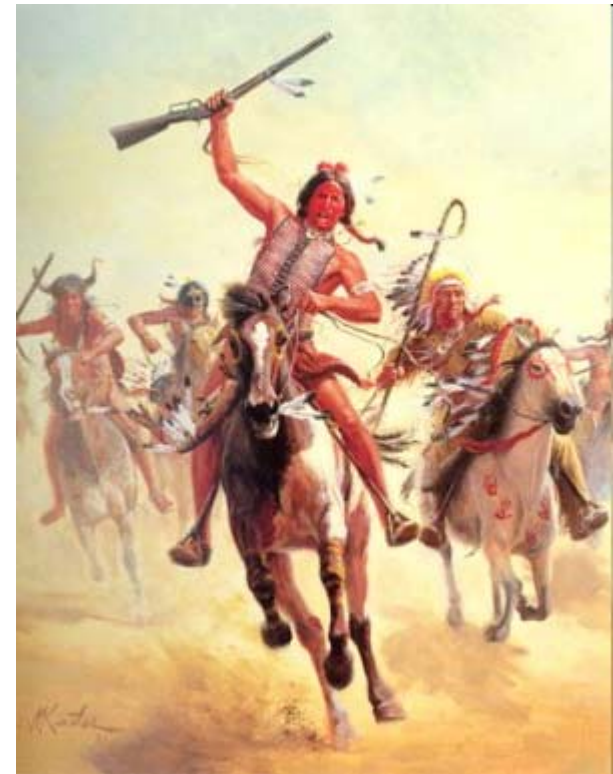
## ■ Théorème de Shannon : aliasing

- « pour échantillonner sans ambiguïté un signal fréquentiel, la fréquence d'échantillonnage (PRF) doit être au moins égale au double de celle du signal »
- $PRF = 2 \cdot \Delta F$

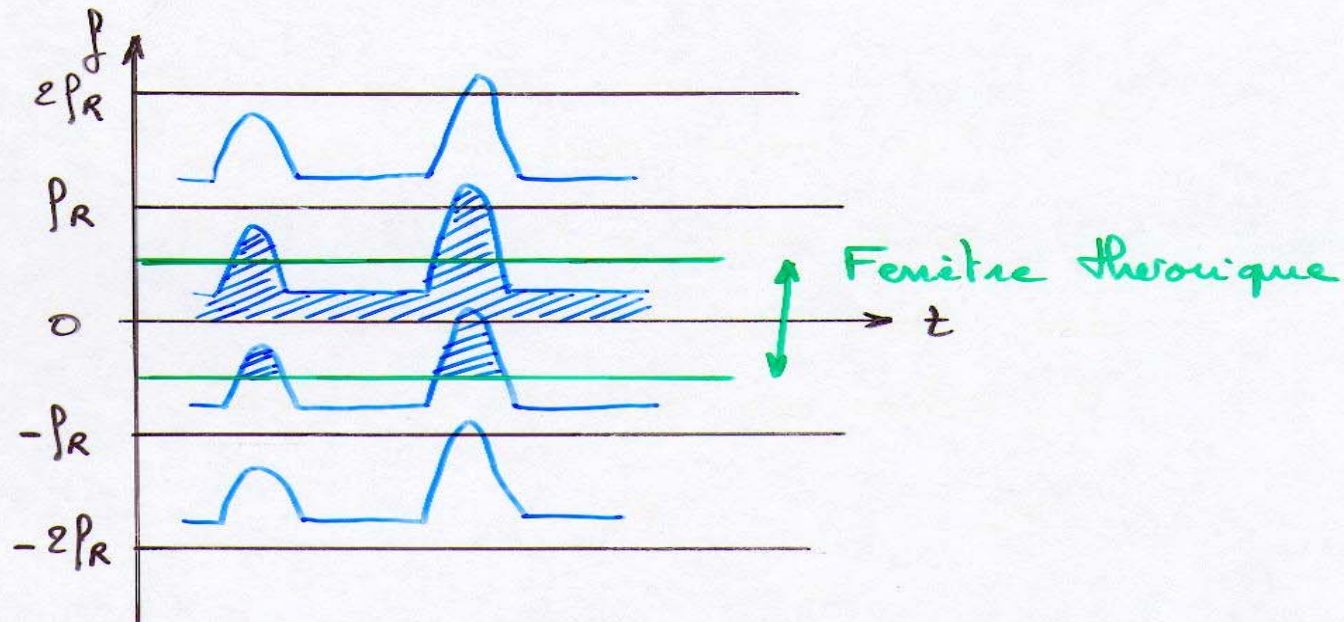
## ■ Fréquence de Nyquist :

- « fréquence maximale échantillonnable, ie la moitié de la PRF »
- ## ■ Etablissement des « limites » en terme de fréquence, vitesse et distance

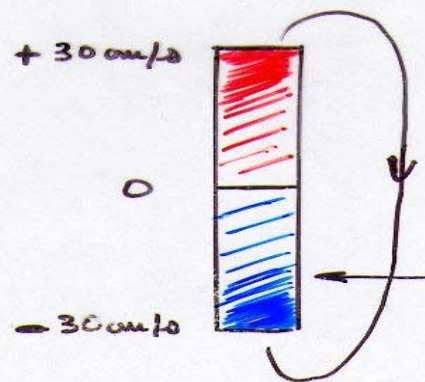
## Le chariot des pionniers, les indiens et l'aliasing...



L'aliasing entraîne des repliements de spectre.



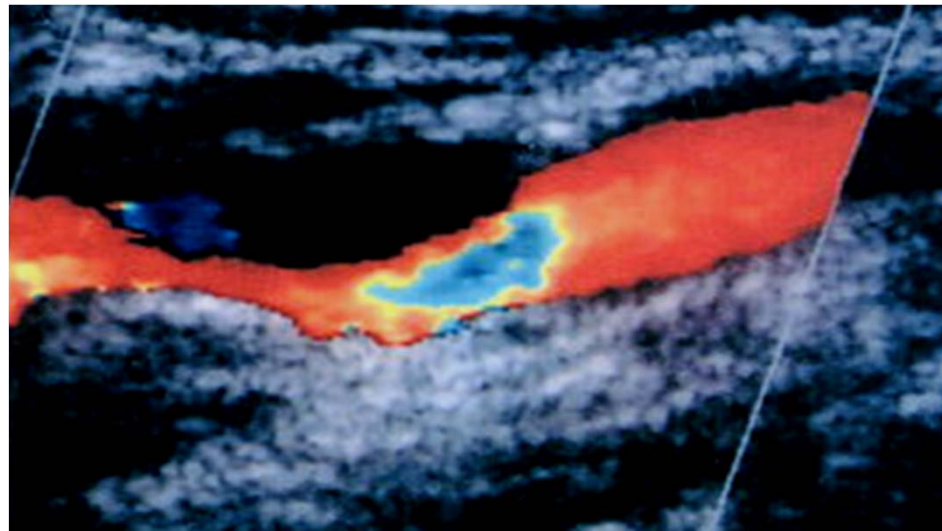
Em Doppler Couleur



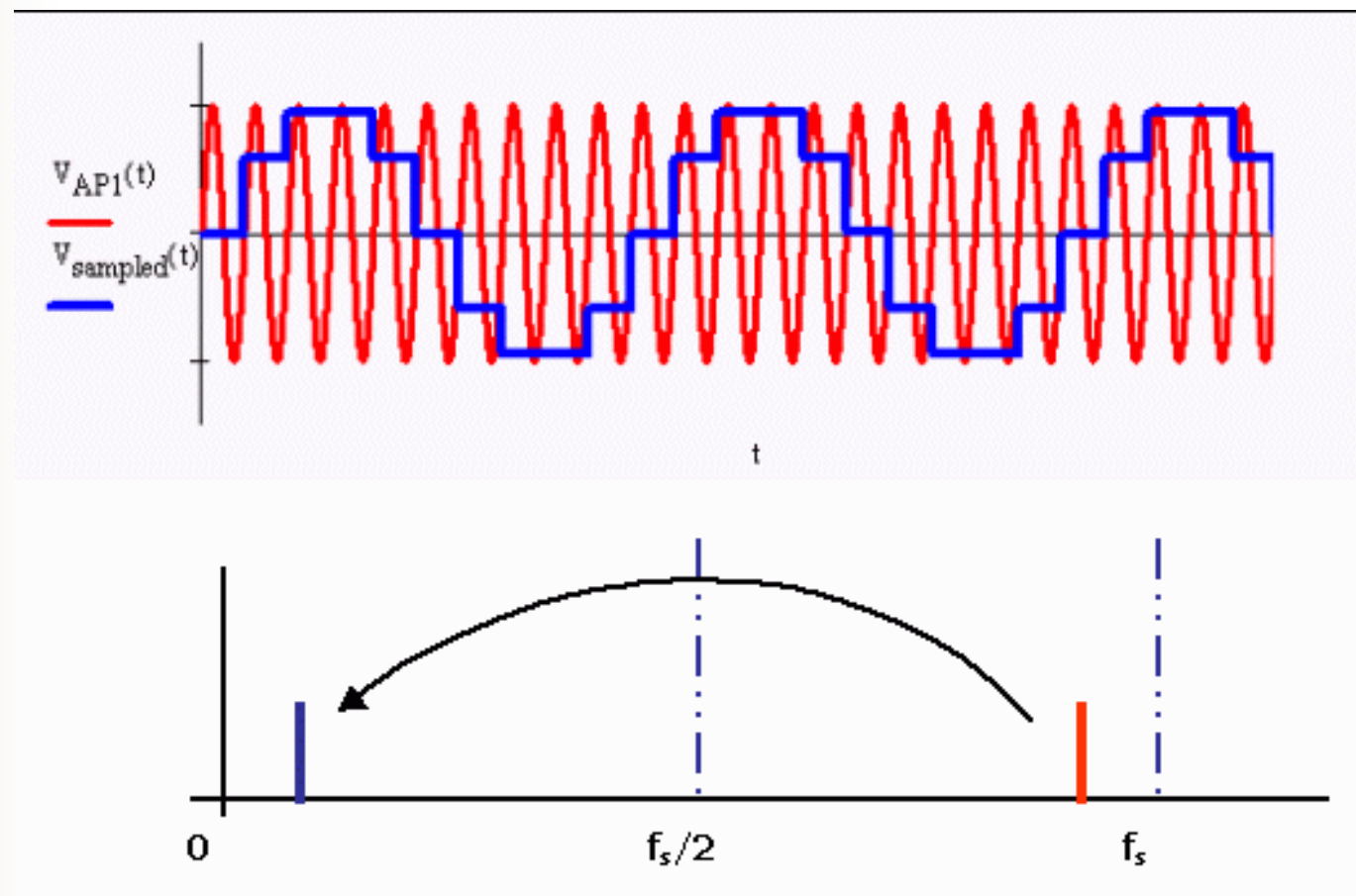
L'échelle devient circulaire  
 $\oplus 40 \text{ cm/s}$  dans le bleu

# Phénomène d'Aliasing en mode couleur

- En relation avec le théorème de Shannon
- Effet de la PRF en couleur



# ALIAS-ing : Explication



PHILIPS

0900146435

Philips Medical

02/09/2010

10:07:03

ITm0.9 IM 1.1

C5-2/Abd gén

CI 10Hz  
P1

2D  
51%  
C 55  
P Moy  
Gén

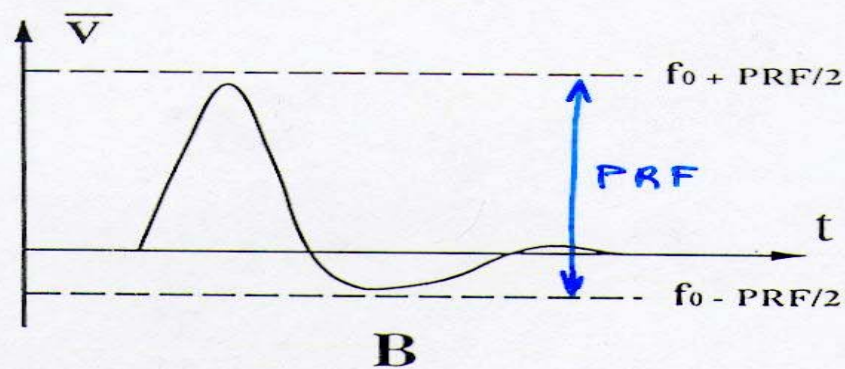
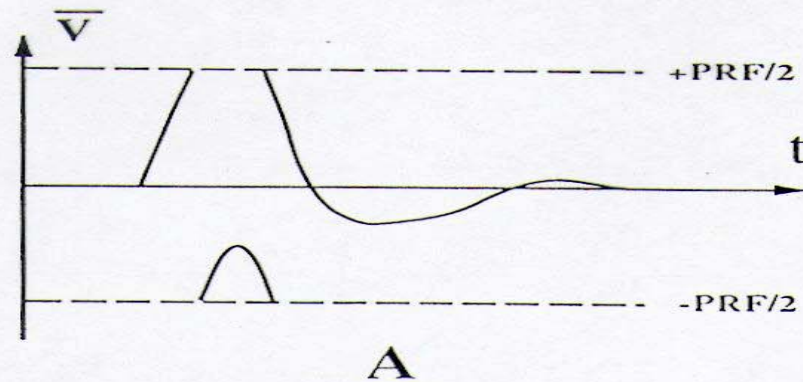
Couj  
72%  
1080Hz  
FP 70Hz  
Moy

Tc Porte

C2 C3  
+18.5  
-18.5  
cm/s

18

## Présentation des spectres



Décalage de la ligne de base  
( $\bar{V}=0$ )



# Le DOPPLER PULSE

## ■ Analyse spectrale

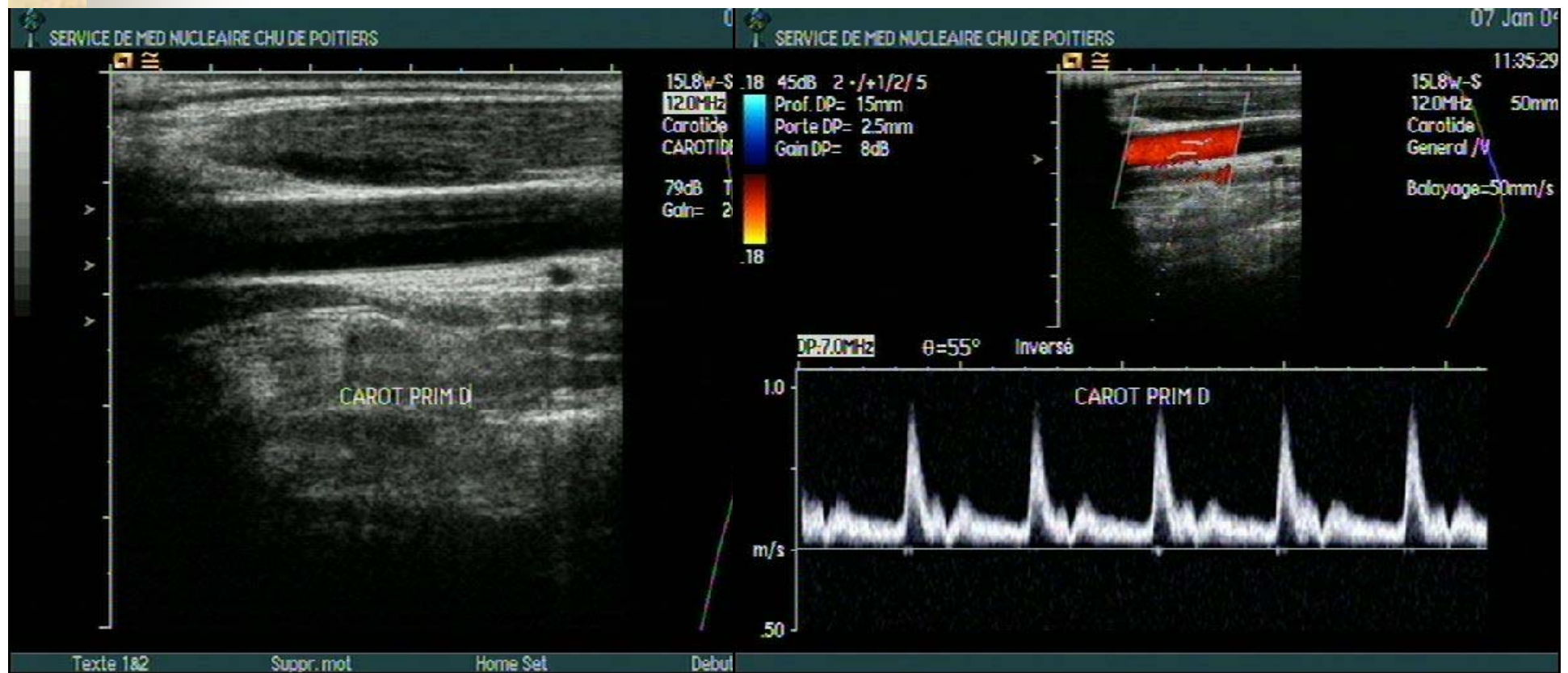
- détermination du spectre de fréquence en fonction du temps
- intérêt d'évaluer  $V$  (fonction du  $\cos\theta$ ), calculé automatiquement

## ■ Duplex et Triplex

- association de l'image bidimensionnelle, du doppler couleur et de l'analyse spectrale

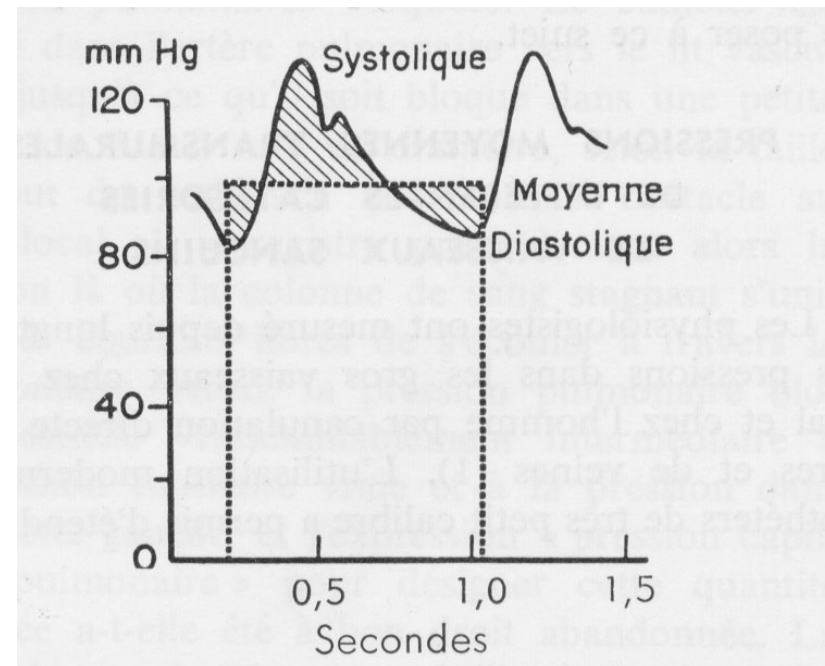
# LE DOPPLER

## ■ Le Triplex



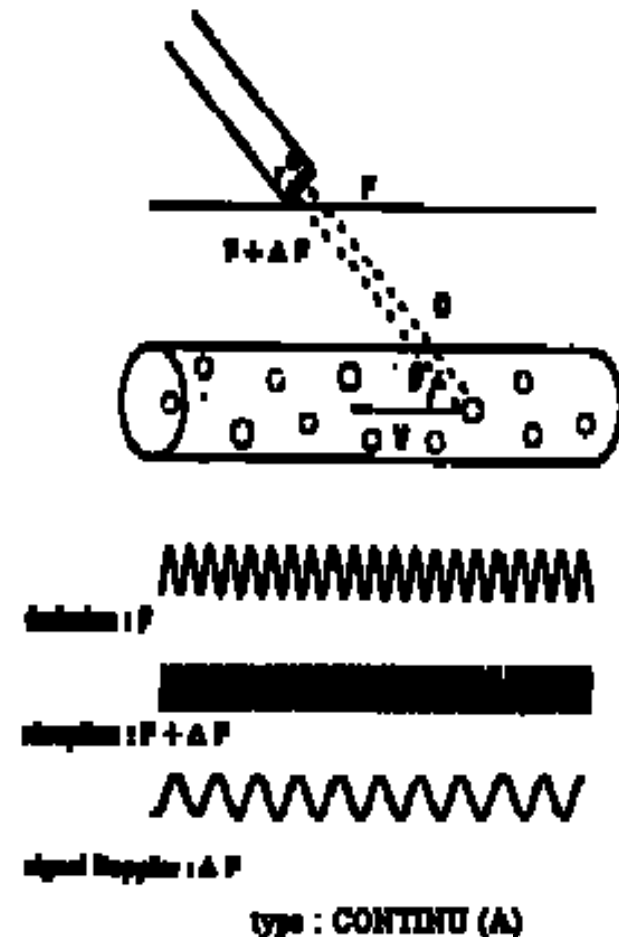
# LE DOPPLER

- Intérêt du Doppler
  - évaluation de la vitesse en fonction du temps
  - recherche des sténoses vasculaires
  - appréciation du retentissement hémodynamique



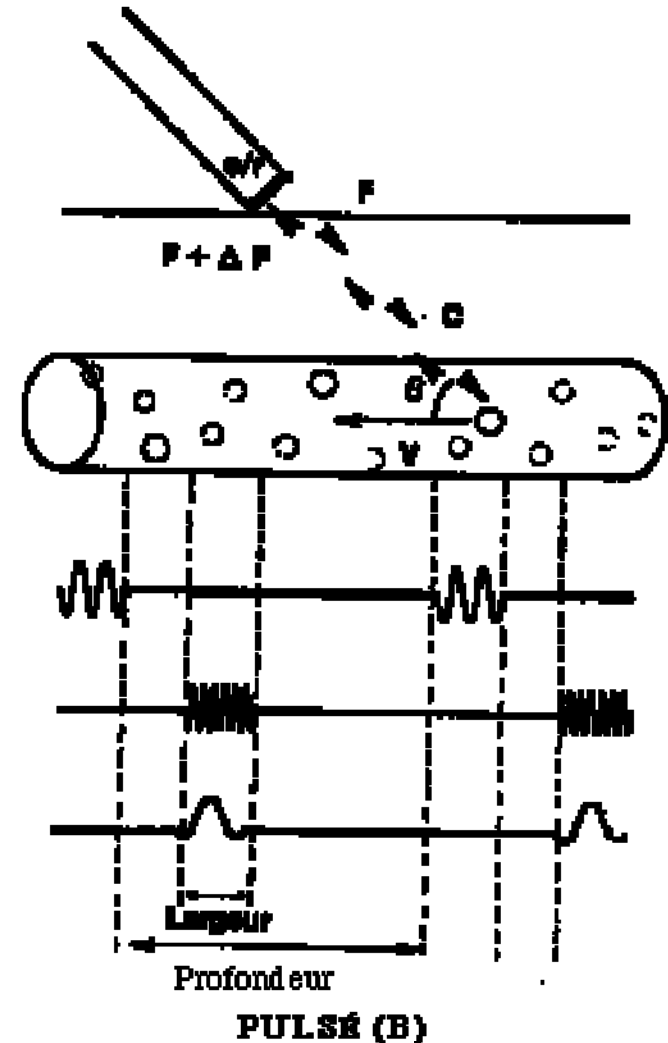
# Mode d'utilisation du Doppler

- Le Doppler continu CWD
  - 2 cristaux par capteur
    - Comparaison de 2 F au démodulateur
    - Meilleure sensibilité
    - Absence de résolution spatiale
      - Pas de profondeur
      - Pas de taille porte/VE
  - $F$  = résultante des fréquences extraites du signal : moyenne des  $F$  de l'E des vx traversés



# Mode d'utilisation Doppler

- Le Doppler pulsé PWD
  - Cristal unique : E/R
  - PRF
    - Profondeur du VE
    - Délai entre signal réfléchi et début fenêtre d'écoute
  - Taille du VE
    - Dépend du temps d'analyse du signal réfléchi = largeur FE





# Mode d'utilisation du Doppler

## ■ Le Doppler pulsé

### ■ La PRF

- Est déterminée par la profondeur d'exploration
- Profondeur → PRF basse
- Flux lents :  $700 < PRF < 800$  Hz
- Flux rapides :  $2000 < PRF < 4000$  Hz

### ■ Avantages

- bonne résolution spatiale → profondeur
- Moins bonne résolution axiale (impulsion longue)
- Résolution latérale → focalisation

### ■ Inconvénients

- Faible sensibilité pour flux lents
- Risque d'ambiguïté en fréquence → aliasing



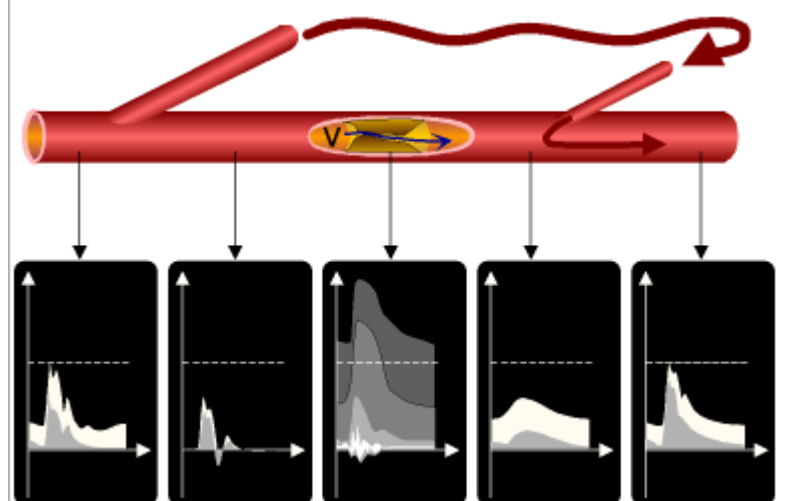
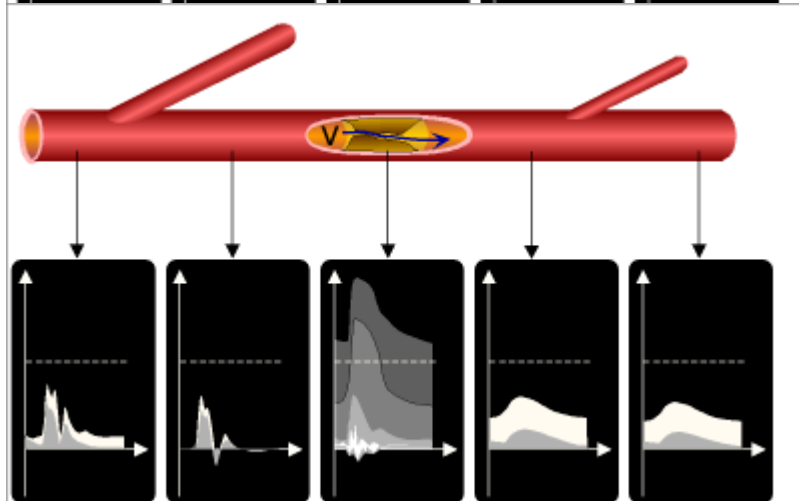
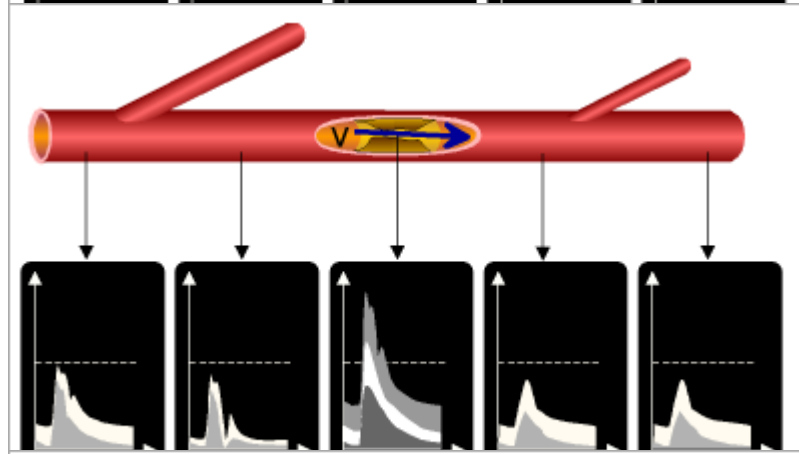
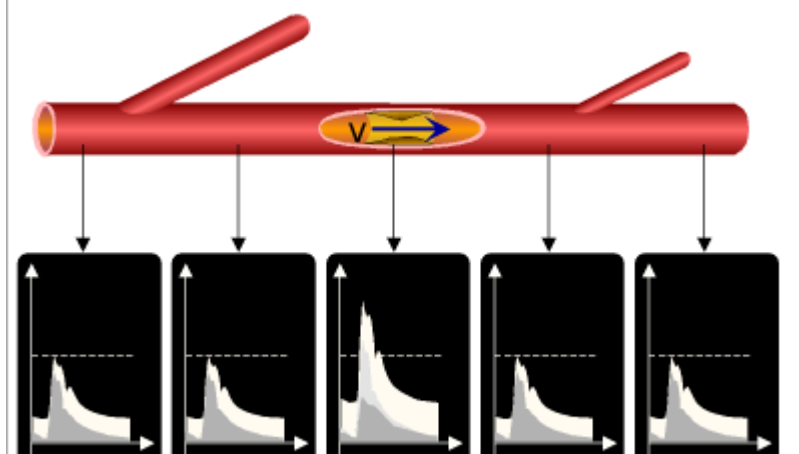
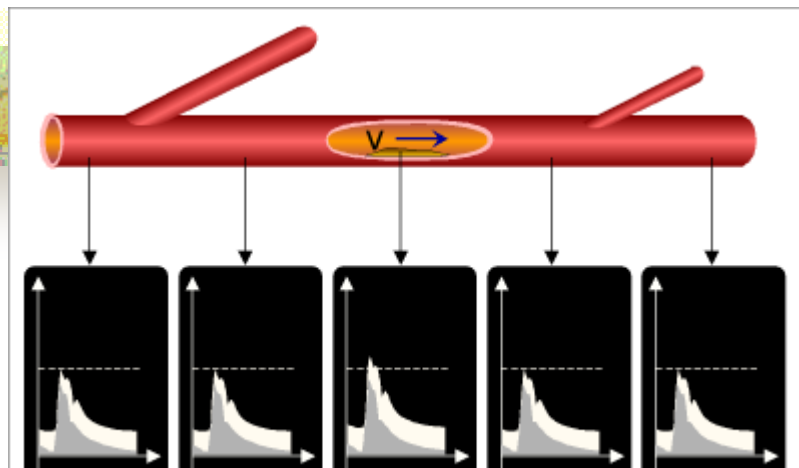
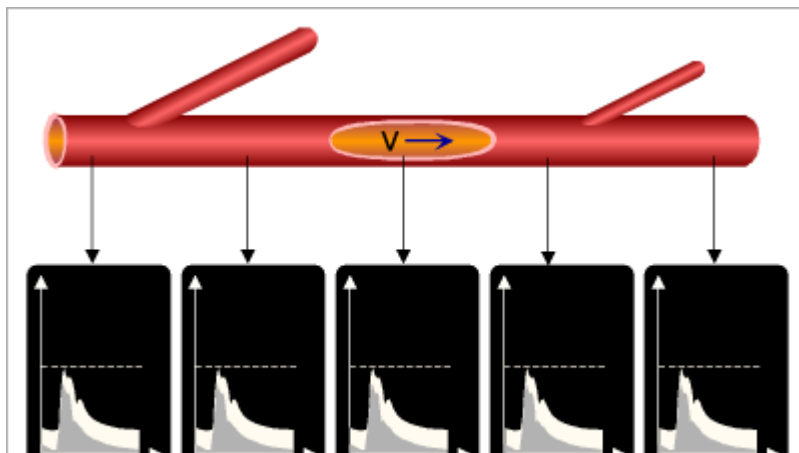
# Plan

- Rappel physiologique
- Hémodynamique
- Propriétés physiques des vaisseaux
- Ecoulements circulatoires
- Analyse spectrale
- L'effet Doppler
- Différents modes doppler
- **Interprétation des signaux doppler**
- Pièges et artéfacts en mode Doppler



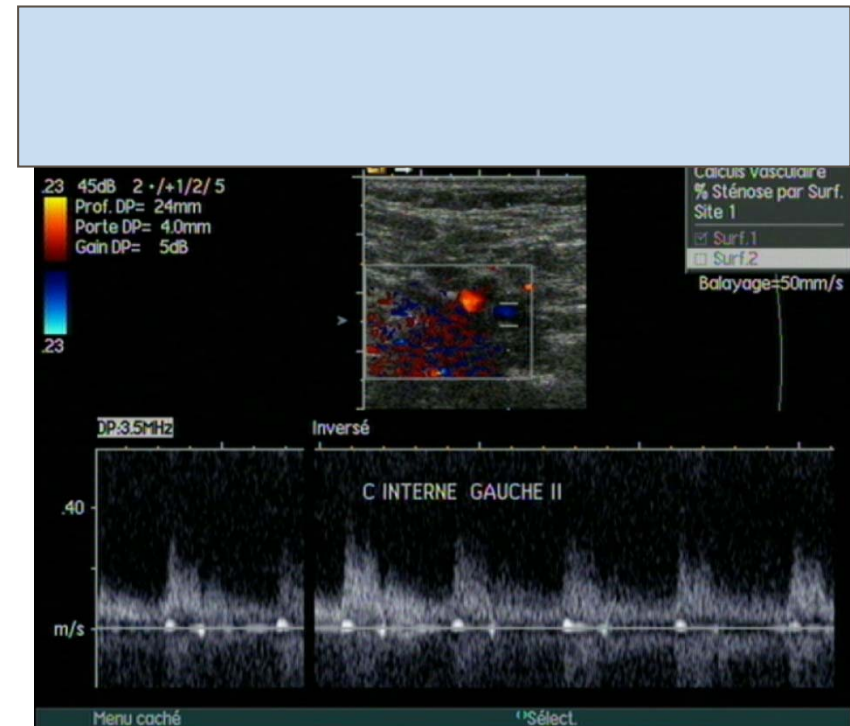
## Les sténoses vasculaires

- Intérêt de la mesure des vitesses pour évaluation du degré de sténose
  - Indicateur qualitatif et semi-quantitatif
  - Devant être regroupé avec d'autres paramètres hémodynamiques
  - L'analyse des spectres ne se limite pas à la mesure des  $V_{max}$ ..!!



# LE DOPPLER

- Les sténoses vasculaires
  - réduction du chenal circulant
  - visualisation du profil d'écoulement
  - retentissement en aval

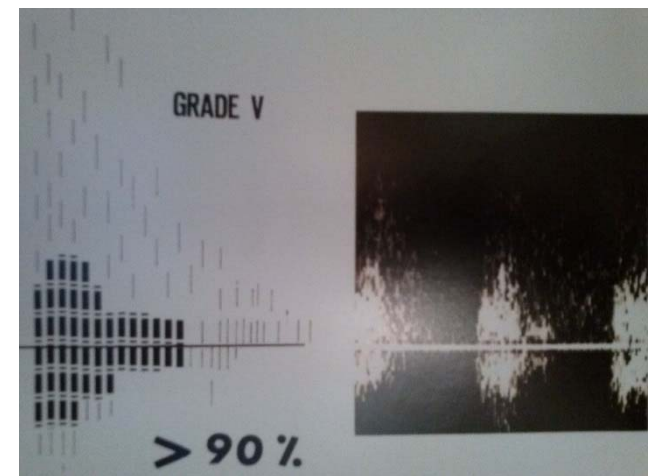
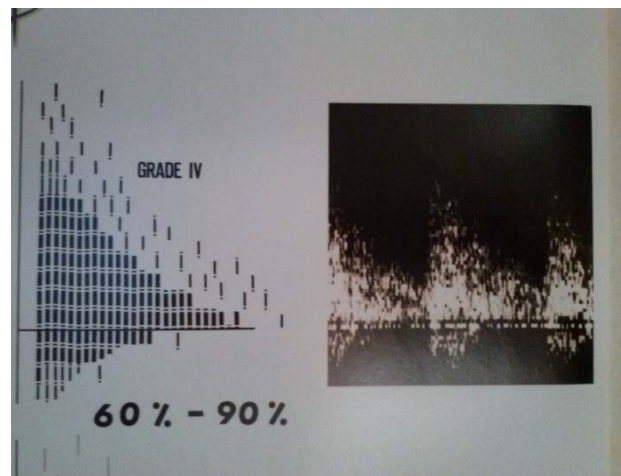
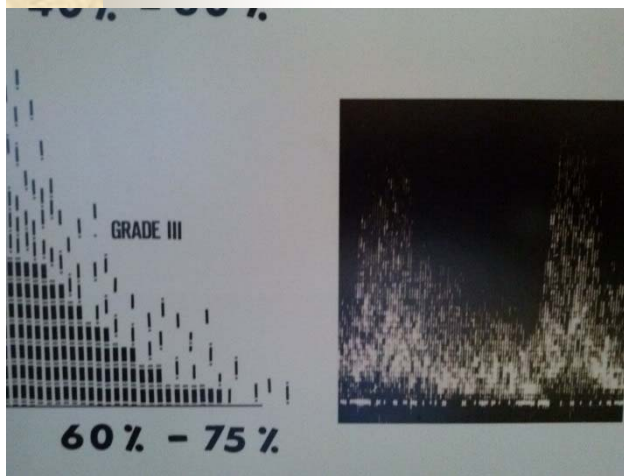
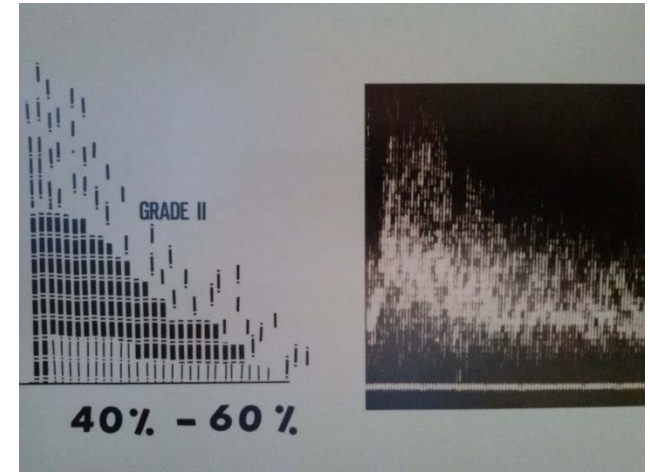
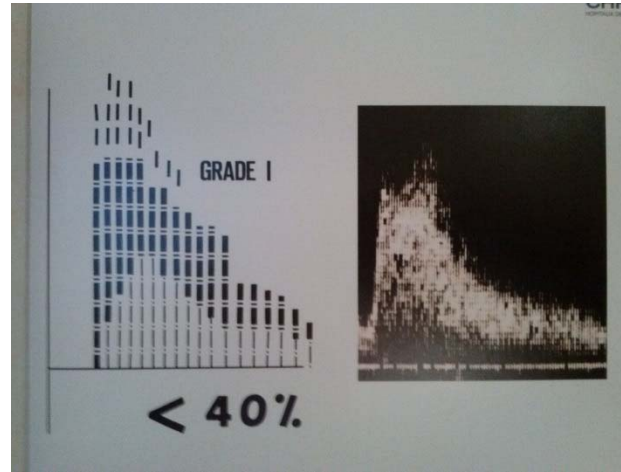
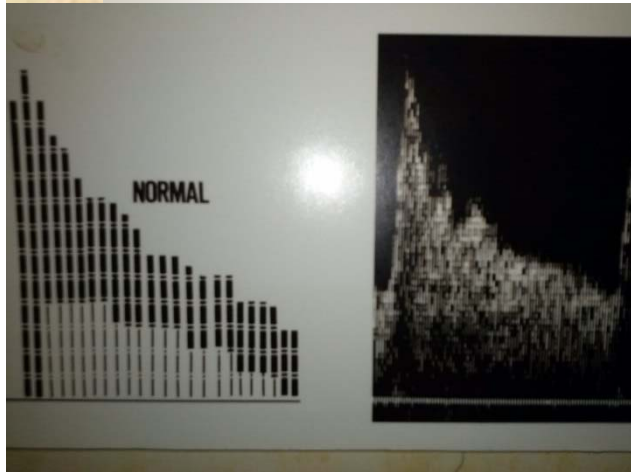


# LE DOPPLER : données hémodynamiques

- Données de l'analyse spectrale
  - détermination des grades hémodynamiques
  - appréciation du d° de sténose

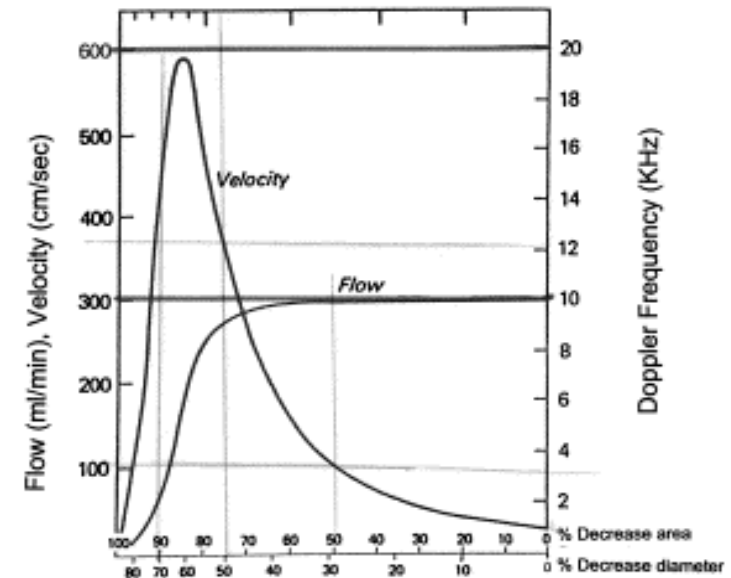
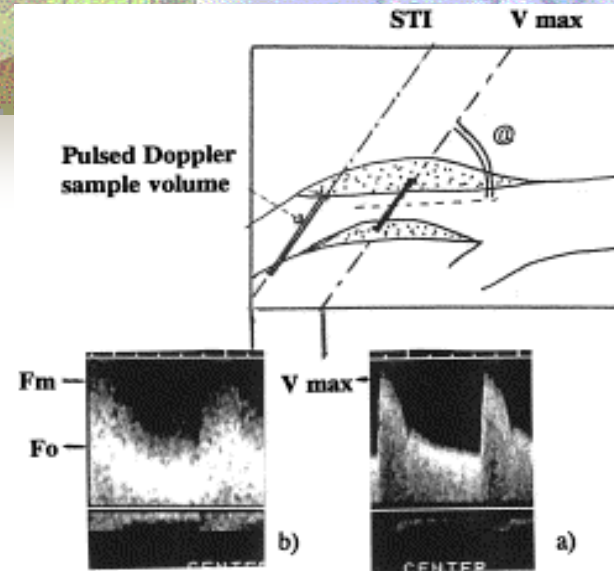


# Les différents grades de sténose

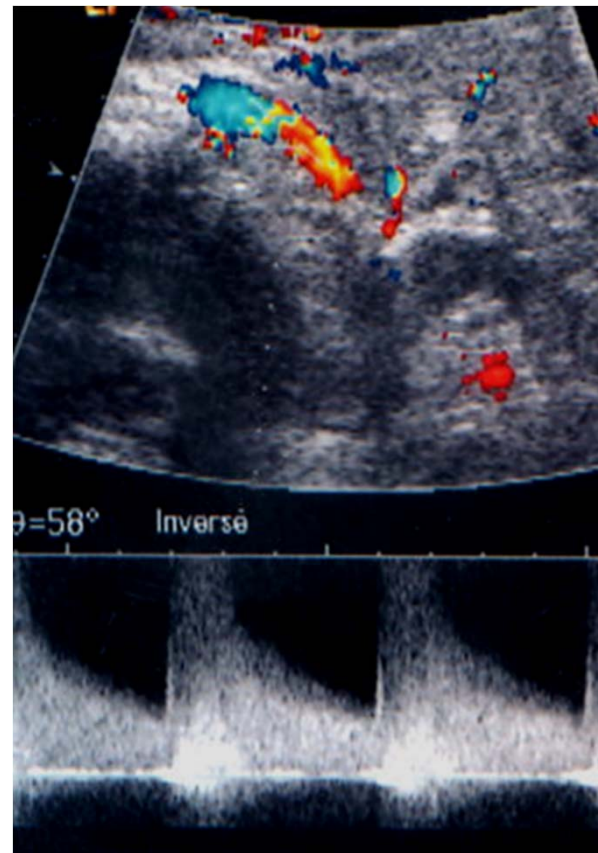
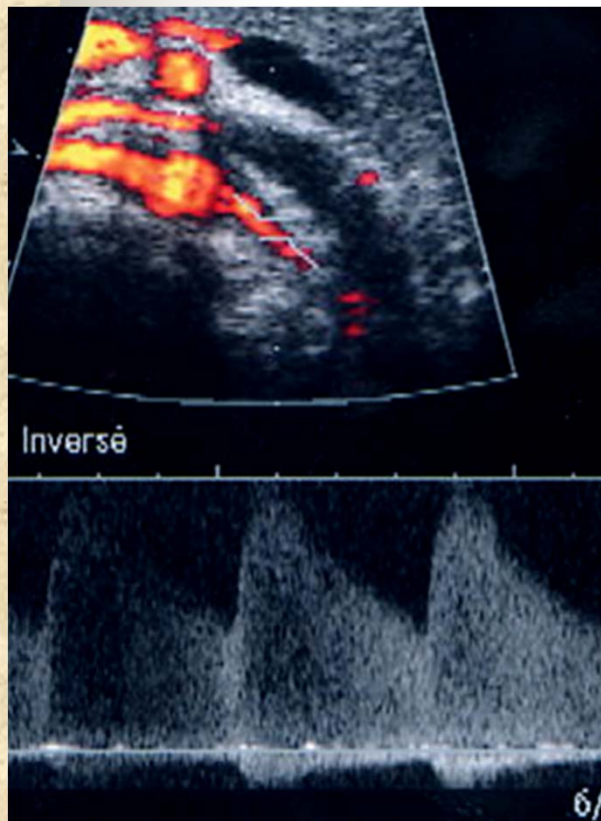


# LE DOPPLER

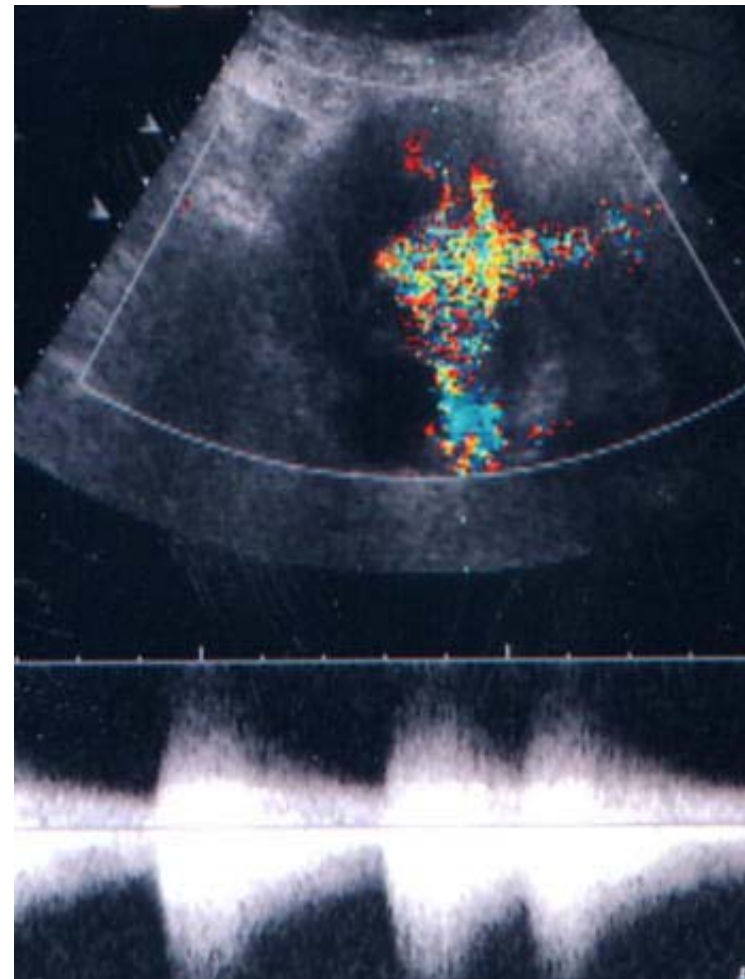
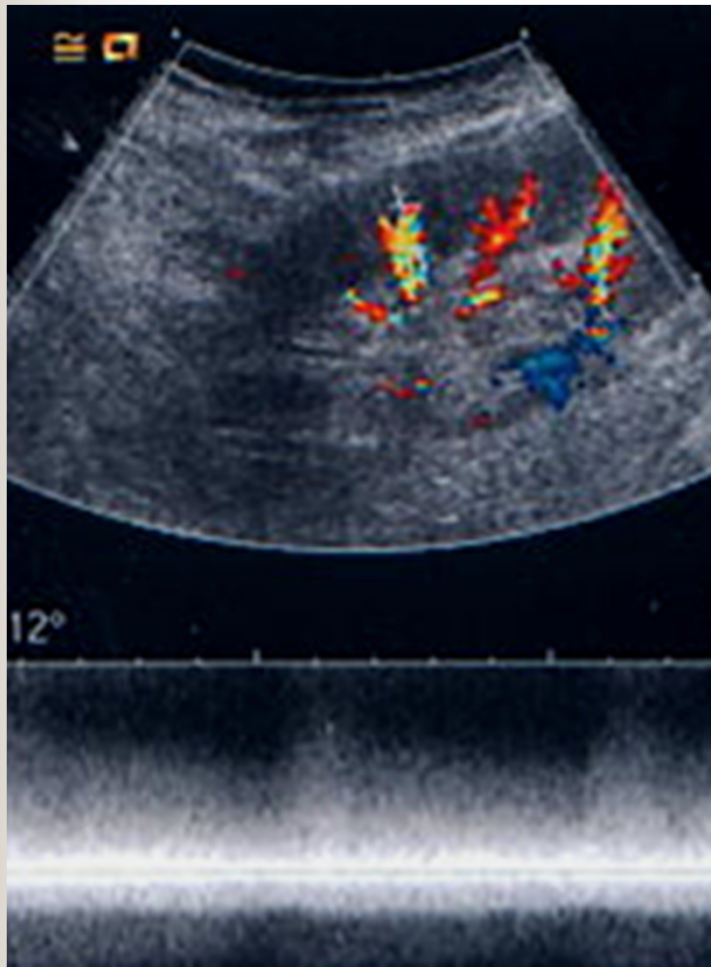
- Analyse hémodynamique d'une sténose artérielle



## ALTERATIONS DU PROFIL DE L'ÉCOULEMENT

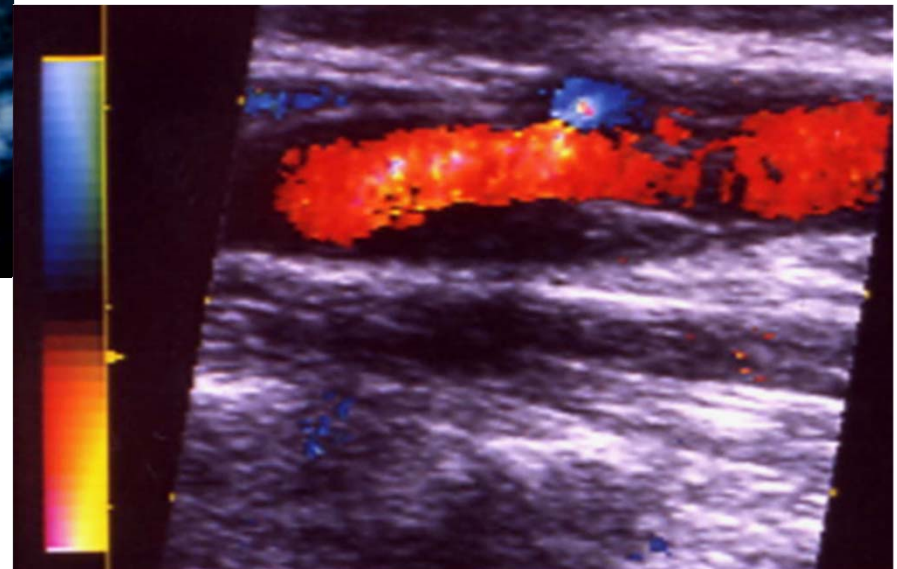
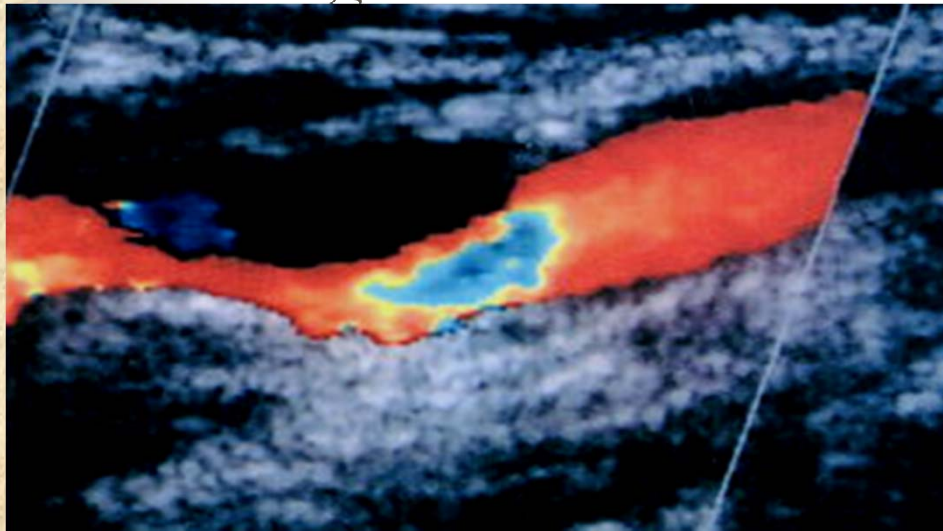


## ALTERATIONS DU PROFIL DE L'ÉCOULEMENT



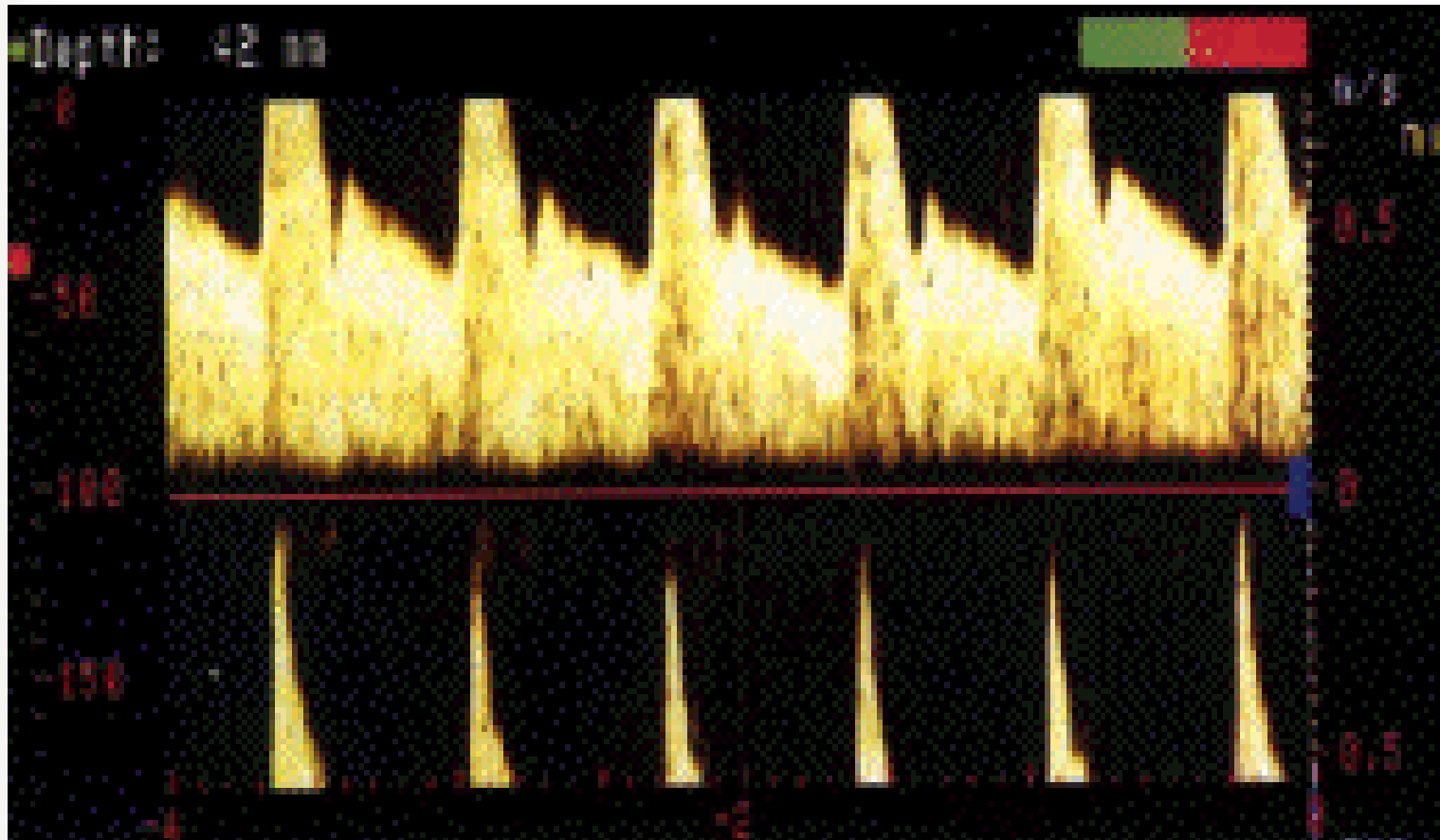
## ALTERATIONS DU PROFIL DE L'ÉCOULEMENT

- En DC: non visible, en dehors des flux rétrogrades



# Phénomène d'Aliasing en mode PWD

- En relation avec le théorème de Shannon
- Effet de la PRF en doppler pulsé





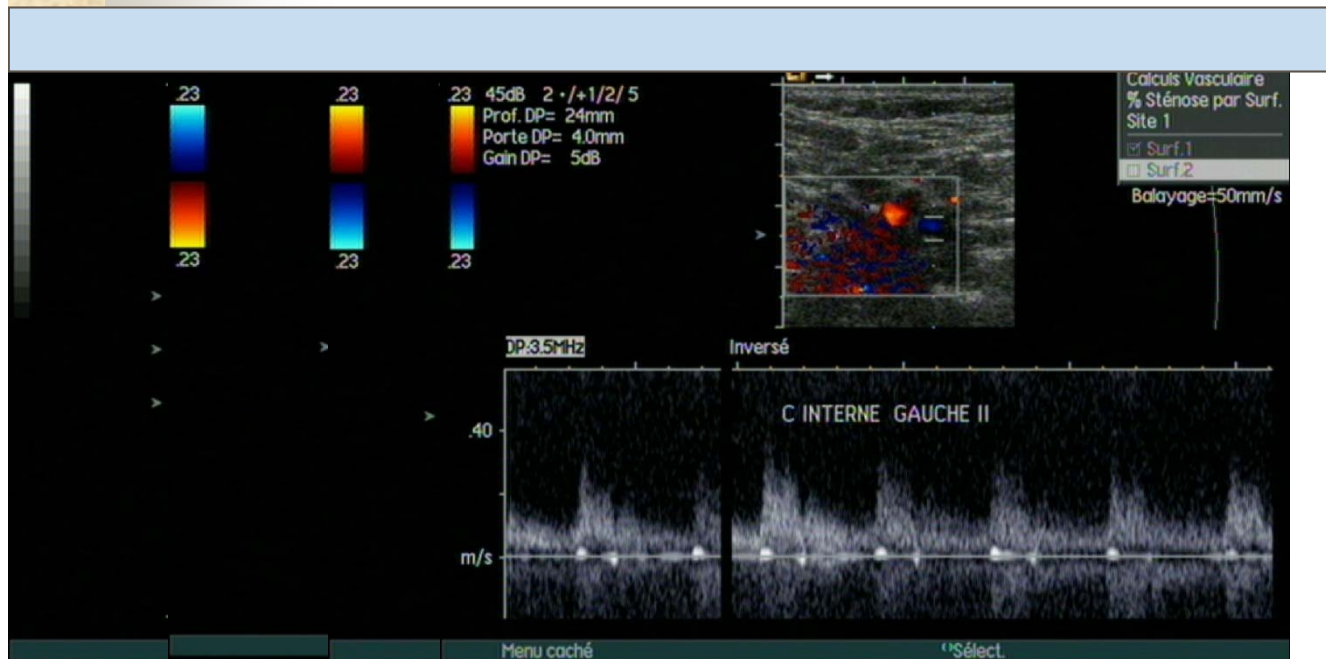
# Les conséquences d'une sténose artérielle

## ■ Signes directs

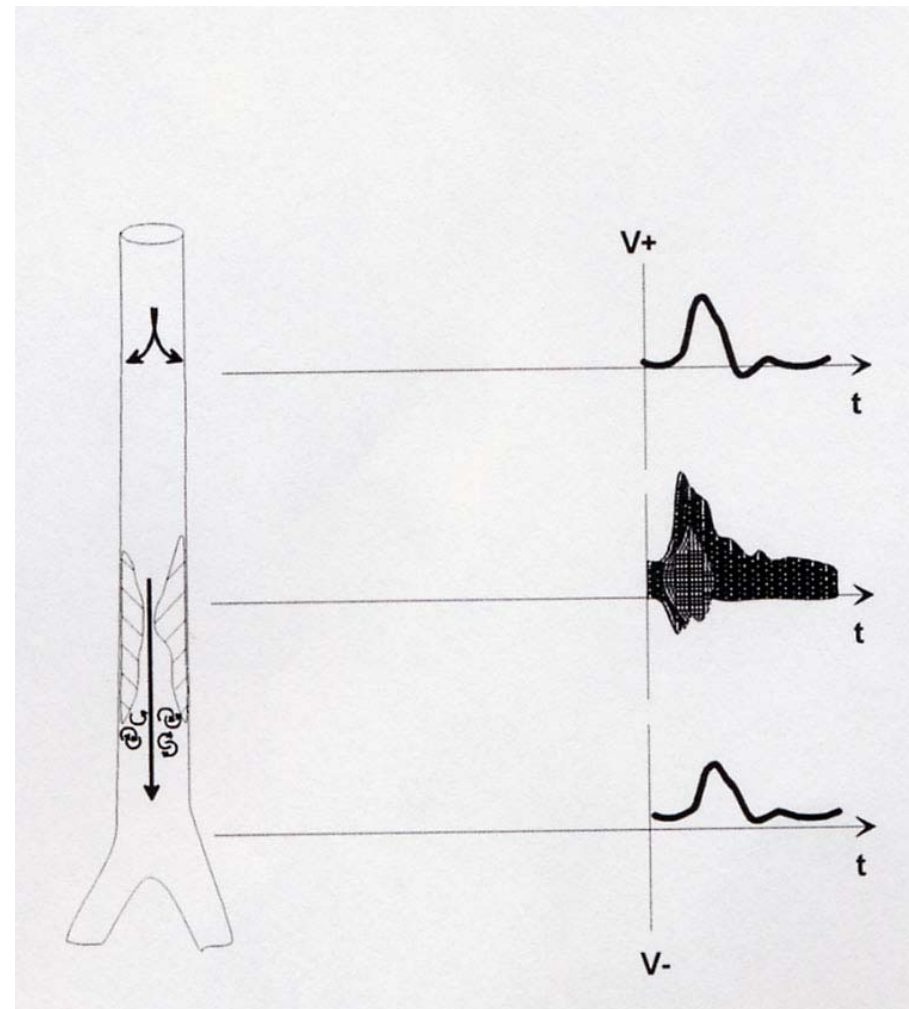
- Visualisation de la réduction du chenal
  - Longueur de la sténose (mesure de plaque)
  - % en réduction de diamètre
  - % en réduction de surface
  - Augmentation des VS au centre de la sténose
  - Apparition de turbulences en sortie de sténose
    - Grade hémodynamique
    - quantification

# Les conséquences d'une sténose artérielle

- Signes directs au niveau de la sténose



# Les conséquences d'une sténose artérielle





# Les conséquences d'une sténose artérielle

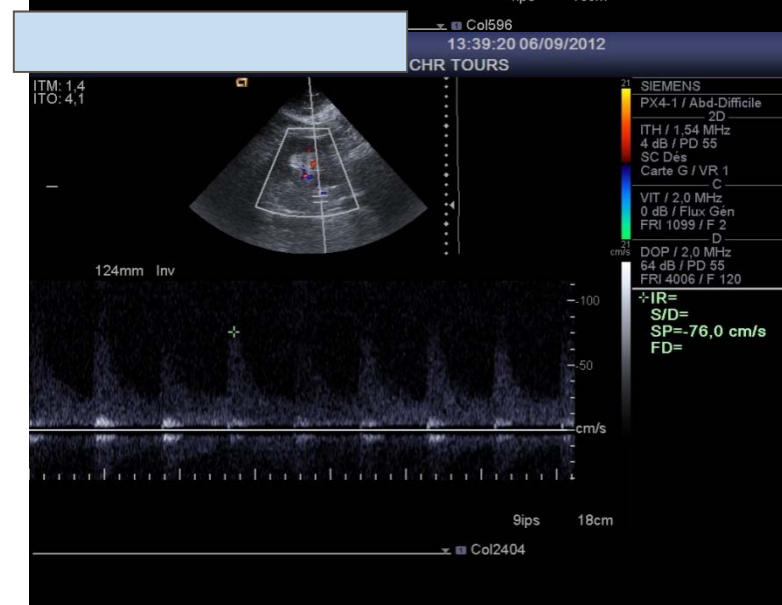
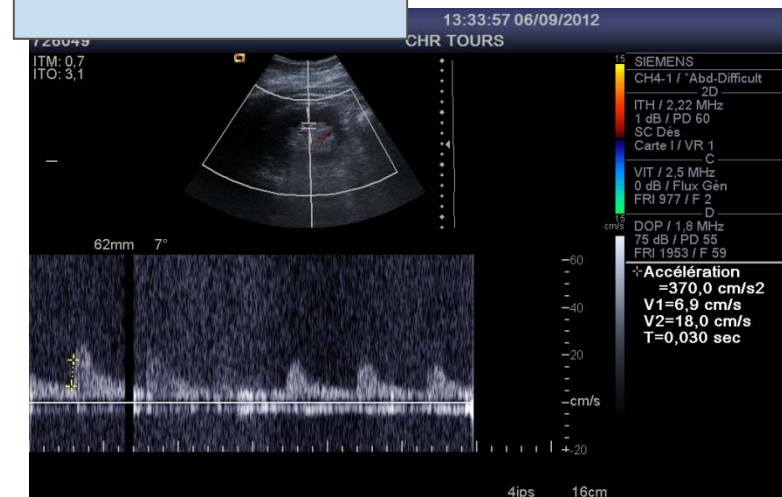
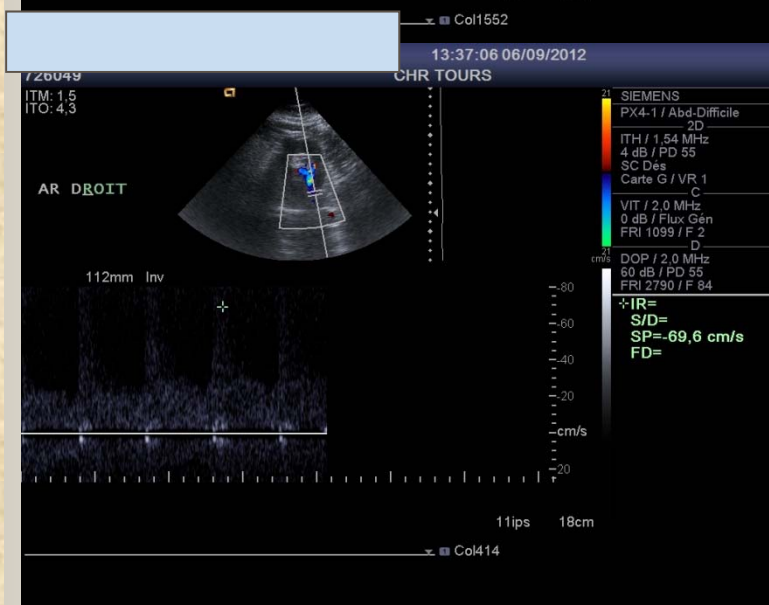
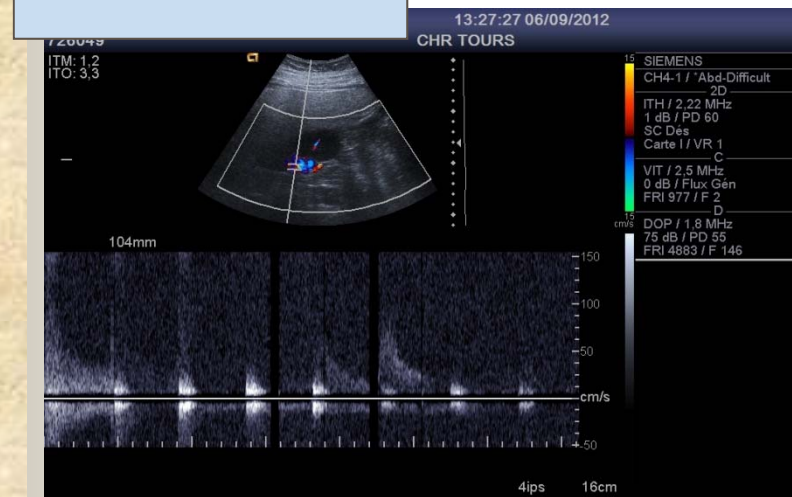
- Signes indirects d'aval
  - Démodulation des courbes vélocimétriques
    - Disparition du reflux proto-diastolique
    - Élargissement de la base du spectre
    - Augmentation du TMS
    - Baisse des VS
    - IR abaissé ( $\rightarrow V/D^\circ$  artériolaire)
    - IPS spontanés abaissés  $<0.85$
    - IPS effondrés à l'effort  $<0.50$

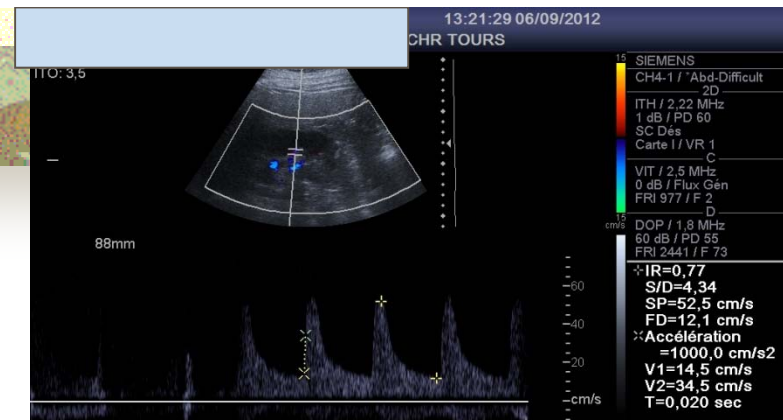
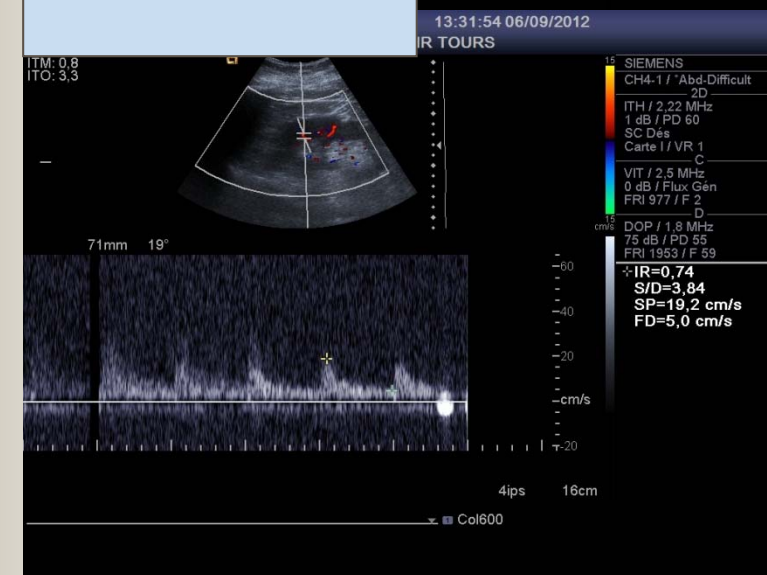
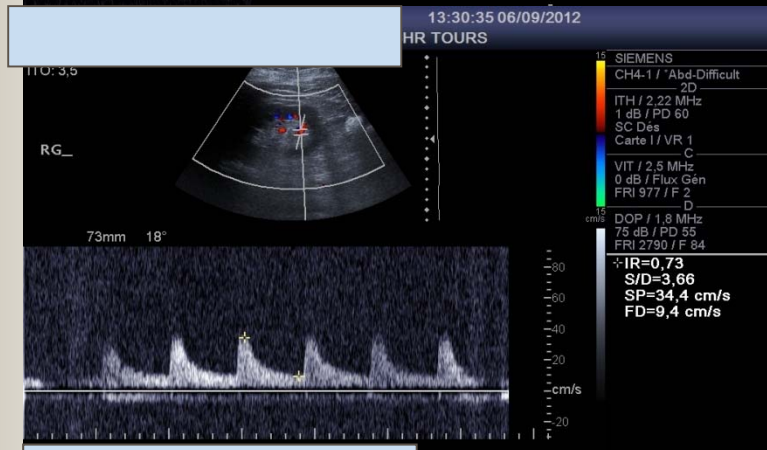
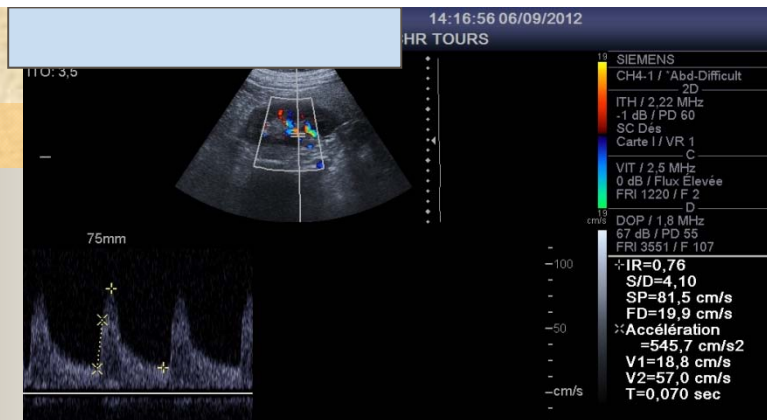


# Les conséquences d'une sténose artérielle

- Signes indirects d'aval
  - Apparition d'une circulation collatérale pour les membres
    - Pathognomonique d'une installation progressive
    - Illustrée par une circulation « anarchique »
    - Difficilement identifiable au Doppler couleur
  - Quid en intra-parenchymateux?
    - Altération du profil d'écoulement
    - De l'augmentation du TMS à la démodulation

# Les signes directs et indirects d'une sténose artérielle rénale



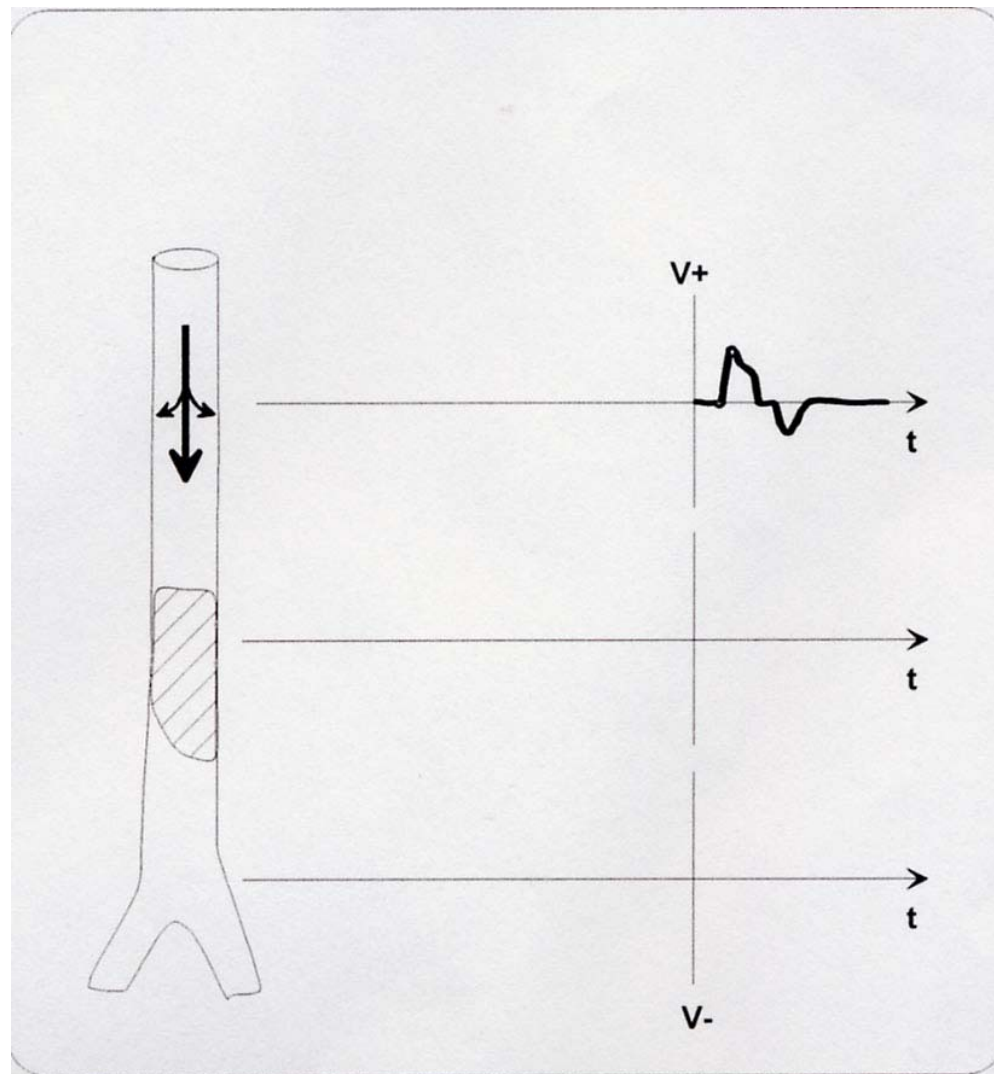




# Les conséquences d'une occlusion artérielle

- Signes directs d'occlusion
  - Morpho : matériel endoluminal
  - Signe essentiel = aucun signal couleur ou spectral
    - Attention aux faux positifs
      - PRF inadaptée
      - Fréquence d'émission trop élevée
      - Obstacle acoustique (plaque calcifiée)
    - Attention aux faux négatifs
      - Collatérale
      - Image en miroir

# Les conséquences d'une occlusion artérielle





# Les conséquences d'une occlusion artérielle

## ■ Signes d'amont

### ■ Retentissement hémodynamique

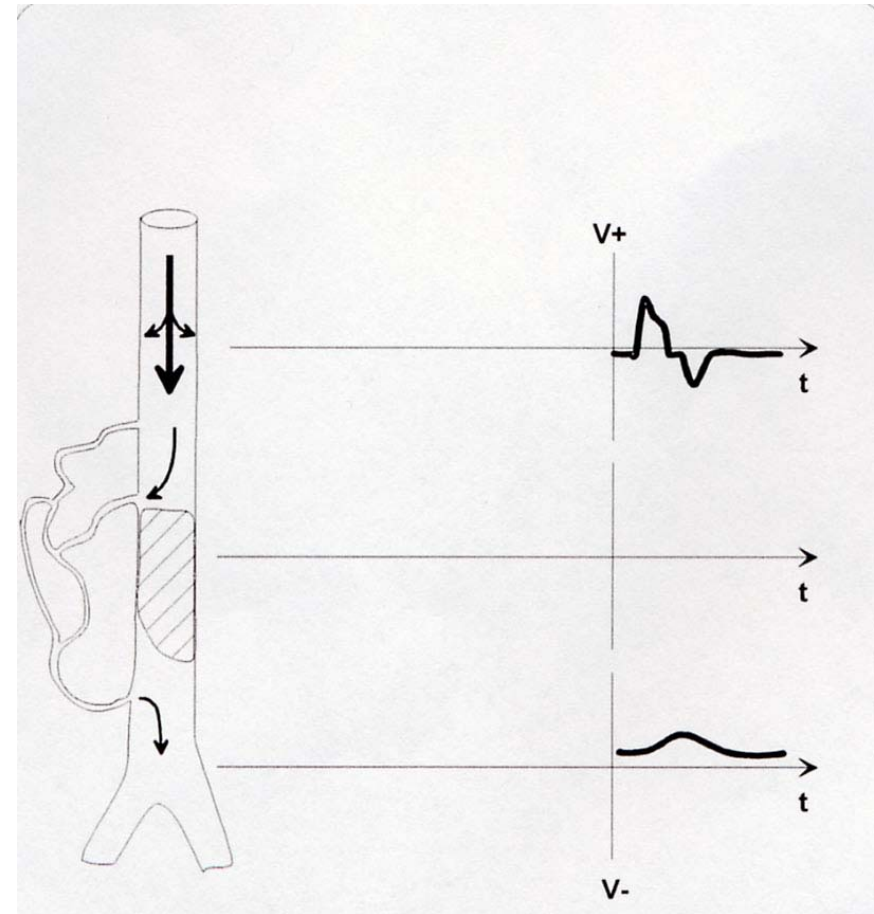
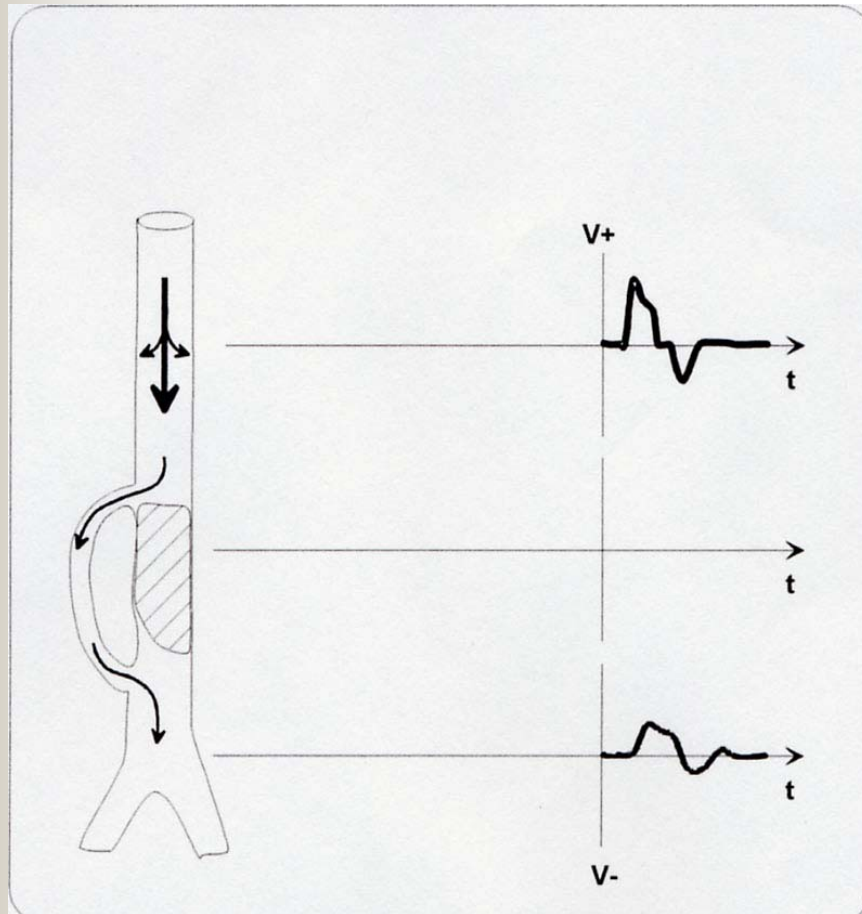
- Flux de « butée »
- Diminution des vitesses (inv prop distance occlusion)
- Augmentation des résistances circulatoires
  - Augmentation de l'IP
  - Apparition de la seule composante radiale = flux diphasique



# Les conséquences d'une occlusion artérielle

- Signes d'aval (signes hémodynamiques d'hypoperfusion)
  - Démodulation
  - Abaissement des IP
  - Effondrement des IR
- Apparition d'une circulation collatérale
  - Efficace si chronique
  - Médiocre si sub-aigue
  - Inexistante si aigue

# Les conséquences d'une occlusion artérielle





## Retentissement hémodynamique d'une sténose artérielle

- Signes évidents (cf. supra)
- Signes physiques
  - Le TMS (temps de montée systolique)
  - $< 70$  ms
  - Concerne le premier accident systolique
  - Correspond à la transmission de l'onde le long des parois des vaisseaux
  - Son absence ne signifie pas qu'il y a sténose



# Les shunts artério-veineux

## ■ Signes artériels

- Accélération des vitesses circulatoires sur tout l'axe afférent
- Altération du profil de l'écoulement
- Diminution des résistances, d'autant plus marquées qu'on se rapproche du shunt

## ■ Signes veineux

- Accélération des vitesses circulatoires
- Perte de la modulation respiratoire
- Modulation de type artérielle



## Plan

- Rappel physiologique
- Hémodynamique
- Propriétés physiques des vaisseaux
- Ecoulements circulatoires
- Analyse spectrale
- L'effet Doppler
- Différents modes doppler
- Interprétation des signaux doppler
- Pièges et artéfacts en mode Doppler



## Pièges et artéfacts en Doppler

- Double contrainte en doppler pulsé
  - La profondeur explorée limite la fréquence échantillonnage
  - La fréquence d'échantillonnage limite les hautes fréquences mesurables
- D'où : ambiguïté en vitesse pour les hautes vitesses d'écoulement



## Pièges et artéfacts en Doppler

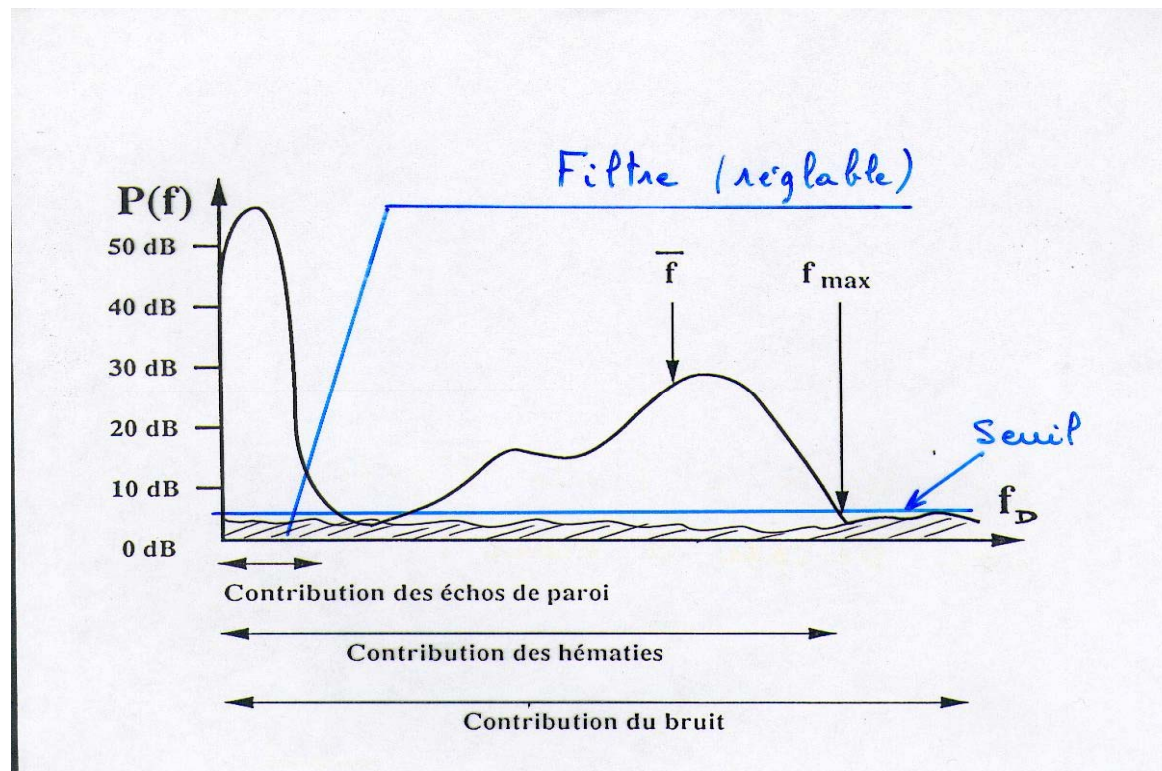
- Mais

- Le PWD permet de discriminer en profondeur
- Il donne la direction du flux et la vitesse du sang moyennée sur la fenêtre doppler
- En mode triplex est associé à l'imagerie et on peut alors connaître le débit de sang

- D'où sa complexité d'utilisation

# Pièges et artéfacts en Doppler

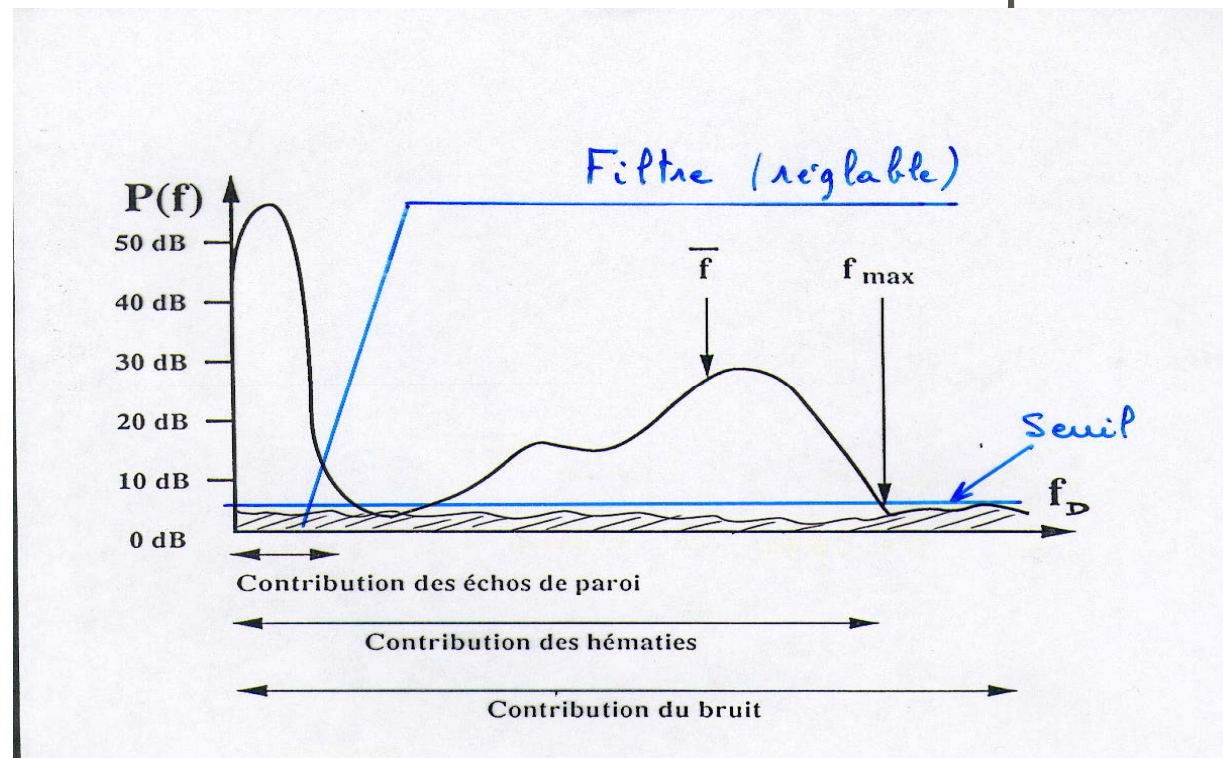
- Bruits de parois
  - Filtre haut : atténue les basses fréquences



# Pièges et artéfacts en Doppler

## ■ Bruits de parois

- Filtre bas : atténue les bruits de parois



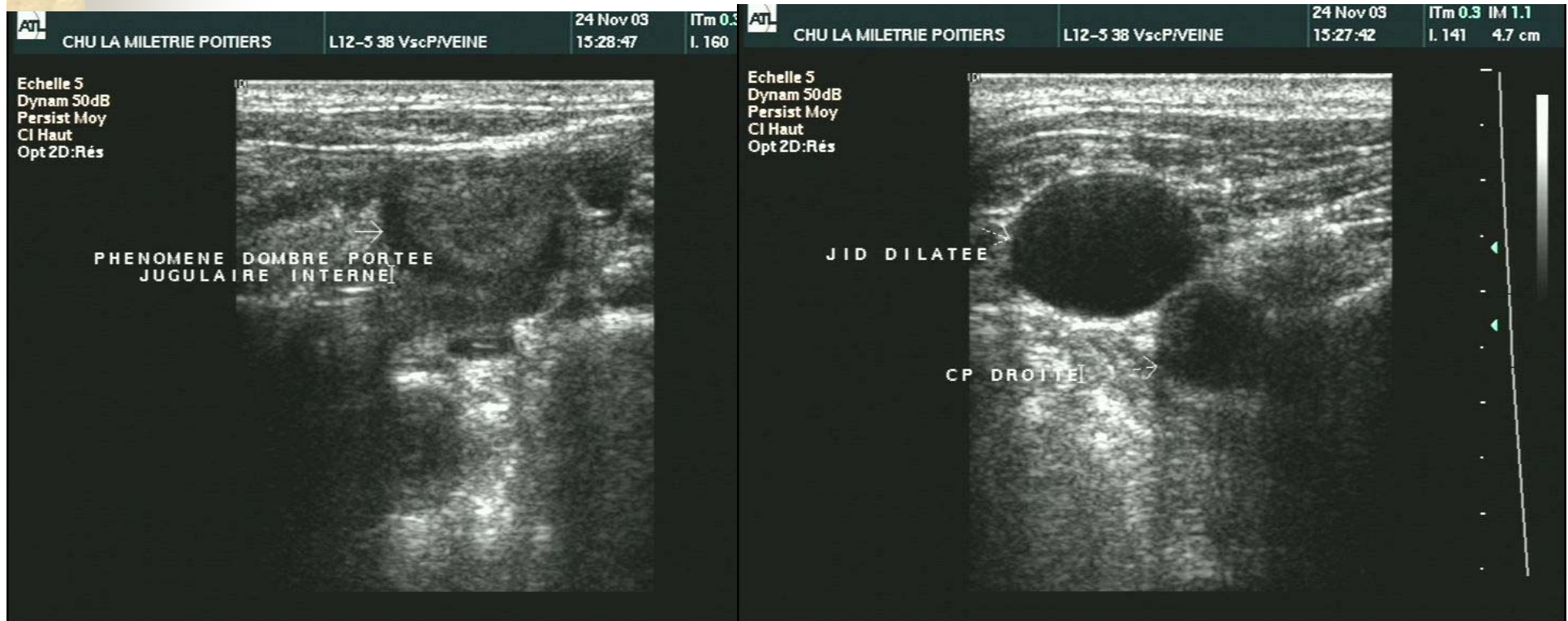
# Pièges et artéfacts : l'ombre portée

- Phénomène physique de l'ombre
  - Partie non éclairée = ombre propre
  - Partie en arrière de l'objet = zone d'ombre
  - Ombre qui se projette sur un plan = ombre portée

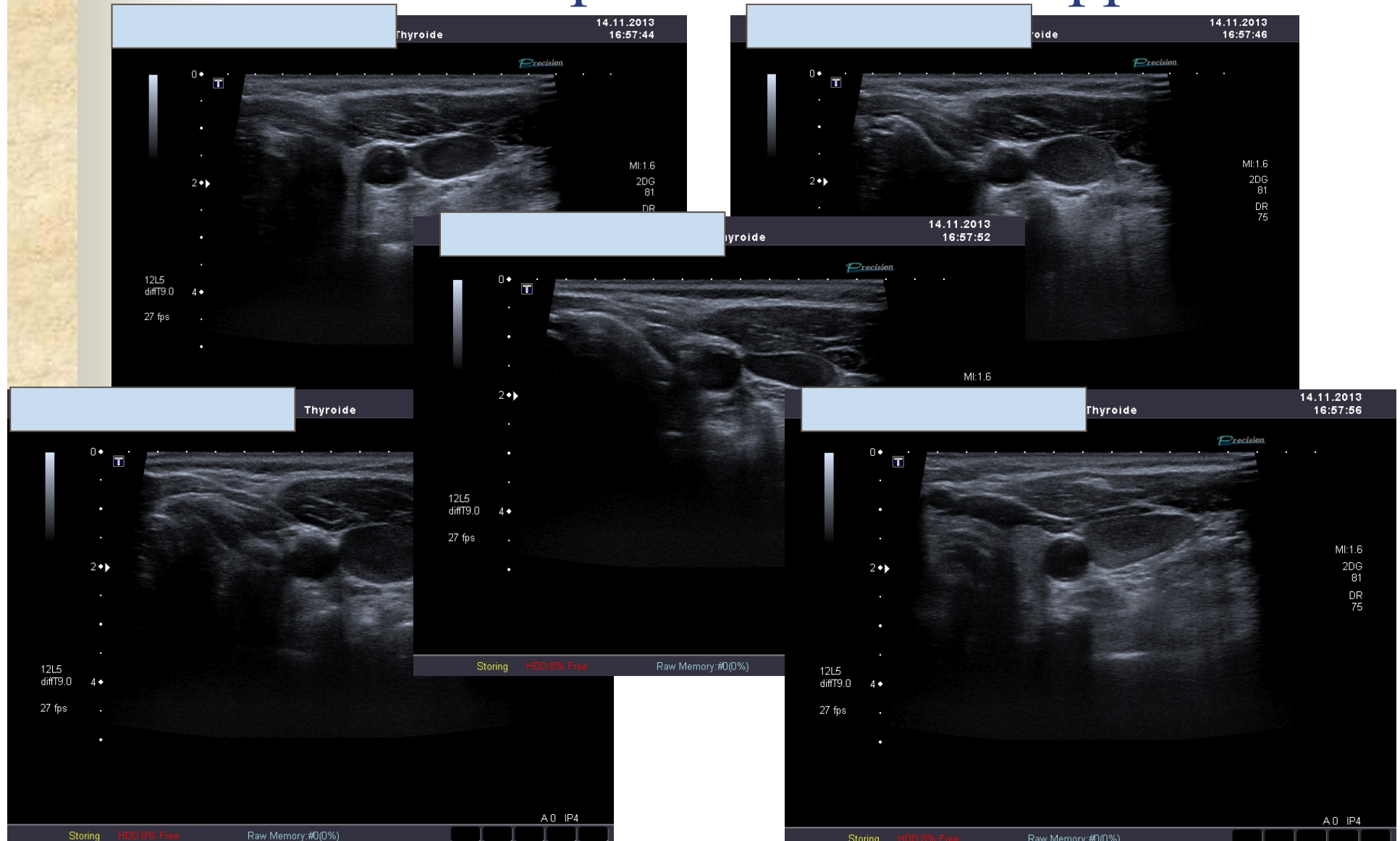


# L'ombre portée en échographie

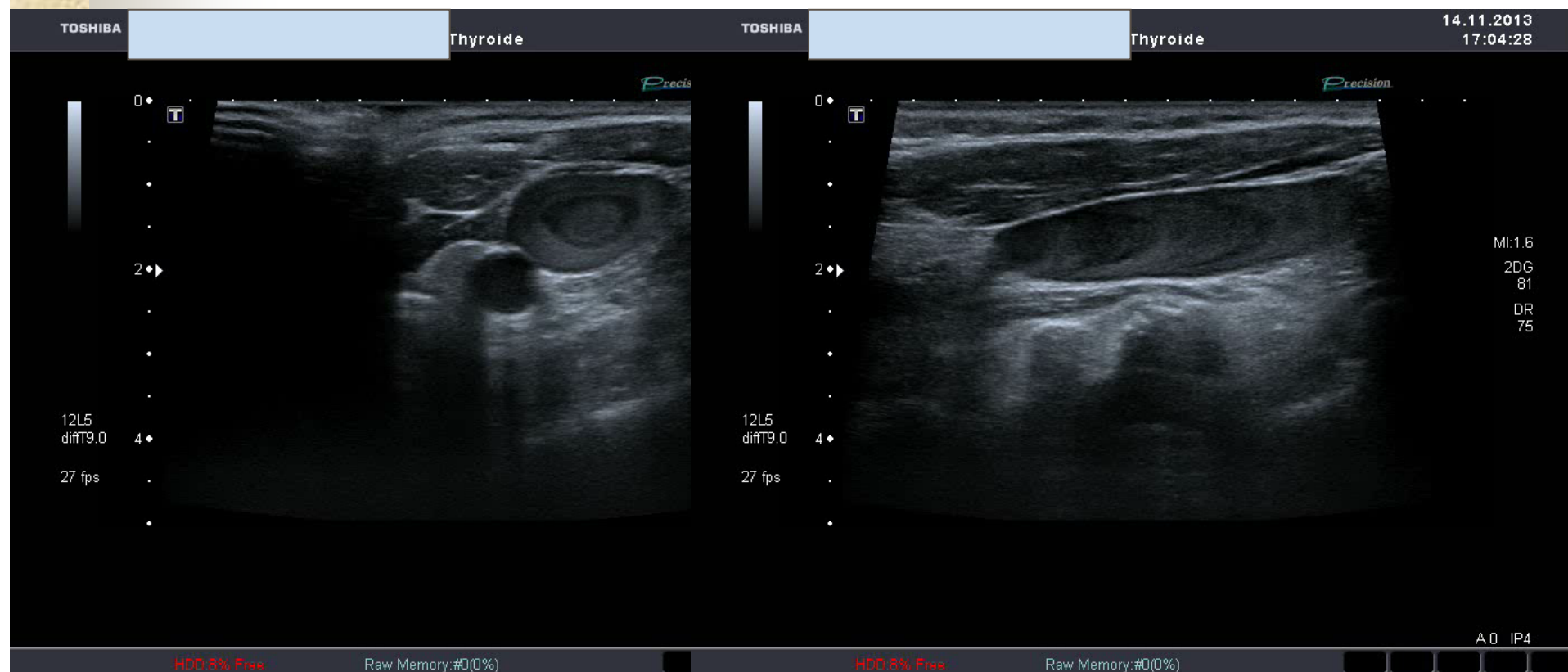
- Phénomène d'«ombre portée» ou « en volute de fumée » = flux hélicoïdal



# L'ombre portée en écho-doppler

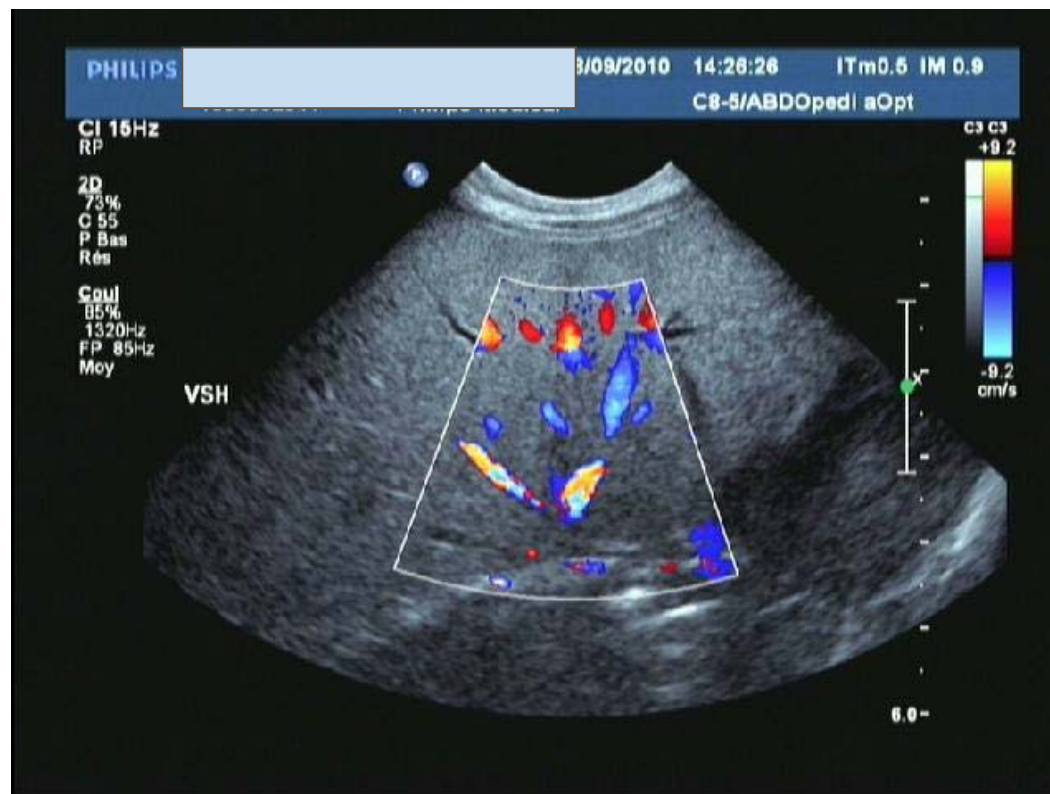


# L'ombre portée en écho-doppler



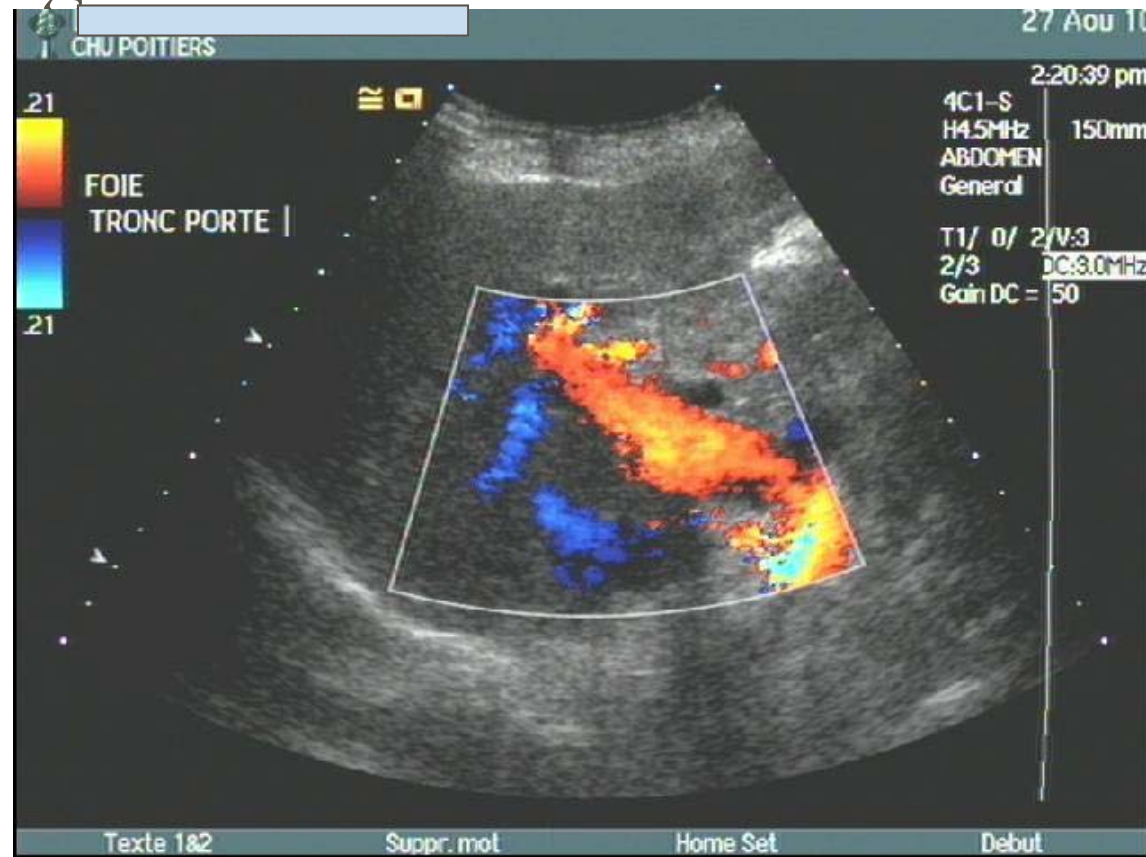
# Angulation doppler

- Remplissage vasculaire nul ou incomplet

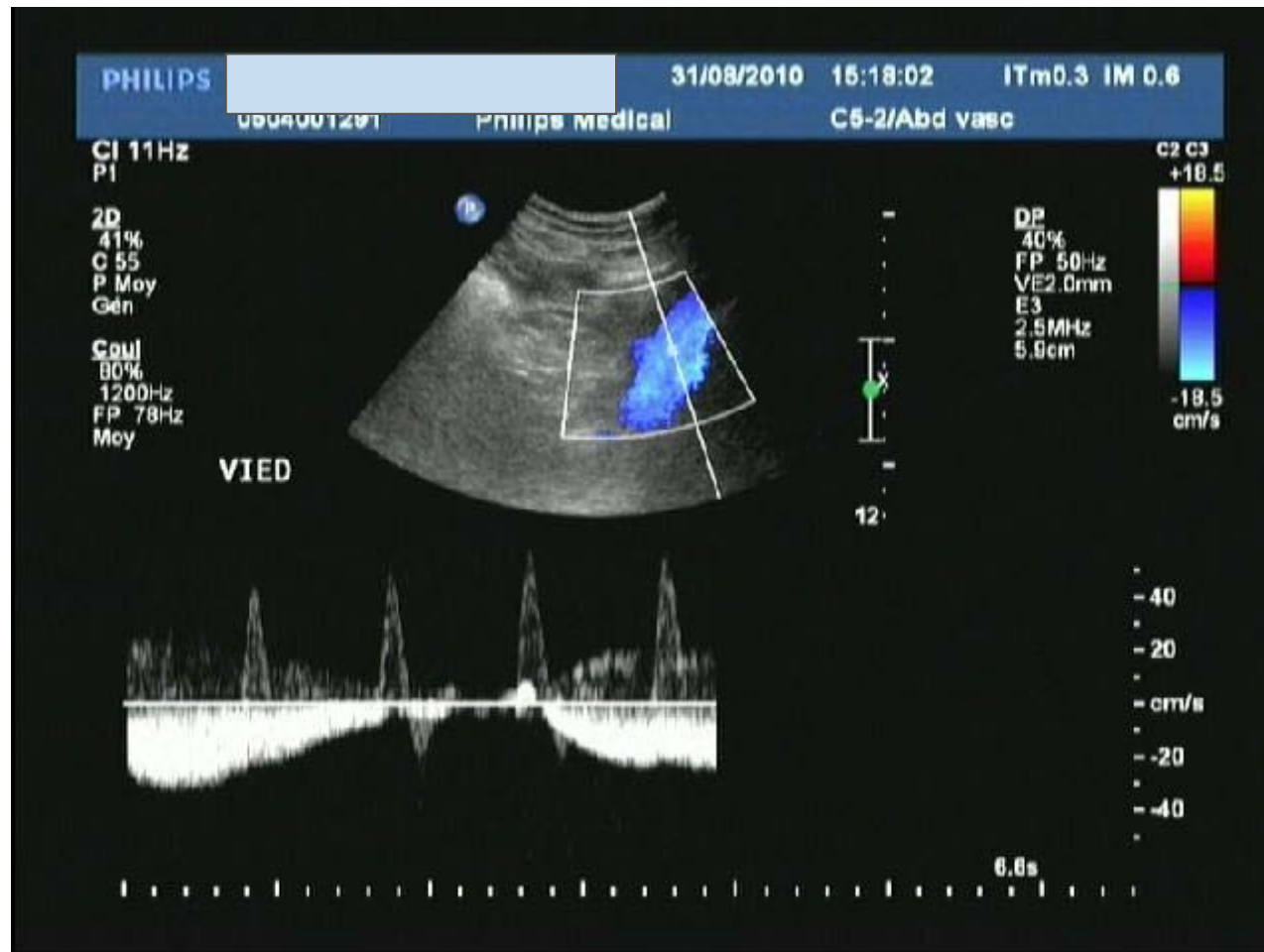


# Sens de circulation doppler

## ■ Angulation vasculaire



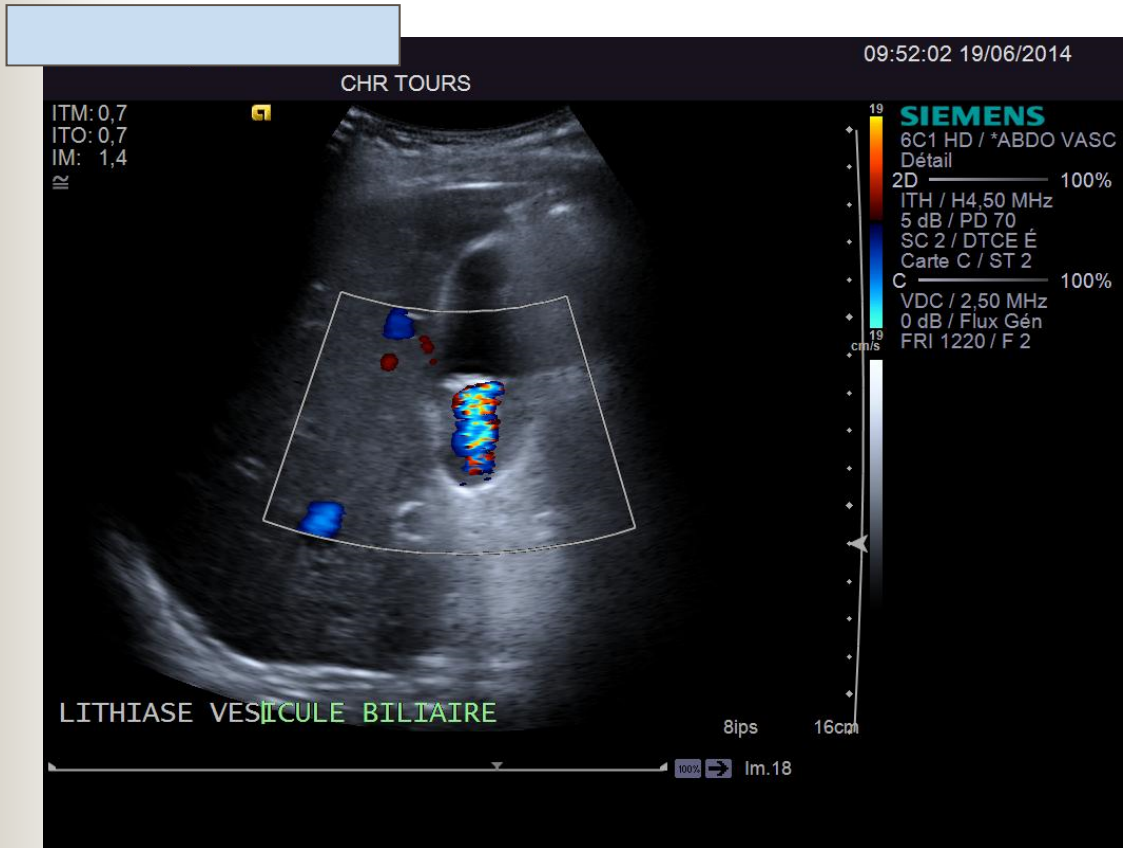
# Fenêtre d'échantillonnage





## Scintillement

- Artéfact utile en diagnostic
- Existe quelque soit la PRF
- Mise en évidence sur structure réfléchissante
- Permet de différentier d'autres structures





CHU TOURS

Femme, Né(e) le : 27/04/1978 Age : 36ans  
ID : 413178

30/06/2014 14:16:02

SC6-1 / Rénal / GREFFON

MI 1.0 Tlc 0.2

B

Rés/Moy/H  
M 1/61 dB/Faible  
T 1540 m/s  
SC/SR 5  
G 36 %  
CI 13 Hz

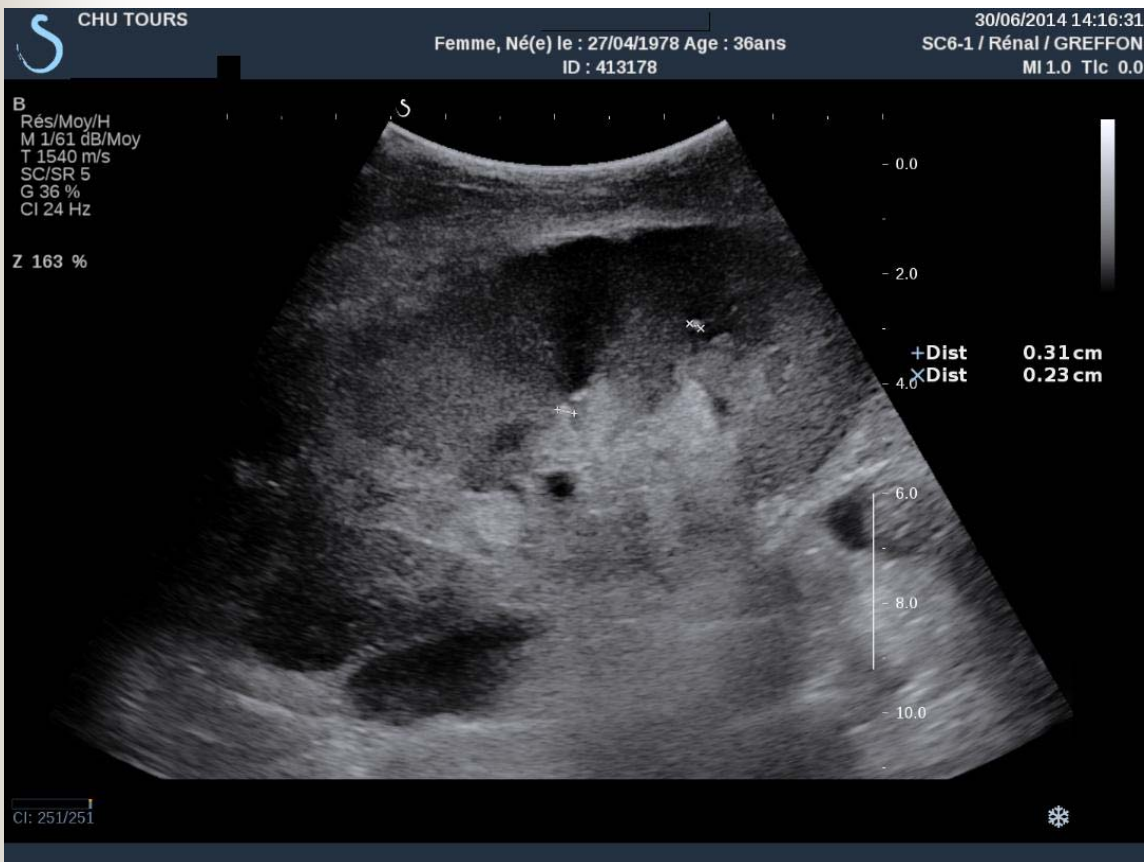
CFI

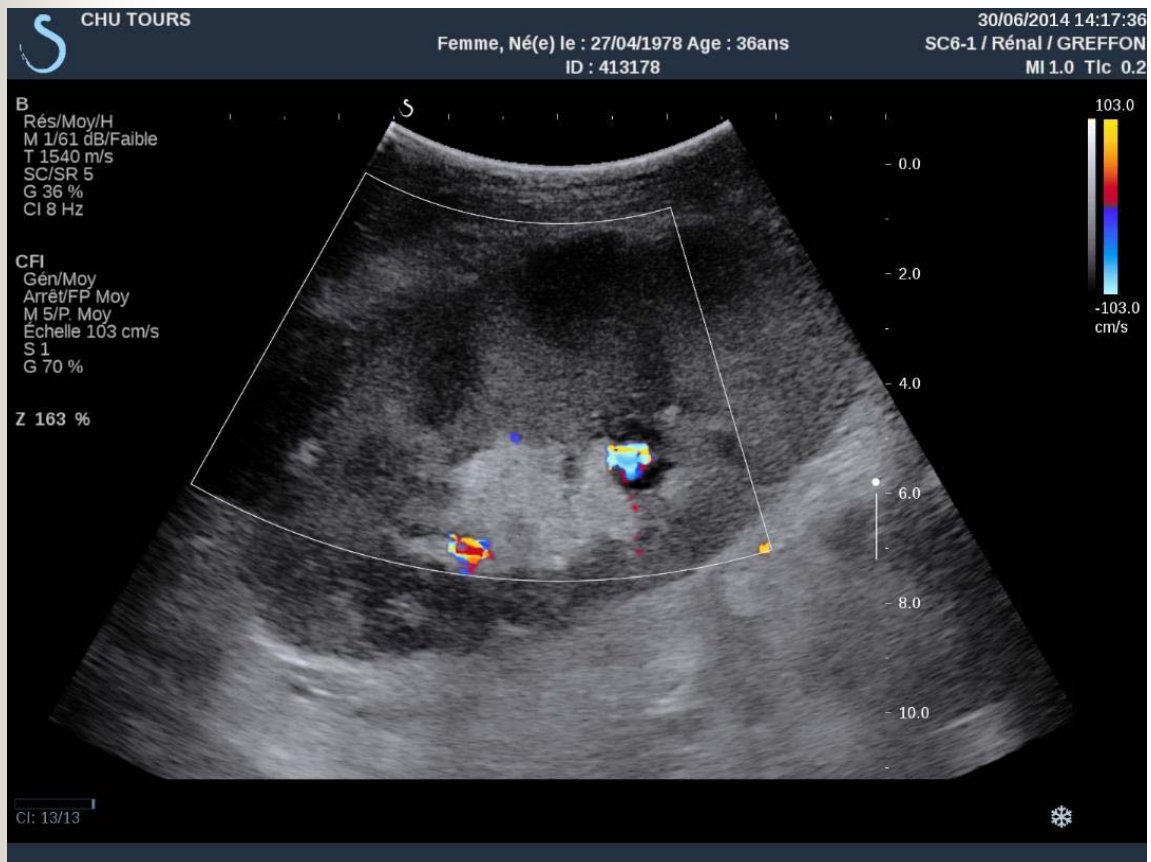
Gén/Moy  
Arrêt/FP Moy  
M 5/P. Moy  
Echelle 103 cm/s  
S 1  
G 80 %

Z 135 %

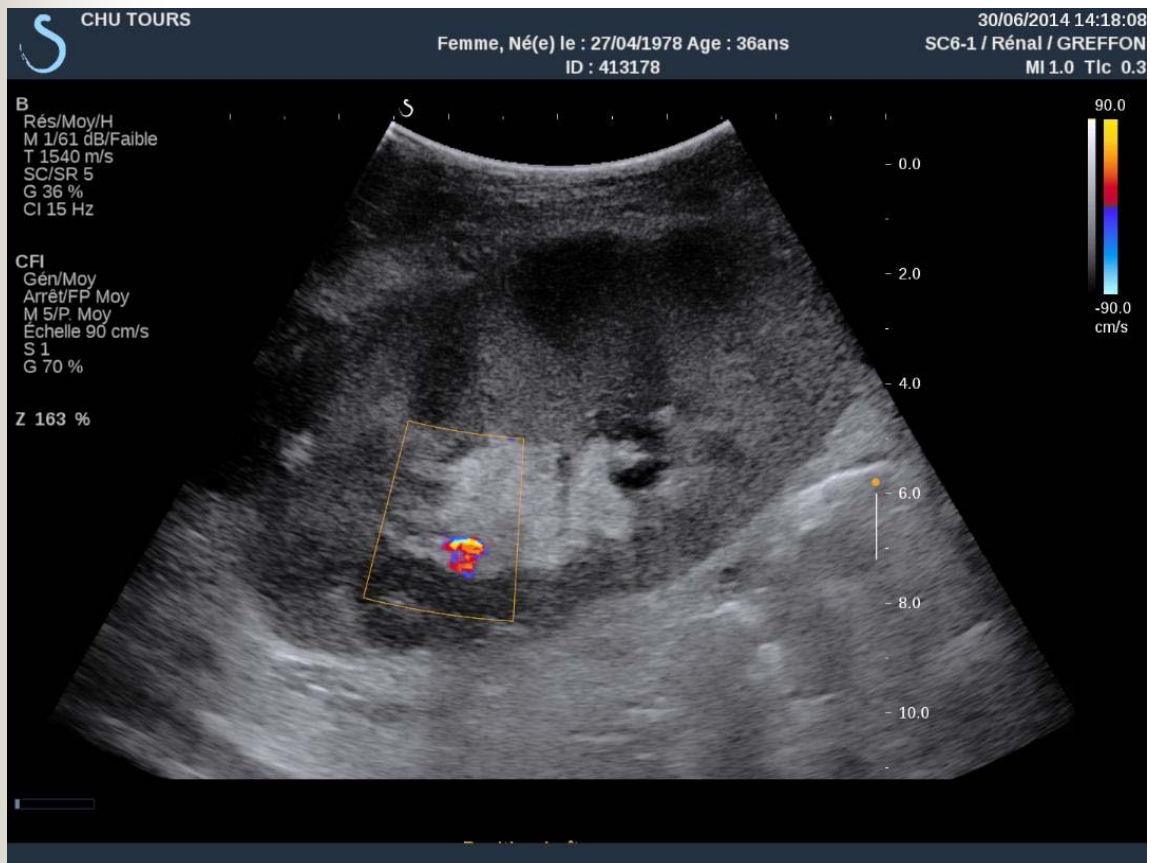
CI: 27/27













CHU TOURS

Femme, Né(e) le : 27/04/1978 Age : 36ans  
ID : 413178

30/06/2014 14:18:15

SC6-1 / Rénal / GREFFON

MI 0.8 TIb 4.2

B

Rés/Moy/H  
M 1/61 dB/Faible  
T 1540 m/s  
SC/SR 5  
G 36 %  
CI 15 Hz

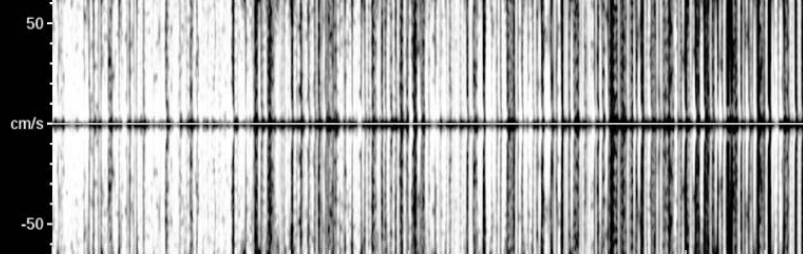
CFI

Gén/Moy  
Arrêt/FP Moy  
M 5/P. Moy  
Echelle 90 cm/s  
S 1  
G 70 %

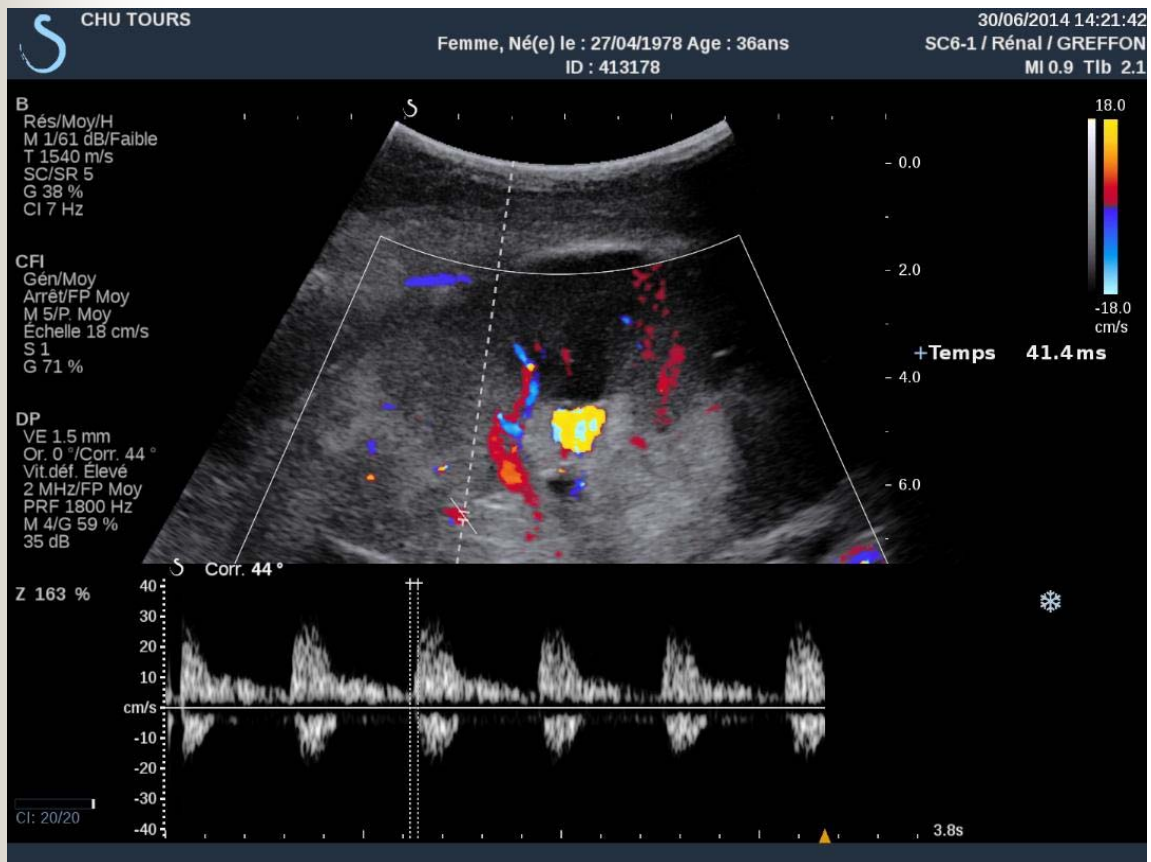
DP

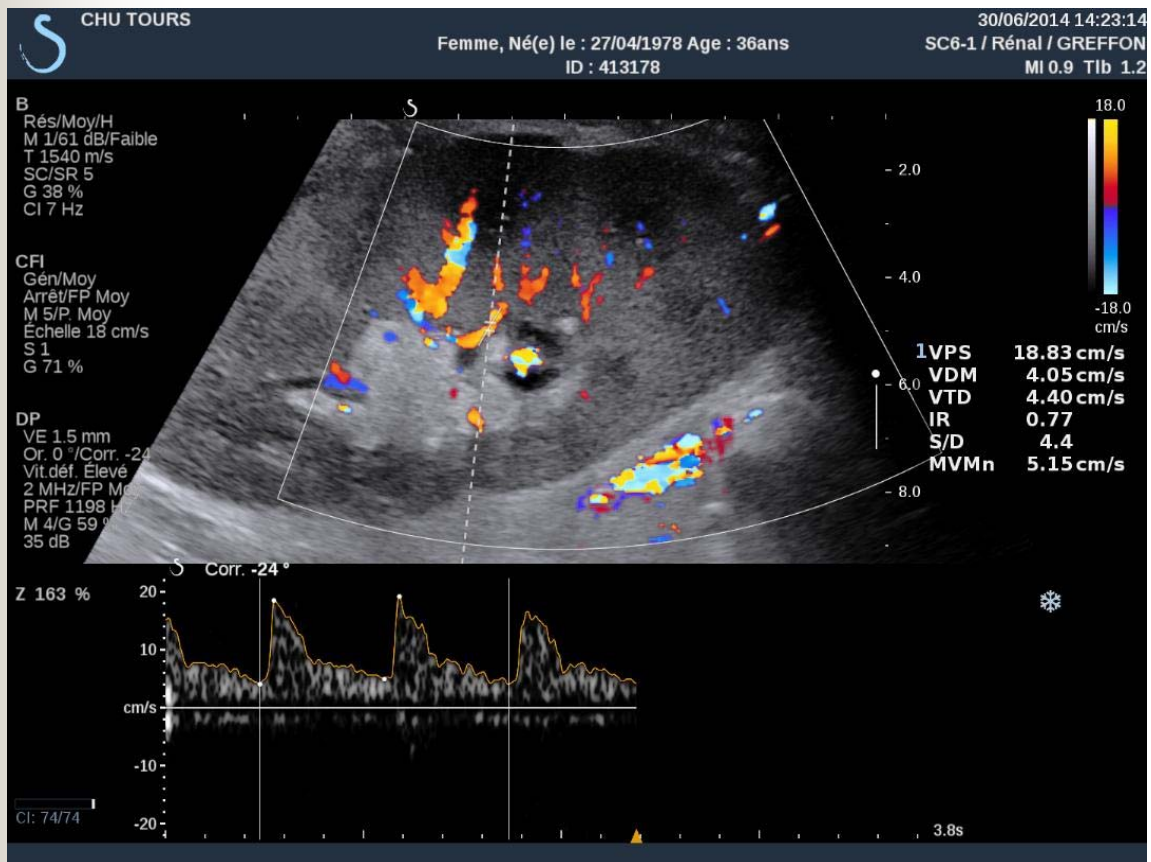
VE 2.0 mm  
Or: 0 °/Corr: 0 °  
Vit.déf. Elevé  
2 MHz/FP Moy  
PRF 3787 Hz  
M 4/G 59 %  
35 dB

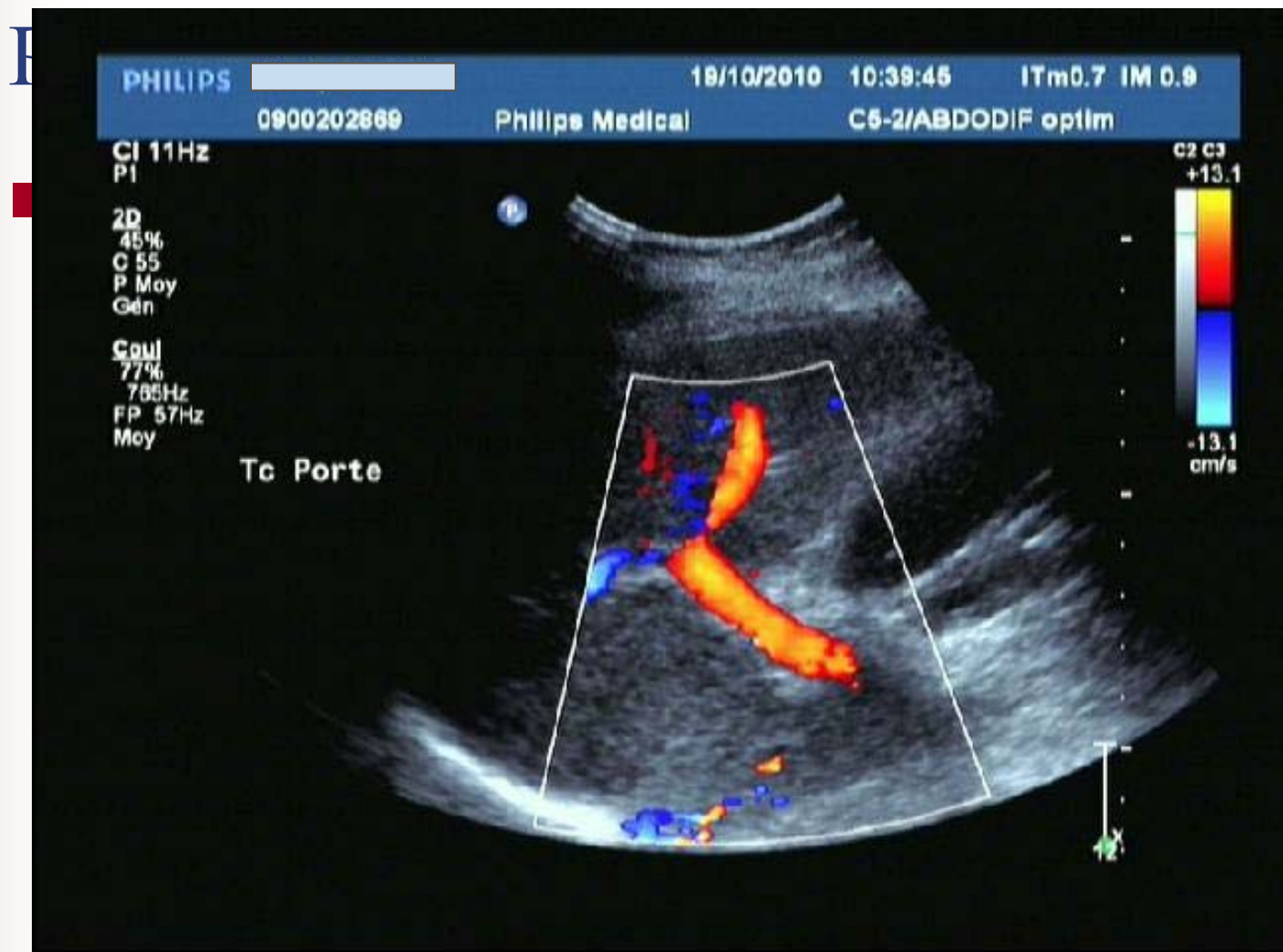
Z 163 %



90.0  
-90.0  
cm/s









Merci de votre attention